

**МЕТОДИЧЕСКИЕ УКАЗАНИЯ
ПО ПРОГНОЗУ И ОЦЕНКЕ АНОМАЛЬНО-
ВЫСОКИХ ПЛАСТОВЫХ ДАВЛЕНИЙ
(АВПД)**

Ленинград

1987

**Министерство геологии СССР
Всесоюзный ордена Трудового Красного Знамени нефтяной
научно-исследовательский геологоразведочный институт
(ВНИГРИ)**

УТВЕРЖДАЮ
Заместитель Министра
геологии СССР
Р.А.Сумбатов

**МЕТОДИЧЕСКИЕ УКАЗАНИЯ
ПО ПРОГНОЗУ И ОЦЕНКЕ АНОМАЛЬНО-
ВЫСОКИХ ПЛАСТОВЫХ ДАВЛЕНИЙ
(АВПД)**

Ленинград

1987

Методические указания по прогнозу и оценке аномально-высоких пластовых давлений (АНД). - Л.: ВНИГРИ, 1987. - 135 с.

Разработаны Всесоюзным нефтяным научно-исследовательским геологоразведочным институтом (ВНИГРИ) для выделения отложений с АНД с учетом специфических условий строительства поисковых и разведочных скважин на нефть и газ.

Методические указания включают методы прогноза и оценки АНД, разработанные и усовершенствованные специалистами научно-исследовательских организаций Министерства геологии СССР, Министерства нефтяной промышленности, Министерства газовой промышленности, Академии наук СССР.

Методические указания предназначены для производственных организаций Министерства геологии СССР, выполняющих поисковое разведочное бурение на нефть и газ.

Проект методических указаний апробирован производственными научными организациями Министерства геологии СССР, замечания предложения которых учтены при окончательной редакции.

Табл. 8, ил. 49, список лит. 65 назв.

Авторы:

В.И.Славин, В.В.Шевердяев, В.Ф.Химич, А.В.Журавлева (ВНИГРИ),
Б.А.Матус (Архангельский отдел ВНИГНИ), К.М.Керимов, С.М.Ибрагимов, А.Н.Пильчин, Л.А.Путкарадзе (ДжНИИГеофизика), А.А.Кметь (Полтавское отделение УкрНИГРИ), И.А.Аббасов (Миннефтепром),
Л.А.Буряковский, Р.Д.Джеваншир, Р.Ю.Алияров (ИГНМ АН Азерб.ССР).

Редакционная коллегия:

В.В.Мухин (председатель), К.М.Керимов (зам.председателя), Ю.Ф.Кленосов, В.С.Кудрявцев, Б.А.Матус (зам.председателя), В.Н.Симонов, В.И.Славин, М.А.Танкибаев, Ю.Н.Чернышев, В.В.Шевердяев.

© Всесоюзный нефтяной научно-исследовательский геологоразведочный институт (ВНИГРИ).
1987

СОДЕРЖАНИЕ

1. Общие положения	6
2. Общие понятия о давлениях	7
2.1. Давление флюида в пласте	7
2.2. Давление в горных породах	8
2.3. Давление промывочной жидкости	9
3. Классификация методов прогноза и оценки АНД	10
4. Методы прогноза пластовых давлений до начала бурения скважин	15
4.1. Прогноз и оценка АНД по данным сейморазведки ...	15
4.1.1. Определение АНД по методике эквивалентных глубин	15
4.1.1.1. Основные особенности использования методики эквивалентных глубин	15
4.1.1.2. Порядок определения АНД, образованных при недодуплотнении горных пород	17
4.1.1.3. Порядок определения АНД, образованных после снижения эффективного напряжения (при разуплотнении горных пород)	27
4.1.2. Определение АНД по корреляционной зависимости между избыточным давлением и приращением интервальной скорости распространения упругой волны	27
4.2. Прогноз АНД по аналогии	29
5. Методы оценки пластовых давлений в процессе бурения скважин (при остановках углубления скважины)	30
5.1. Оценка пластовых давлений по данным геофизических исследований в скважинах с использованием методики эквивалентных глубин	30
5.1.1. Основные особенности определения АНД по данным ГИС	30
5.1.2. Порядок определения АНД, образованных при недодуплотнении горных пород	31
5.1.2.1. Определение АНД по методу относительных электрических сопротивлений	31
5.1.2.2. Определение АНД по методу удельных электрических сопротивлений	36
5.1.2.3. Определение АНД по данным акустического каротажа	40

5.1.2.4. Определение АНД по методу "кривых нормально уплотненных глин"	78
5.1.2.5. Определение АНД по методу компрессионной кривой	86
5.1.2.6. Определение АНД по методу "кашуящихся" эффективных напряжений	87
5.1.2.7. Определение АНД по методу условного эффективного напряжения	100
5.1.3. Порядок определения АНД, образованных после снижения эффективного напряжения (при разуплотнении горных пород)	100
5.1.4. Порядок определения АНД по корреляционной зависимости между давлением пласта-коллектора и пласта-флюидоупора	103
5.2. Порядок определения АНД по корреляционной зависимости между градиентом пластового давления и отклонением геофизического параметра	
5.3. Порядок определения АНД по величине фильтрационного потенциала	106
5.3.1. Определение АНД по исходным данным двух скважин	106
5.4. Порядок определения АНД, образованных при акватермальном эффекте	120
5.4.1. Определение АНД по геотермическим данным ...	120
5.4.2. Определение АНД по корреляционной зависимости между пластовым давлением и температурой ...	123
5.5. Порядок определения АНД по керну	126
5.5.1. Определение АНД по методу эквивалентных глубин	126
5.5.2. Определение АНД по максимальному эффективному напряжению	
5.5.3. Определение АНД по эффективному напряжению ...	
5.6. Порядок определения АНД по давлению гидро-разрыва пласта	
6. Методы оценки пластовых давлений в процессе бурения скважин (без остановки углубления скважины)	
6.1. Оценка пластовых давлений по данным о гидродинамическом взаимодействии пласта с промывочной жидкостью	4
6.1.1. Порядок определения АНД по методу варьирующих депрессий	78
6.1.2. Порядок определения АНД по методу установившегося уровня	86
6.1.3. Порядок определения АНД по данным газометрии скважин	87
6.2. Оценка пластовых давлений по технологическим данным бурения	100
6.2.1. Порядок определения АНД по "нормализованной скорости проходки"	100
6.2.1.1. Определение АНД по методу d -экспоненты	
6.2.1.2. Определение АНД по методу "равновесной" d -экспоненты	103
6.2.1.3. Определение АНД по методу "варьирующей нормализованной скорости проходки"	106
6.2.2. Порядок определения АНД по методу "сигма-каротажа"	114
6.2.3. Особенности определения АНД при турбинном и реактивно-турбинном бурении ...	
6.3. Порядок определения АНД по шламу	123
Приложение	126
Литература	130

I. ОБЩИЕ ПОЛОЖЕНИЯ

I.1. Методические указания разработаны во ВНИГРИ в соответствии с заданием по проблеме II6 Министерства геологии СССР "Изучение закономерностей размещения и условий формирования аномально-высоких пластовых (поровых) давлений для совершенствования технологии глубокого разведочного бурения на нефть и газ".

I.2. Являются обязательными для производственных организаций Министерства геологии СССР, выполняющих поисковое и разведочное бурение на нефть и газ.

I.3. Устанавливают единые подходы и приемы по прогнозу и оценке АНД.

I.4. Включают методы прогноза и оценки АНД, разработанные и усовершенствованные специалистами научно-исследовательских организаций Министерства геологии СССР, Министерства нефтяной промышленности, Министерства газовой промышленности, Академии наук СССР.

I.5. Предназначены для выделения отложений с АНД как до начала, так и в процессе бурения скважин, совершенствования технологии глубокого бурения на нефть и газ, повышения эффективности и качества бурения скважин в условиях АНД.

I.6. Разработаны в соответствии с ГОСТом 2.105-79 и ГОСТом 22609-77.

2. ОБЩИЕ ПОНЯТИЯ О ДАВЛЕНИИХ

2.1. Давление флюида в пласте

2.1.1. Пластовое давление ($p_{\text{пл}}$) - давление жидкости или газа (флюида) в поровом пространстве горной породы, находящейся в условиях естественного залегания.*

2.1.2. Гидростатическое давление - давление в исследуемой точке пласта, создаваемое весом столба пластовых вод (флюидов), насыщающих вышележащие отложения по вертикали, от поверхности до глубины точки исследования.

$$P_{\text{гидр}} = g \bar{\rho}_{\text{п.в.}} h, \quad (2.1)$$

где $P_{\text{гидр}}$ - гидростатическое давление, Па; g - ускорение свободного падения, равное $9,80665 \text{ м/с}^2$; $\bar{\rho}_{\text{п.в.}}$ - средневзвешенная плотность пластовой воды, $\text{кг}/\text{м}^3$; h - высота столба пластовых вод, м.

2.1.3. Условное гидростатическое давление ($P_{\text{у.гидр}}$) - давление в исследуемой точке пласта, создаваемое весом столба пресной воды (плотность $1000 \text{ кг}/\text{м}^3$), насыщающей вышележащие отложения по вертикали от поверхности до глубины точки исследования.

2.1.4. Нормальное гидростатическое давление ($P_{\text{н.гидр}}$) - давление в исследуемой точке пласта, создаваемое весом столба минерализованной воды (плотность $1000 + 1100 \text{ кг}/\text{м}^3$), насыщающей вышележащие отложения по вертикали от поверхности до глубины точки исследования.

2.1.5. Нормальное пластовое давление - давление жидкости или газа (флюида) в поровом пространстве горной породы, численно равное величине нормального гидростатического давления.

2.1.6. Повышенное пластовое (поровое) давление - давление жидкости или газа (флюида) в поровом пространстве горной породы, превышающее условное гидростатическое давление менее чем на 30%, т.е. отвечающее условию

$$1,3 > p_{\text{пл}} / P_{\text{у.гидр}} > 1,0.$$

2.1.7. Аномально-высокое пластовое давление (АНД) - давление жидкости или газа (флюида) в поровом пространстве горной породы, превышающее условное гидростатическое давление бо-

* Пластовое давление жидкости или газа (флюида) в порах непроницаемых пластов ряд исследователей называет поровым давлением.

лее чем на 30%, т.е. отвечающее условию

$$\rho_{\text{пл}} / \rho_{\text{у.гидр}} > 1,3.$$

2.1.8. Коэффициент аномальности (K_a) - отношение пластового давления к условному гидростатическому, определенное для глубины залегания исследуемого пласта (безразмерная величина)

$$K_a = \frac{\rho_{\text{пл}}}{\rho_{\text{у.гидр}}}, \quad (2.2)$$

где K_a - коэффициент аномальности (безразмерный); $\rho_{\text{пл}}$ - пластовое давление, Па; $\rho_{\text{у.гидр}}$ - условное гидростатическое давление, Па.

2.1.9. Градиент пластового давления (Γ) - отношение пластового давления к глубине залегания исследуемого пласта

$$\Gamma = \frac{\rho_{\text{пл}}}{H}, \quad (2.3)$$

где Γ - градиент пластового давления, Па/м; $\rho_{\text{пл}}$ - пластовое давление, Па; H - глубина залегания исследуемого пласта, м.

2.2. Давление в горных породах

2.2.1. Геостатическое давление ($\rho_{\text{геост}}$) - давление, оказываемое на пласт весом вышележащей толщи горных пород

$$\rho_{\text{геост}} = g \sum_{i=1}^n \delta_i h_i, \quad (2.4)$$

где $\rho_{\text{геост}}$ - геостатическое давление, Па; δ_i - плотность горных пород i -го пласта, кг/м³; h_i - мощность i -го пласта, м; i - порядковый номер пласта ($i = 1, 2, 3, \dots, n$); n - количество пластов.

2.2.2. Эффективное напряжение ($\sigma_{\text{эфф}}$) - давление между зернами породы (напряжение скелета породы)

$$\sigma_{\text{эфф}} = \rho_{\text{геост}} - \rho_{\text{пл}}, \quad (2.5)$$

где $\sigma_{\text{эфф}}$ - эффективное напряжение, Па; $\rho_{\text{геост}}$ - геостатическое давление, Па; $\rho_{\text{пл}}$ - пластовое давление, Па.

2.2.3. Давление гидоразрыва (разрыва) - давление, создаваемое жидкостью на пласт, при котором происходит образование трещин, фиксируемое резким увеличением проницаемости пласта. По Б.Итону давление гидоразрыва (разрыва) равно

$$\rho_{\text{тр}} = \rho_{\text{пл}} + \frac{V}{1-V} \sigma_{\text{эфф}}, \quad (2.6)$$

где $\rho_{\text{тр}}$ - давление гидоразрыва, Па; $\rho_{\text{пл}}$ - пластовое давление, Па; V - коэффициент Пуассона (безразмерный); $\sigma_{\text{эфф}}$ - эффективное

напряжение, Па.

2.2.4. Градиент гидоразрыва (разрыва) - отношение давления гидоразрыва к глубине залегания исследуемого пласта

$$\Gamma_{\text{тр}} = \frac{\rho_{\text{тр}}}{H}, \quad (2.7)$$

где $\Gamma_{\text{тр}}$ - градиент гидоразрыва (разрыва), Па/м; $\rho_{\text{тр}}$ - давление гидоразрыва (разрыва), Па; H - глубина залегания исследуемого пласта, м.

2.3. Давление промывочной жидкости

2.3.1. Давление в скважине (ρ_c) - давление, создаваемое промывочной жидкостью на пласты горной породы в процессе бурения скважин:

без циркуляции (статическое состояние)

$$\rho_c = g \delta_{\text{п.ж}} H, \quad (2.8)$$

где ρ_c - давление в скважине на пласты горной породы, Па; $\delta_{\text{п.ж}}$ - плотность промывочной жидкости, кг/м³; H - высота столба промывочной жидкости от устья скважины (верхнего уровня) до исследуемого пласта, м;

при циркуляции (динамическое состояние)

$$\rho_c = g \delta_{\text{п.ж}} H + p_{\text{к.п}}, \quad (2.9)$$

где $p_{\text{к.п}}$ - потери давления в колышевом пространстве, Па.

2.3.2. Забойное давление ($\rho_{\text{заб}}$) - давление, создаваемое промывочной жидкостью на пласты горной породы, расположенные в призабойной зоне скважины:

без циркуляции (статическое состояние)

$$\rho_{\text{заб}} = g \delta_{\text{п.ж}} H_{\text{заб}}, \quad (2.10)$$

где $\rho_{\text{заб}}$ - забойное давление, Па; $\delta_{\text{п.ж}}$ - плотность промывочной жидкости, кг/м³; $H_{\text{заб}}$ - глубина забоя скважины, м;

при циркуляции (динамическое состояние)

$$\rho_{\text{заб}} = g \delta_{\text{п.ж}} H_{\text{заб}} + p_{\text{к.п}}, \quad (2.11)$$

где $p_{\text{к.п}}$ - потери давления в колышевом пространстве, Па.

2.3.3. Дифференциальное давление - разность между давлением в скважине (забойным давлением) и пластовым давлением

$$\Delta p = \rho_c - \rho_{\text{пл}}, \quad (2.12)$$

где ΔP - дифференциальное давление, Па; P_c - давление в скважине, Па; P_{pl} - пластовое давление, Па.

Если дифференциальное давление имеет знак (+), то в системе "скважина - пласт" существует репрессия на пласт.

Если дифференциальное давление имеет знак (-), то в системе "скважина - пласт" существует депрессия на пласт.

3. КЛАССИФИКАЦИЯ МЕТОДОВ ПРОГНОЗА И ОЦЕНКИ АВПД

3.1. По времени поступления исходных данных и получения информации о пластовых давлениях методы прогноза и оценки АВПД, по разделяются на три группы:

- методы прогноза пластовых давлений до начала бурения скважин;
- методы оценки пластовых давлений в процессе бурения скважин;
- методы оценки пластовых давлений после завершения процесса бурения.

3.2. В Методических указаниях представлены методы прогноза и оценки пластовых давлений, относящиеся к первым двум группам. На рис.3.1 эти группы выделены жирными линиями.

Третья группа методов оценки пластовых давлений достаточно широко освещена в нормативных документах (справочниках, инструкциях).

3.3. Физической основой большинства методов прогноза и оценки пластовых давлений является отклонение регистрируемого параметра (P) от нормальной (эталонной) зависимости, обусловленное повышением пористости горных пород в зоне АВПД и уменьшением эффективного напряжения $\sigma_{\text{эфф}}$.

3.4. Методы прогноза пластовых давлений, относящиеся к I группе, базируются на использовании результатов разведочной геофизики и проведении аналогий.

3.4.1. Наиболее отработанной в этой группе является методика прогноза пластовых давлений по данным сейсморазведки (см. п.4.1).

3.4.2. Методика прогноза пластовых давлений по данным сейсморазведки в Методических указаниях представлена двумя подходами (методами).

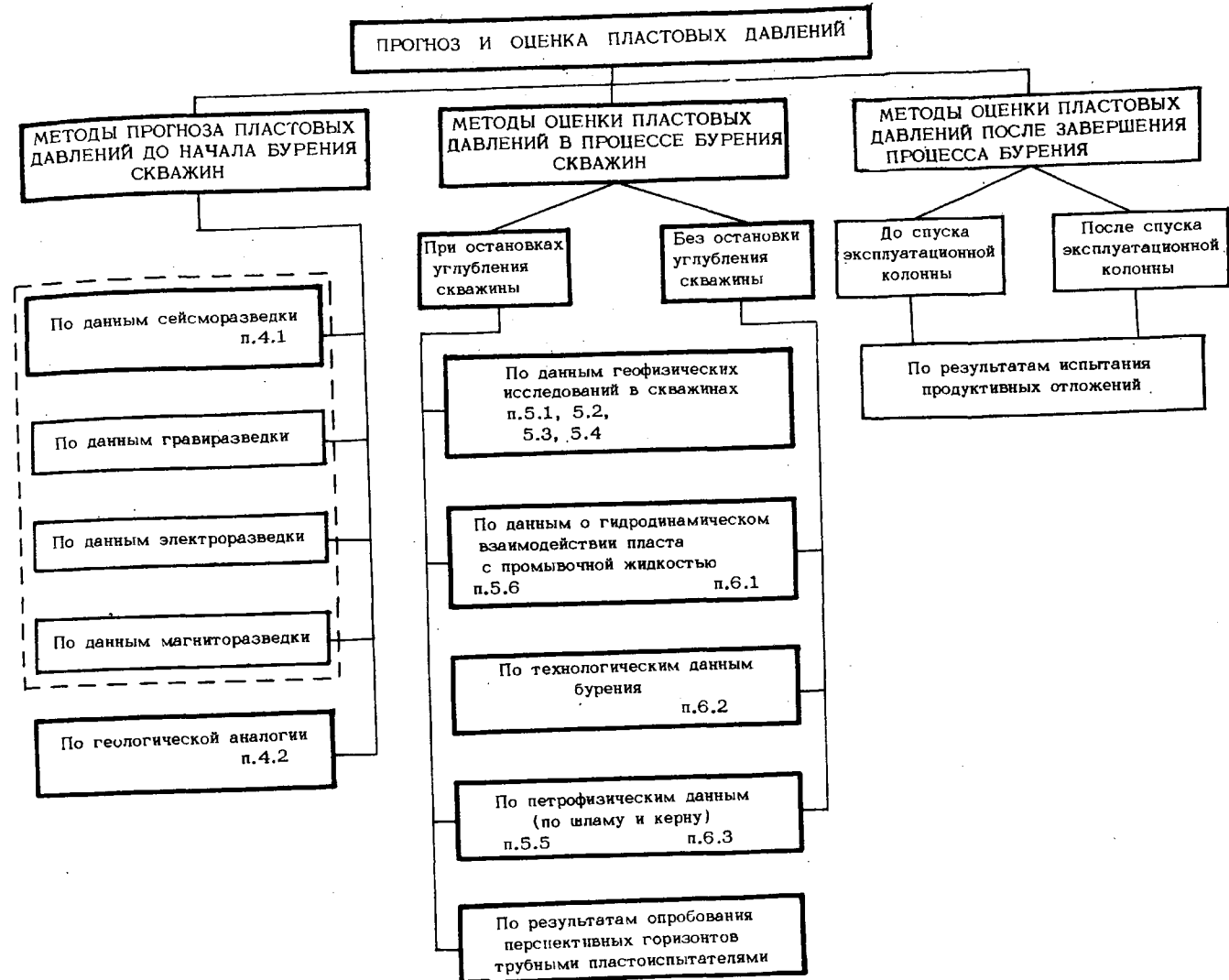


РИС. 3.1. КЛАССИФИКАЦИЯ МЕТОДОВ ПРОГНОЗА И ОЦЕНКИ АВПД.

3.4.2.1. В основу первого метода прогноза пластовых давлений, базирующегося на использовании изменения интервальной скорости распространения упругой волны с глубиной, положена методика эквивалентных глубин, по которой устанавливается равенство эффективного напряжения ($\sigma_{\text{эфф}}$) на разных глубинах разреза, если пористость горной породы на этих глубинах одинаковая (п. 4.1.1).

Методика эквивалентных глубин получила широкое применение при оценке пластовых давлений по геофизическим, петрофизическим данным и по технологическим данным бурения, которые изложены в разделах 5 и 6.

3.4.2.2. Второй метод прогноза пластовых давлений по данным сейсморазведки представляет собой корреляционную зависимость между избыточным давлением и приращением интервальной скорости распространения упругой волны, построенную по результатам исследований, проведенных по изучаемому региону (п. 4.1.2).

3.4.3. При оценке АНД с использованием методики эквивалентных глубин предлагаем два различных порядка определения пластовых давлений, которые учитывают различный "генезис" АНД.

3.4.3.1. Если АНД образовалось в результате недоуплотнения горной породы (сжатие без дренирования), то прогноз пластового давления осуществляется в последовательности, изложенной в п.4.1.1.2. Механизм образования АНД при недоуплотнении горной породы, как правило, встречается на молодых платформах и в геоинклиналях.

3.4.3.2. Если АНД образовалось в результате разуплотнения горной породы (снижение эффективного напряжения горной породы за счет внедрения флюида), то прогноз пластового давления осуществляется в последовательности, изложенной в п.4.1.1.3. Механизм образования АНД при разуплотнении горной породы, как правило, встречается на древних платформах.

3.4.3.3. Если установить "генезис" АНД не представляется возможным, прогноз пластовых давлений необходимо проводить с учетом вышеуказанных приемов и уточнить результат методом экспертной оценки, давая интервал граничных значений.

3.4.4. Другой информативной методикой прогноза пластовых давлений является метод геологической аналогии (п.4.2).

3.4.5. Дополнительной информацией для прогноза пластовых давлений могут служить материалы гравиразведки, электроразведки, магниторазведки, которые из-за слабой информативности не наш-

ли широкого применения и в Методических указаниях опущены.

3.4.6. Методы прогноза пластовых давлений до начала бурения скважин, позволяющие выделить зоны АНД по всему исследуемому разрезу, несут базовую информацию для составления программы на строительство параметрических, опорных, поисковых и разведочных скважин и способствуют решению ключевых вопросов эффективной проводке скважин на нефть и газ до проектной бины:

- выбор рационального варианта конструкции скважин,
- выбор оптимальных режимов бурения и параметров промывочной жидкости.

3.5. Методы оценки пластовых давлений в процессе бурения скважин подразделяются на группу методов, исходные данные для которых поступают при остановках углубления скважины, и группу методов, исходные данные для которых поступают без остановки углубления скважины.

3.5.1. Самая представительная группа методов оценки пластовых давлений в процессе бурения (при остановках углубления скважины) в качестве исходной информации использует геофизические петрофизические параметры, полученные при геофизических исследованиях в скважинах, технологические данные, регистрируемые при гидроразрыве пласта, результаты обработки керна (раздел 5).

3.5.1.1. Наиболее отработанными являются методы оценки пластовых давлений по данным геофизических исследований в скважинах с использованием методики эквивалентных глубин (п.5.1).

3.5.1.2. Основным литологическим типом пород, по которому производится оценка АНД по геофизическим (или петрофизическим) параметрам с использованием методики эквивалентных глубин, являются глинистые породы, поскольку наложенные эпигенетические изменения в них минимальны.

Оценка пластовых давлений по глинистым породам дает возможность прогнозировать АНД "ниже забоя". Внезапное увеличение пластового давления при разбурывании глинистых пород позволяет своевременно изменить плотность промывочной жидкости и обезопасить вскрытие коллектора. Такой элемент прогнозирования пластовых давлений основывается на допущении, что пластовое давление в коллекторе равно пластовому давлению во вмещающих эти коллекторы глинистых толщах (флюидоупорах).

3.5.1.3. Оценка пластовых давлений по данным геофизически

исследований в скважинах проводится с учетом "генезиса" АНД (п.5.1.2 и п.5.1.3).

3.5.1.4. В том случае, если в скважинах исследуемого региона проводились инструментальные (прямые) замеры пластовых давлений, предлагаем три метода определения АНД по корреляционной зависимости между пластовым давлением и давлением в пласте-флюидоупоре (п.5.1.4), геофизическим параметром (п.5.2), температурой (п.5.4.2).

3.5.1.5. Метод оценки пластовых давлений по величине фильтрационного потенциала (п.5.3) включает два варианта, когда исследования проводятся в одной или в двух близрасположенных скважинах.

3.5.1.6. Если АНД образовалось при акватермальном эффекте, предлагаем метод определения АНД по геотермическим данным (п.5.4.1).

3.5.1.7. Важное значение имеют три метода определения АНД по керну (п.5.5), так как керн является практически единственным натуральным материалом, несущим в себе геологическую информацию. Помимо пластового давления деформационная характеристика образцов керна позволяет определять максимальное эффективное напряжение, которое испытывал скелет горной породы в условиях естественного залегания.

3.5.1.8. Метод определения АНД по давлению гидроразрыва пласта (п.5.6) позволяет установить максимальное значение плотности промывочной жидкости, при котором возможно дальнейшее углубление скважины.

3.6. Большой группой в разделе 6 представлены методы оценки пластовых давлений в процессе бурения (без остановки углубления скважины), которые в качестве исходной информации используют данные о гидродинамическом взаимодействии пласта с промывочной жидкостью, технологические данные бурения, результаты обработки керна.

3.6.1. Наиболее отработанными являются методы оценки пластовых давлений по технологическим данным бурения (п.6.2).

3.6.1.1. Методы "нормализованной скорости проходки" (п.6.2.1) и "сигма-каротажа" (п.6.2.2), в основу которых положение в коллекторе равно пластовому давлению во вмещающих эти коллекторы глинистых толщах (флюидоупорах). позволяют оперативно установить повышение пластового давления на самых ранних стадиях вскрытия зоны АНД.

3.6.2. Методы оценки пластовых давлений по данным о гидродинамическом взаимодействии пласта с промывочной жидкостью (п.6.1), отличающиеся непосредственным контактом с пластом флюидом, находящимся под давлением, являются существенным дополнением при определении АНД в сложных геологических условиях.

3.7. Прогноз и оценка пластовых давлений должны проводиться с учетом всех геологических факторов, оказывающих влияние на результаты выделения зон АНД.

3.8. Целесообразно проводить оценку пластовых давлений, пользуясь весь доступный комплекс методов, куда необходимо включить методы, исходная информация для которых поступает в процессе бурения как при остановках, так и без остановок углубления скважины. Например, наиболее рационально методы оценки пластовых давлений по технологическим данным бурения использовать совместно с методами оценки пластовых давлений по данным геофизических исследований в скважинах.

3.8.1. Применение всех доступных методов оценки пластовых давлений позволяет выявить степень достоверности каждого метода и установить для конкретного региона рациональный комплекс методов. Такой комплекс методов устанавливается путем сопоставления полученных результатов между собой, а также при сравнении их с инструментальными (прямыми) замерами пластового давления.

3.9. Методы оценки пластовых давлений в процессе бурения могут базовую информацию для уточнения программы бурения параметрических, опорных, поисковых и разведочных скважин и способствовать оперативному корректированию конструкций скважины, параметра режима бурения и промывочной жидкости, предупреждению и устранению осложнений и аварий.

4. МЕТОДЫ ПРОГНОЗА ПЛАСТОВЫХ ДАВЛЕНИЙ

ДО НАЧАЛА БУРЕНИЯ СКВАЖИН

4.1. Прогноз и оценка АНД по данным сейсморазведки

4.1.1. Определение АНД по методике эквивалентных глубин

4.1.1.1. Основные особенности применения методики эквивалентных глубин

1. Для выявления зон АНД используются данные об интервальной скорости распространения упругой волны, полученные в результате обработки материалов ОГТ, сейсмического, акустического и плотностного каротажа.

2. Для исследуемого разреза подбирается близлежащий изученный разрез с нормальным пластовым давлением (эталонный разрез), литолого-стратиграфическая модель которого соответствует исследуемому разрезу.*

3. Для эталонного разреза определяется нормальная зависимость интервальной скорости распространения упругой волны от глубины для глин (V_g) и для песчаников (V_n), и устанавливается эталонная зависимость интервальной скорости распространения упругой волны от глубины.

4. Определяется мощность размыта (H_p) для исследуемого и эталонного разрезов, и по их разности для исследуемого разреза устанавливается эталонная зависимость интервальной скорости распространения упругой волны от глубины, соответствующая разрезу с нормальным пластовым давлением.**

5. О наличии зон АНД судят по результатам сопоставления практической и эталонной зависимостей интервальной скорости распространения упругой волны от глубины.

6. Зонам повышенных и аномально-высоких пластовых давлений соответствуют интервалы глубин, в которых отмечается понижение практической интервальной скорости распространения упругой волны относительно эталонной.

* В тех случаях, когда подобрать эталонный разрез по данным изученных разрезов различных регионов, с учетом литолого-стратиграфической модели исследуемого разреза не представляется возможным, составляется сводный эталонный разрез.

** Для повышения точности корректировку эталонной зависимости интервальной скорости распространения упругой волны от глубины необходимо проводить с учетом максимальной палеоглубины.

Таблица 4.1

Нормальные зависимости интервальной скорости распространения упругой волны от глубины для глин и песчаников майкопской свиты Предкавказья

Глубина, м	Скорость распространения упругой волны, м/с		Глубина, м	Скорость распространения упругой волны, м/с	
	для глин (V_g)	для песчаников (V_n)		для глин (V_g)	для песчаников (V_n)
0	1730	1750	3000	3145	3645
100	1780	1810	3100	3175	3690
200	1835	1880	3200	3210	3730
300	1890	1945	3300	3240	3775
400	1945	2015	3400	3275	3820
500	2000	2085	3500	3310	3865
600	2055	2150	3600	3335	3905
700	2120	2220	3700	3365	3945
800	2180	2285	3800	3395	3985
900	2235	2355	3900	3420	4025
1000	2285	2420	4000	3445	4065
1100	2340	2490	4100	3470	4100
1200	2390	2555	4200	3490	4130
1300	2445	2625	4300	3515	4170
1400	2500	2685	4400	3535	4200
1500	2550	2755	4500	3565	4235
1600	2590	2825	4600	3585	4270
1700	2635	2890	4700	3610	4300
1800	2680	2955	4800	3630	4330
1900	2725	3025	4900	3655	4360
2000	2770	3090	5000	3675	4390
2100	2810	3150	5100	3700	4420
2200	2850	3210	5200	3715	4450
2300	2895	3270	5300	3735	4480
2400	2935	3330	5400	3755	4510
2500	2970	3390	5500	3780	4540
2600	3005	3440	5600	3800	4570
2700	3040	3495	5700	3820	4590
2800	3075	3545	5800	3840	4615
2900	3105	3595			

4.1.1.2. Порядок определения АИД, образованных при недоуплотнении горных пород

1. Для исследуемого разреза подбирается близлежащий изученный разрез (эталонный разрез), соответствующий литолого-стратиграфической модели исследуемого разреза, для которого по данным геофизических и петрофизических исследований, проводимых в ходе проводки скважин, устанавливается соотношение глин и песчаников.

2. По данным акустического каротажа (АК) для эталонного разреза с нормальным пластовым давлением устанавливается интервальная скорость распространения упругой волны в глинах и песчаниках.

3. Контроль качества материалов акустического каротажа осуществляется путем сопоставления вертикальных годографов АК с аналогичными данными сейсмического каротажа. При наличии систематической погрешности данные АК корректируются по материалам сейсмического каротажа путем умножения значений приращения времени по вертикальным годографам акустического каротажа (ΔT_{AK}) на поправочный коэффициент ($K = \frac{\Delta T_{SK}}{\Delta T_{AK}}$).

4. Если близлежащие изученные разрезы недостаточно полно охарактеризованы материалами АК, то эталонный разрез строится по обобщенным данным соответствующих изученных разрезов регионов, представленных достаточно полной информацией. В качестве примера в таблице 4.1 приведены нормальные зависимости интервальной скорости распространения упругой волны от глубины для глин (V_g) и для песчаников (V_n) майкопской свиты Предкавказья.

5. Этalonный разрез разбивается на интервалы мощностью до 100 м, и для каждого интервала определяется значение эталонной интервальной скорости распространения упругой волны (V_3), которое рассчитывается по формуле

$$V_3 = \frac{V_g V_n}{d_g V_g + d_n V_n}, \quad (4.1)$$

где V_3 - эталонная интервальная скорость распространения упругой волны, м/с; V_g ; V_n - скорости распространения упругой волны в глине и песчаниках, м/с; d_g ; d_n - доли содержания глин и песчаников в единице объема горной породы.

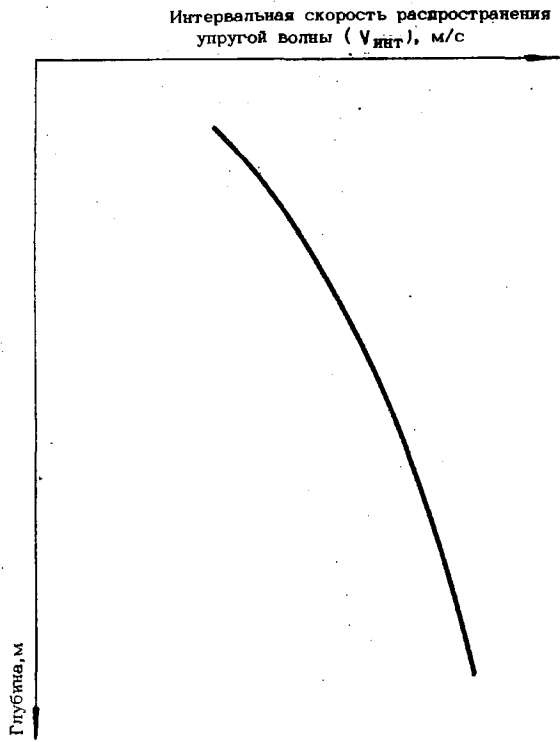


Рис.4.1. График зависимости эталонной интервальной скорости распространения упругой волны от глубины.

18

6. Для всего эталонного разреза по глубинам, относящимся к середине интервалов, строится эталонная зависимость интервальной скорости распространения упругой волны от глубины (рис.4.1): по оси абсцисс, представленной в линейном масштабе, приводятся значения интервальной скорости распространения упругой волны (в 1 см 200 м/с); по оси ординат, представленной в линейном масштабе, приводятся значения глубины выделенных интервалов разреза (в 1 см 100 м).

7. Для эталонного и исследуемого разреза по общегеологическим сведениям устанавливается мощность размыва (H_p).

8. По разности мощностей размыва (Δh) с учетом обратимых (упругих) деформаций, происходящих с горной породой при уменьшении эффективного напряжения, вызванного размывом, корректируется линия эталонной зависимости интервальной скорости распространения упругой волны (рис.4.2, кривая 2).

9. В том случае, когда учесть обратимые (упругие) деформации, происходящие с горной породой, не представляется возможным, линия эталонной зависимости интервальной скорости распространения упругой волны от глубины корректируется только на разность мощностей размыва (рис.4.2, кривая 3).

10. По результатам сейсмического каротажа, проведенного по исследуемому разрезу, на графике эталонной зависимости интервальной скорости распространения упругой волны от глубины строится график зависимости фактической интервальной скорости распространения упругой волны (рис.4.3).

II. Зонам АНД соответствуют интервалы глубин с пониженными относительно эталонных значениями фактической интервальной скорости распространения упругой волны (рис.4.4). В качестве примера на рис.4.5 приведены графики интервальных скоростей распространения упругой волны по разрезу сейсмического профиля, построенные по материалам ОГТ и позволяющие прогнозировать зоны АНД.

12. Количественная оценка АНД для исследуемого разреза проводится в литологически однородных (однокомпонентных) интервалах разреза (преимущественно глинистых) по формуле эквивалентных глубин

$$P_{\text{пл}} = g \left[\bar{\sigma}_{\text{р.п}}^{H_a} H_a - (\bar{\sigma}_{\text{р.п}}^{H_s} H_s - \bar{\sigma}_{\text{р.п}}^{H_a} H_a) \right], \quad (4.2)$$

19

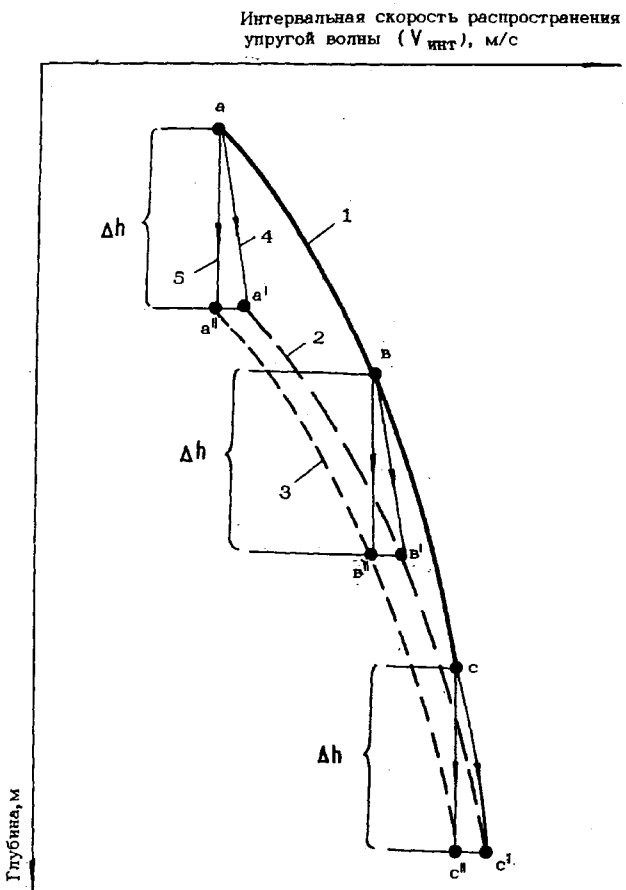


РИС. 4.2. ГРАФИК КОРРЕКТИРОВКИ ЗАВИСИМОСТИ ЭТАЛОННОЙ ИНТЕРВАЛЬНОЙ СКОРОСТИ РАСПРОСТРАНЕНИЯ УПРУГОЙ ВОЛНЫ ОТ ГЛУБИНЫ ПО РАЗНОСТИ МОЩНОСТЕЙ РАЗМЫВА.

1—кривая зависимости эталонной интервальной скорости распространения упругой волны от глубины; 2—кривая зависимости эталонной интервальной скорости распространения упругой волны от глубины, скорректированная по разности мощностей размыва (Δh) с учетом обратимых (упругих) деформаций; 3—кривая зависимости эталонной интервальной скорости распространения упругой волны от глубины, скорректированная по разности мощностей размыва (Δh) без учета обратимых (упругих) деформаций; 4—линия корректировки, учитывающая обратимые (упругие) деформации, присходящие с горной породой при размывах вышележащих пород; 5—линия корректировки, не учитывающая обратимые (упругие) деформации; Δh — интервал глубин, соответствующий разности мощностей размыва.

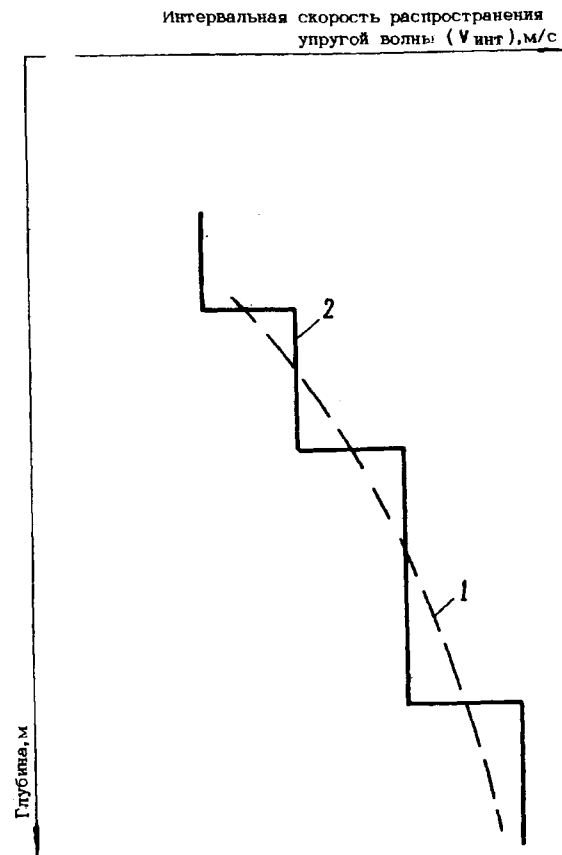


РИС. 4.3. ГРАФИК ЗАВИСИМОСТИ ФАКТИЧЕСКОЙ И ЭТАЛОННОЙ ИНТЕРВАЛЬНЫХ СКОРОСТЕЙ РАСПРОСТРАНЕНИЯ УПРУГОЙ ВОЛНЫ ОТ ГЛУБИНЫ ДЛЯ НОВОЙ РАЗВЕДОЧНОЙ ПЛОЩАДИ (РАЗРЕЗА).

1—зависимость скорректированной эталонной интервальной скорости распространения упругой волны от глубины; 2—скорость распространения упругой волны от глубины, зависящая от фактической интервальной скорости распространения упругой волны от глубины.

Интервальная скорость распространения упругой волны ($V_{\text{инт}}$), м/с

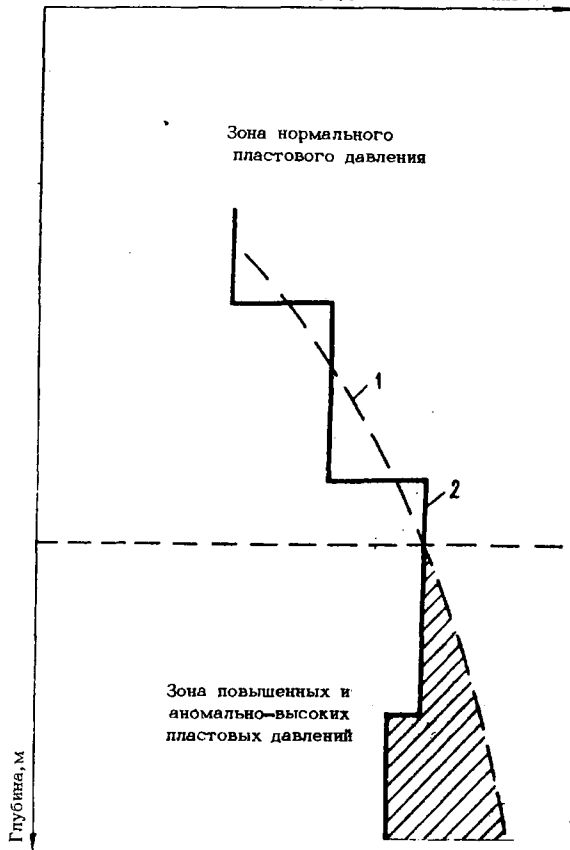


РИС. 4.4. ВЫДЕЛЕНИЕ ЗОН АВПД ПРИ СОПОСТАВЛЕНИИ ЗАВИСИМОСТИ ФАКТИЧЕСКОЙ И ЭТАЛОННОЙ ИНТЕРВАЛЬНОЙ СКОРОСТИ РАСПРОСТРАНЕНИЯ УПРУГОЙ ВОЛНЫ ОТ ГЛУБИНЫ.

1—зависимость скорректированной интервальной скорости распространения упругой волны от глубины; 2—зависимость фактической интервальной скорости распространения упругой волны от глубины.

где $P_{\text{пл}}$ — пластовое (поровое) давление, Па; $\bar{\delta}_{\text{р.н}}^{H_a}$, $\bar{\delta}_{\text{р.н}}^{H_3}$ — средневзвешенная плотность горной породы, кг/м³; соответственно для глубин H_a и H_3 ; $\bar{\delta}_{\text{р.в}}^{H_3}$ — средневзвешенная плотность пластовой воды для глубины H_3 , кг/м³; H_a — фактическая глубина залегания пласта с АВПД, м; H_3 — эквивалентная глубина, м; g — ускорение свободного падения, равное 9,80665 м/с².

13. Для определения средневзвешенной плотности горной породы исследуемого разреза строится график зависимости плотности горной породы от глубины для эталонного разреза (рис.4.6, кривая I) и по разности мощностей размыва ($\Delta h'$ и $\Delta h''$) устанавливается зависимость плотности горной породы от глубины для исследуемого разреза (рис.4.6, кривые 2 и 3). С учетом разбивки исследуемого разреза на равные интервалы или предварительно-го стратиграфического расчленения определяются средние значения плотности горной породы, по которым строится график зависимости средневзвешенной плотности горной породы от глубины (рис. 4.7, кривые 2 и 3).

14. Эквивалентная глубина (H_3) и значения средневзвешенной плотности горной породы, соответствующие глубинам H_a и H_3 , устанавливаются по схеме, приведенной на рис.4.8.

15. Пример расчета пластового (порового) давления.

Исходные данные:

Для исследуемой глубины: $H_a = 3200$ м, $V_{\text{инт}} = 2,6 \times 10^3$ м/с, $\bar{\delta}_{\text{р.н}}^{H_a} = 2340$ кг/м³.

Для эквивалентной глубины: $H_3 = 2070$ м, $\bar{\delta}_{\text{р.н}}^{H_3} = 2290$ кг/м³, $\bar{\delta}_{\text{р.в}}^{H_3} = 1010$ кг/м³.

По формуле (4.2) определяется значение пластового (порового) давления на глубине 3240 м:

$$P_{\text{пл}} = 9,81 \times [2340 \times 3240 - (2290 \times 2070 - 1010 \times 2070)] = \\ = 9,81 [7581600 - (4740300 - 2090700)] = 48,38 \cdot 10^6 \text{ Па}$$

16. Для обнаружения аномалий давления порядка 10-15 МПа погрешности в определении интервальной скорости распространения упругой волны не должны превышать 100 м/с, что соответствует 3-5% для глубин 100-2000 м и менее 2% для глубин 3000-5000 м. При выделении более значительных аномалий давления (30-40 МПа) погрешности в определении интервальной скорости распространения упругой волны могут составить до 7-10%.

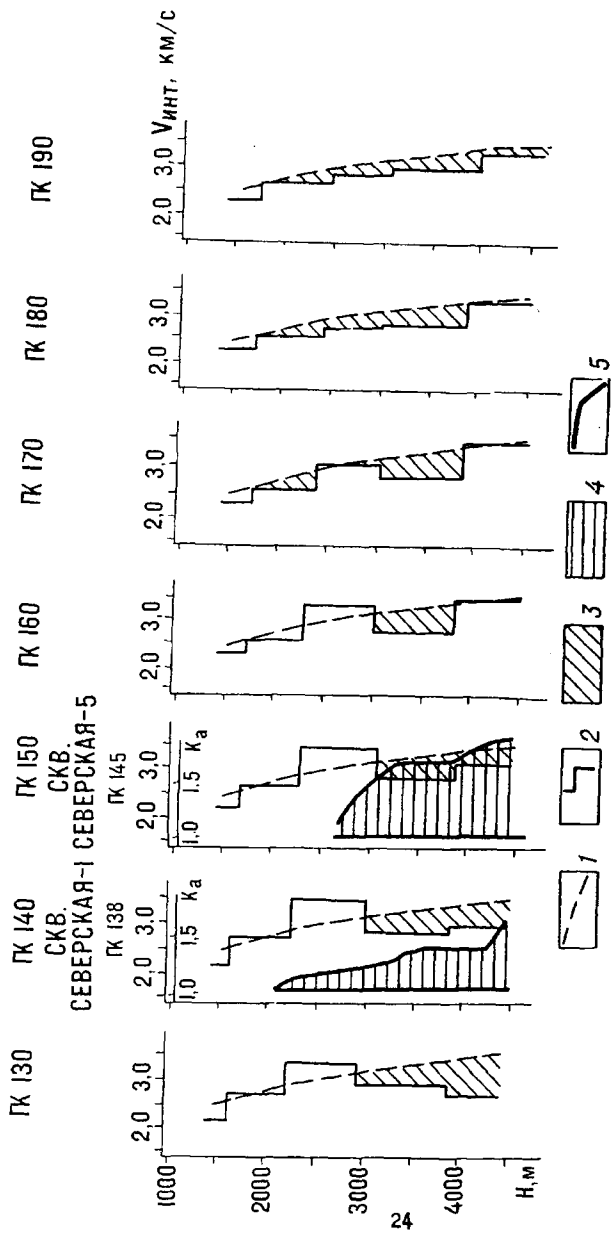


Рис. 4.5. Прогноз зон АВПД по данным ОГТ в разрезе сейсмического профиля.
 1—нормальные зависимости интервальной скорости распространения упругой волны от глубины;
 2—скоростные разрезы по данным ОГТ; 3—зоны прогноза АВПД в разрезе по данным ОГТ; 4—зоны АВПД по данным промысловой геофизики; 5—кривая коэффициента аномальности K_a (по Б. Лабковскому, В. Абрамову, Ф. Шаипову и др., 1982).

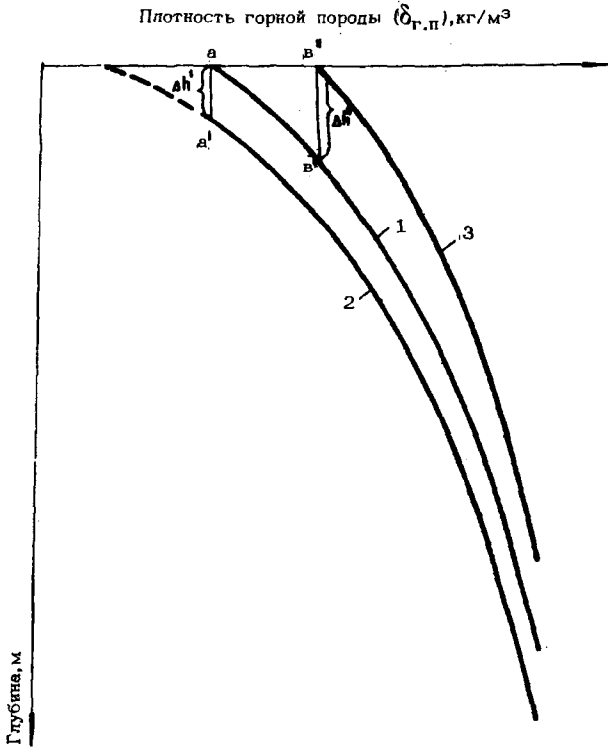


РИС. 4.6. ГРАФИК ЗАВИСИМОСТИ ПЛОТНОСТИ ГОРНОЙ ПОРОДЫ ОТ ГЛУБИНЫ.

1—кривая зависимости плотности горной породы от глубины для эталонного разреза; 2—кривая зависимости плотности горной породы от глубины для исследуемого разреза при $H_p^I < H_{p\text{эт}}^I$; 3—кривая зависимости плотности горной породы от глубины для исследуемого разреза при $H_p^I > H_{p\text{эт}}^I$.

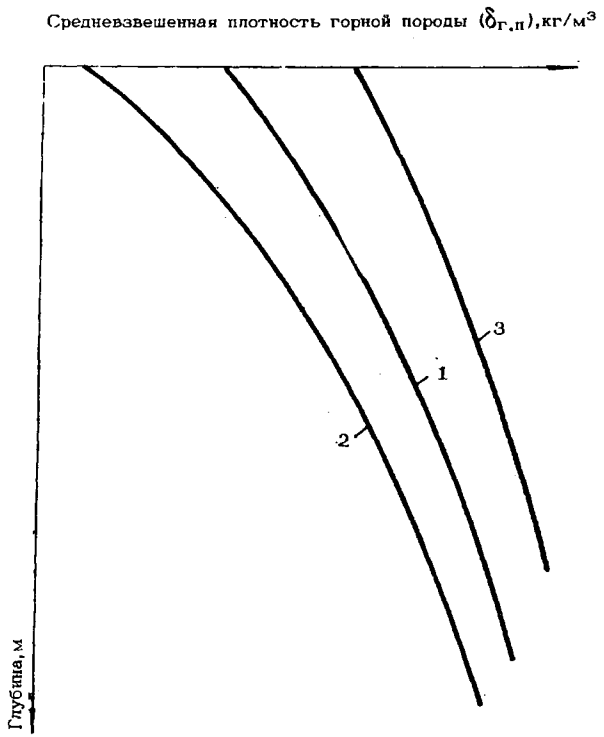


РИС. 4.7. ГРАФИК ЗАВИСИМОСТИ СРЕДНЕВЗВЕШЕННОЙ ПЛОТНОСТИ ГОРНОЙ ПОРОДЫ ОТ ГЛУБИНЫ.

1—зависимость средневзвешенной плотности горной породы от глубины для эталонного разреза; 2— зависимость средневзвешенной плотности горной породы от глубины для исследуемого разреза при $H_p^! < H_{\text{эт}}^!$; 3— зависимость средневзвешенной плотности горной породы от глубины для исследуемого разреза при $H_p^! > H_{\text{эт}}^!$

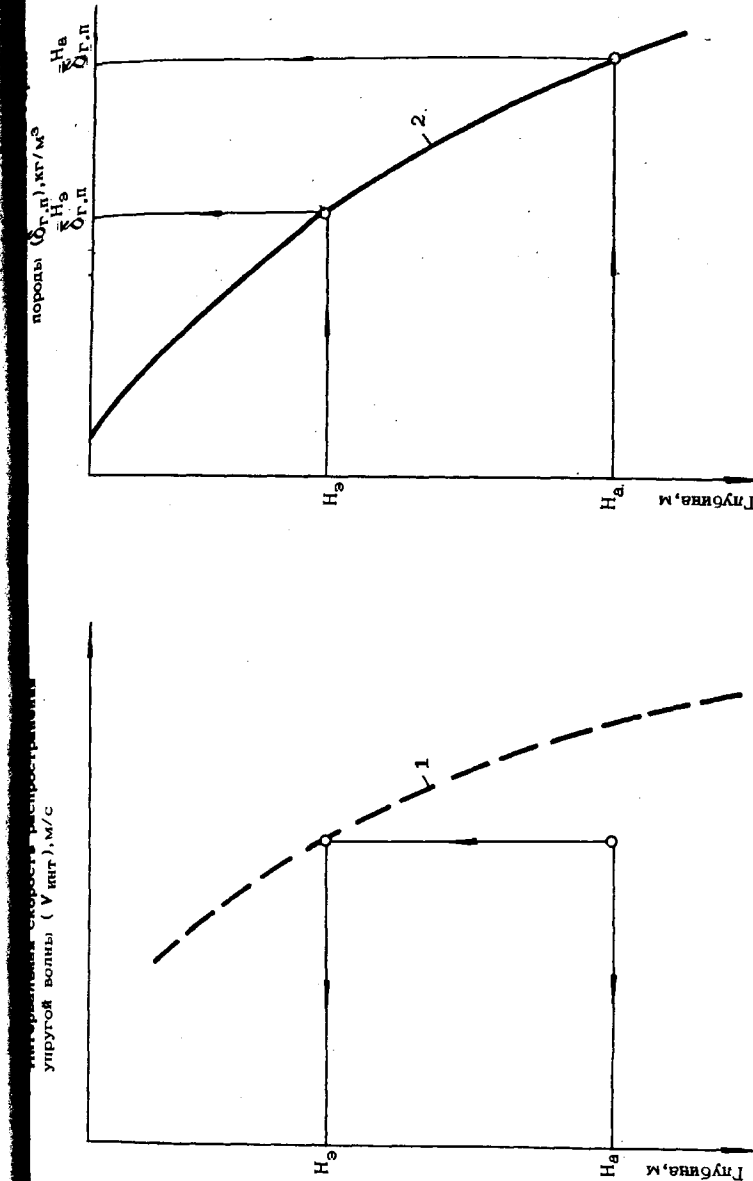


РИС. 4.8. СХЕМА ОПРЕДЕЛЕНИЯ ЭКВИВАЛЕНТНОЙ ГЛУБИНЫ И СООТВЕТСТВУЮЩЕЙ СРЕДНЕВЗВЕШЕННОЙ ПЛОТНОСТИ ГОРНОЙ ПОРОДЫ ПРИ ОЦЕНКЕ АВПД, ОБРАЗОВАННЫХ ПРИ НЕДОУПЛОТНЕНИИ ГОРНЫХ ПОРОД.

1—крайняя скорректированной интервалной скорости распространения упругой волны от глубины; 2—крайняя зависимость средневзвешенной плотности горной породы от глубины; H_a — фактическая глубина пласта, для которого определяется пластовое давление, м; H_0 — эквивалентная глубина, м; $\delta_a : \delta_0$ — значение средневзвешенной плотности горной породы, соответствующим для глубины H_a и H_0 , кг/м³.

4.1.1.3. Порядок определения АВД, образованных после снижения эффективного напряжения (при разуплотнении горных пород)

1. В последовательности, изложенной в п. 4.1.1.2 для исследуемого разреза устанавливается исходная информация и определяется зависимость средневзвешенной плотности горной породы от глубины (рис.4.6 и 4.7).

2. По результатам сейсмических исследований для эталонного разреза строится график зависимости фактической интервальной скорости распространения упругой волны по каждому из выделенных пластов* от глубины залегания этих пластов по латерали - график зависимости обратимых (упругих) деформаций. На рис. 4.9 показан график такой зависимости для пласта, ограниченного отражающими горизонтами Γ_2 и M .

3. Для исследуемого пласта на графике зависимости скорректированной эталонной интервальной скорости распространения упругой волны от глубины строится кривая зависимости обратимых (упругих) деформаций, соответствующая эталонному разрезу, по которой определяется эквивалентная глубина (H_e).

4. Эквивалентная глубина (H_e) и значения средневзвешенной плотности горных пород устанавливаются по схеме, приведенной на рис.4.10. Оценка АВД проводится по формуле (4.2).

5. График зависимости обратимых (упругих) деформаций можно также построить по одному из пластов, лежащему в зоне нормально-го пластового давления исследуемого разреза, который по литологическому составу аналогичен пласту с АВД.

4.1.2. Определение АВД по корреляционной зависимости между избыточным давлением и приращением интервальной скорости распространения упругой волны

4.1.2.1. Для конкретного разреза изученного региона выделяются литологически однородные интервалы с повышенным и аномально-высоким пластовым давлением.

4.1.2.2. Определяется избыточное давление, которое рассчитывается по формуле

$$P_{изб} = P_{пл} - P_{н.гидр}, \quad (4.3)$$

где $P_{изб}$ - избыточное давление, Па; $P_{пл}$ - пластовое давление, Па; $P_{н.гидр}$ - нормальное гидростатическое давление, Па.

За пласт принимается интервал разреза, ограниченный отражающими горизонтами.

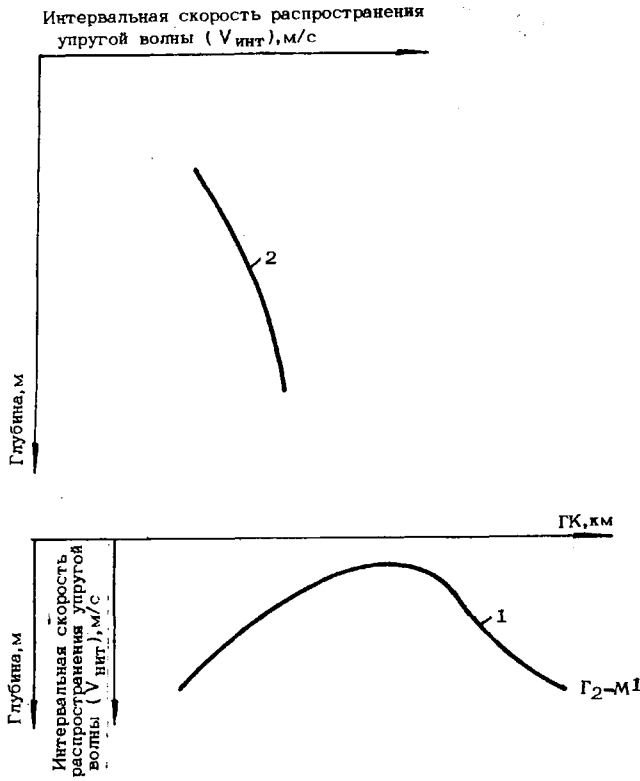


РИС. 4.9. ГРАФИК ЗАВИСИМОСТИ ИНТЕРВАЛЬНОЙ СКОРОСТИ РАСПРОСТРАНЕНИЯ УПРУГОЙ ВОЛНЫ ПО ПЛАСТУ ОТ ГЛУБИНЫ – ЗАВИСИМОСТЬ ОБРАТИМЫХ (УПРУГИХ) ДЕФОРМАЦИЙ.

1—кривая изменения интервальной скорости распространения упругой волны по пласту, ограниченному горизонтами Γ_2 и M^1 ; 2—кривая зависимости интервальной скорости распространения упругой волны по пласту, ограниченному горизонтами Γ_2 и M^1 от глубины – кривая зависимости обратимых (упругих) деформаций.

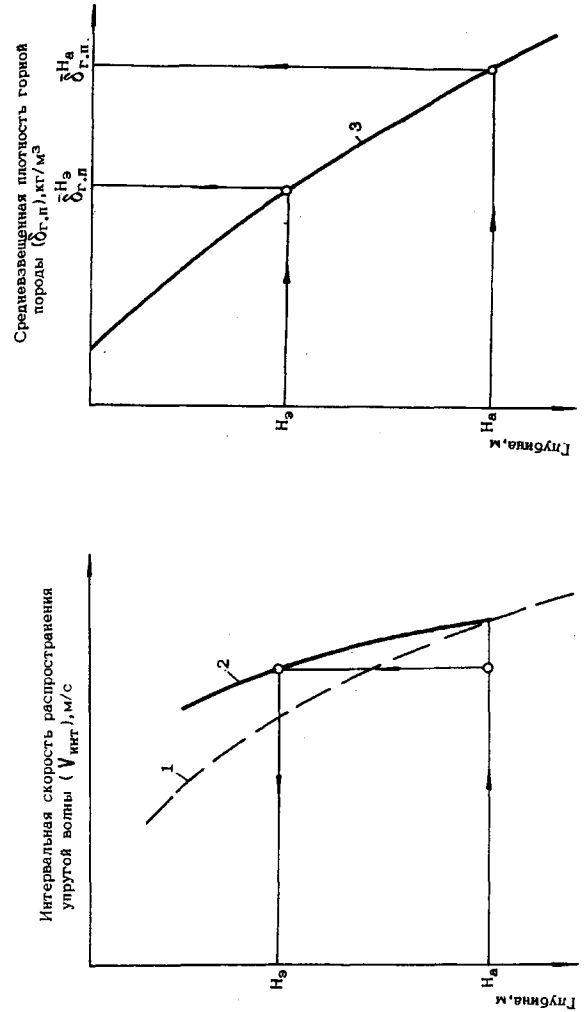


РИС. 4.10. СХЕМА ОПРЕДЕЛЕНИЯ ЭКВИВАЛЕНТНОЙ ГЛУБИНЫ И СООТВЕТСТВУЮЩЕЙ СРЕДНЕВЗВЕШЕННОЙ ПЛОТНОСТИ ГОРНОЙ ПОРОДЫ ПРИ ОЦЕНКЕ АВПД, ОБРАЗОВАННЫХ ПОСЛЕ СНИЖЕНИЯ ЭФФЕКТИВНОГО НАПРЯЖЕНИЯ (ПРИ РАЗУПЛОТНЕНИИ ГОРНЫХ ПОРОД).

1—кривая скорректированной зависимости интервальной скорости распространения упругой волны от глубины; 2—кривая зависимости интервальной скорости распространения упругой волны по пласту от глубины – кривая зависимости обратимых (упругих) деформаций; 3—кривая зависимости средневзвешенной плотности горной породы от глубины; $\delta_{\text{факт}}$ – фактическая гравиметрическая плоскость, для которой определяется пластовое давление, m ; H_a – эквивалентная глубина, м; $\delta_{\text{г.п.}}$ – значение средневзвешенной плотности горной породы, соответствующе глубине H_a и H_b , кг/м³.

4.1.2.3. Для каждого интервала, охарактеризованного избыточным давлением ($P_{изб}$), определяется приращение интервальной скорости распространения упругой волны $\Delta V_{инт.}$

4.1.2.4. Для всего изученного разреза устанавливается зависимость между избыточным давлением и приращением интервальной скорости распространения упругой волны.

4.1.2.5. Для исследуемого разреза или его отдельных частей принимается эталонная зависимость между избыточным давлением и приращением интервальной скорости распространения упругой волны.

4.1.2.6. По результатам сейсмических исследований для интервалов исследуемого разреза определяется приращение интервальной скорости распространения упругой волны, для которых по эталонной зависимости между избыточным давлением и приращением интервальной скорости распространения упругих волн устанавливается значение аномалии давлений ($P_{изб}$) и соответствующая аномалия пластового (порового) давления.

4.2. Прогноз АНЦ по аналогии

Для прогноза распределения зон повышенных и аномально-высоких пластовых давлений по исследуемому разрезу выбирается изученный разрез, который по основным параметрам (текtonическому строению, литологическому составу, наличию пластов-флюидоупоров и т.д.) соответствует исследуемому. Выбранный изученный разрез принимается за эталонный.

По зависимости, характеризующей изменение пластового давления с глубиной, построенной для эталонного разреза, с учетом разности мощностей размыка, прогнозируется распределение пластового давления для исследуемого разреза с отбивкой глубин, соответствующих основным пластам-флюидоупорам.

5. МЕТОДЫ ОЦЕНКИ ПЛАСТОВЫХ ДАВЛЕНИЙ В ПРОЦЕССЕ БУРЕНИЯ СКВАЖИН (С ОСТАНОВКОЙ УГЛУБЛЕНИЯ СКВАЖИНЫ)

5.1. Оценка пластовых давлений по данным геофизических исследований в скважинах с использованием методики эквивалентных глубин

5.1.1. Основные особенности определения АНД по данным ГИС

5.1.1.1. Устанавливается один или несколько геофизических параметров, которые отражают изменение пористости глинистых пород с глубиной по разрезу, вскрываемому скважиной. К таким геофизическим параметрам относятся: удельное (или кажущееся) электрическое сопротивление $\rho_{d, gl}$ (или $\rho_{k, gl}$), относительное электрическое сопротивление P_{gl} , электропроводность $\sigma_{e, gl}$, интервальное время распространения упругой волны Δt_{gl} , рассеянное (или вторичное) гамма-излучение $J_{\gamma gl}$ (или $J_{\gamma \gamma gl}$) и другие.

5.1.1.2. Для выбора геофизического параметра используются следующие виды геофизических исследований в скважинах (ГИС): электрический каротаж - кривые стандартного каротажа, кривые проводимости (индукционный каротаж), кривая относительного электрического сопротивления глин, кривая спонтанной поляризации (ПС); акустический каротаж; плотностный гамма-гамма-каротаж; нейтронный гамма-каротаж и др.

5.1.1.3. По всему разрезу, вскрытыму скважиной, по материалам ГИС выделяются глинистые пласти, для которых определяются значения выбранного геофизического параметра (Π).

5.1.1.4. Для приведения выбранного геофизического параметра к одинаковым сопоставимым условиям вводятся поправки, учитывающие влияние изменения диаметра скважин, минерализации пластовых вод, минералогического состава глинистых пород, температуры и т.д.

5.1.1.5. В полулогарифмическом масштабе строится график зависимости геофизического параметра от глубины $\lg \Pi = f(H)$ по оси абсцисс, представленной в логарифмическом масштабе, проводятся значения геофизического параметра (Π) выделенных глинистых пластов; по оси ординат, представленной в линейном масштабе, приводятся значения глубин глинистых пластов (H) или эффективного ("кажущегося" эффективного) напряжения горной породы

слагающей разрез ($\sigma_{\text{эфф}} : \sigma_{\text{эфф}, k}$).

5.1.1.6. По всему разрезу определяется линия нормального изменения геофизического параметра.

5.1.1.7. Зонам повышенных и аномально-высоких пластовых давлений соответствуют интервалы глубин, в которых отмечается отклонение фактических значений геофизического параметра от линии нормального изменения.

5.1.1.8. Количественная оценка АНД вытекает из условия

$$\sigma_{\text{эфф}}^{H_a} = \sigma_{\text{эфф}}^{H_b} \text{ или } p_{\text{геост}}^{H_a} - p_{\text{пл}}^{H_a} = p_{\text{геост}}^{H_b} - p_{\text{пл}}^{H_b},$$

где $\sigma_{\text{эфф}}^{H_a}, \sigma_{\text{эфф}}^{H_b}$ - эффективное напряжение, соответственно на глубинах H_a и H_b , Па; $p_{\text{геост}}^{H_a}, p_{\text{геост}}^{H_b}$ - геостатическое напряжение, соответственно на глубинах H_a и H_b , Па; $p_{\text{пл}}^{H_a}, p_{\text{пл}}^{H_b}$ - пластовое давление соответственно на глубинах H_a и H_b , Па, и проводится по формуле (4.2).

5.1.2. Порядок определения АНД, образованных при недоуплотнении горных пород

5.1.2.1. Определение АНД по методу относительных электрических сопротивлений

1. По всему разрезу, вскрытому скважиной, по данным стандартного каротажа (КС, ПС), кавернометрии, гамма-каротажа выделяются глинистые пласти мощностью не менее 3-5 м, оптимальной мощностью является мощность 10-15 м (рис.5.1).

2. При выделении глинистых пластов необходимо:

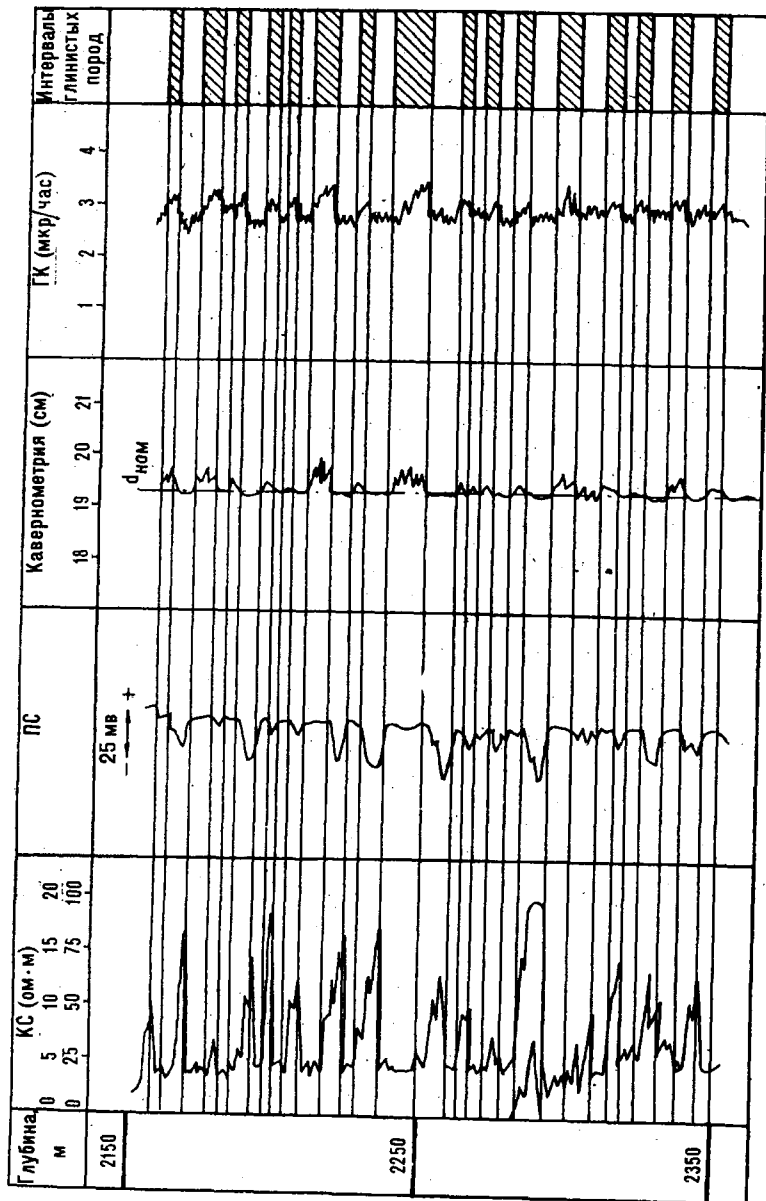
- особо отметить глинистые пласти, находящиеся в непосредственной близости от коллектора, как несущие информацию о пластовых давлениях;

- с учетом известковистости и опесчаненности выбрать относительно чистые глинистые пласти;

- обратить внимание на глинистые пласти, залегающие выше глубин 700-1000 м (критическая глубина уплотнения), поскольку эти глинистые пласти несут в себе опресненную поровую воду и значения их кажущегося электрического сопротивления завышены;

- учитывать наличие газа в глинистых породах, так как этот фактор резко влияет на значения кажущегося электрического сопротивления;

- принять во внимание наличие в промывочной жидкости бентонитовых глин, которые занижают значения кажущегося электрического сопротивления;



32

- учитывать влияние соленосных отложений, которые занижают значения кажущегося электрического сопротивления близрасположенных глинистых пластов;

- учитывать влияние изменения диаметра скважины при смене диаметра долот (на значения кажущегося электрического сопротивления).

3. Для всех выделенных глинистых пластов определяются значения кажущегося электрического сопротивления, которые приводятся к одинаковым сопоставимым условиям. Для этого вводятся поправки на изменение диаметра скважины, удельное электрическое сопротивление промывочной жидкости, минерализацию пластовых вод температуру.

4. Для введения поправок, учитывающих влияние изменения диаметра скважины и удельного электрического сопротивления промывочной жидкости, пользуются известными методиками и палетками. В результате этих поправок для выделенных глинистых пластов устанавливается удельное электрическое сопротивление ($\rho_{п.гл}$).

5. Приведение удельного электрического сопротивления глинистых пластов к одной температуре (20°C) осуществляется по палетке $\rho_{п.гл}^t = f(\rho_{п.гл}^{20})$, представленной на рис. 5.2. Естественная температура, соответствующая выделенным глинистым пластам, на глубине залегания устанавливается по данным термометрии.

6. Для введения поправки на минерализацию пластовых вод по разрезу устанавливается изменение минерализации пластовых вод с глубиной. С учетом приведения к температуре 20°C по палетке, представленной на рис. 5.3, определяется удельное электрическое сопротивление пластовых (поровых) вод ($\rho_{п.в}^{20}$).

7. Определяется относительное электрическое сопротивление глинистых пластов, которое рассчитывается по формуле

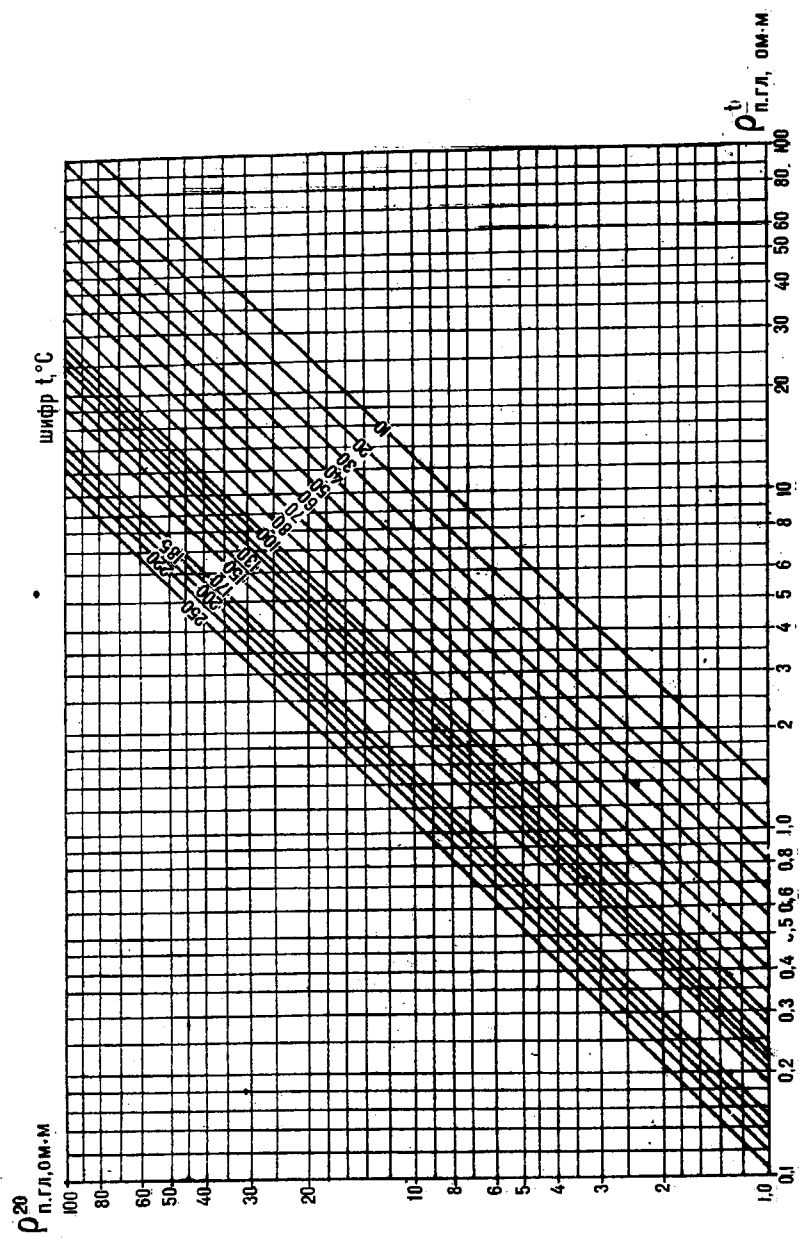
$$R_{\text{гл}} = \frac{\rho_{\text{п.гл}}^{20}}{\rho_{\text{п.в}}^{20}}, \quad (5.1)$$

где $R_{\text{гл}}$ - относительное электрическое сопротивление глинистых пластов; $\rho_{\text{п.гл}}^{20}$ - удельное электрическое сопротивление глинистых пластов, омм; $\rho_{\text{п.в}}^{20}$ - удельное электрическое сопротивление пластовых (поровых) вод, омм.

8. В полулогарифмическом масштабе строится график зависимости относительного электрического сопротивления от глубины

$$\lg R_{\text{гл}} = f(H) : \text{по оси абсцисс, представленной в логарифм-}$$

33



34

Рис.5.2. Палетка для приведения удельного электрического сопротивления глинистых

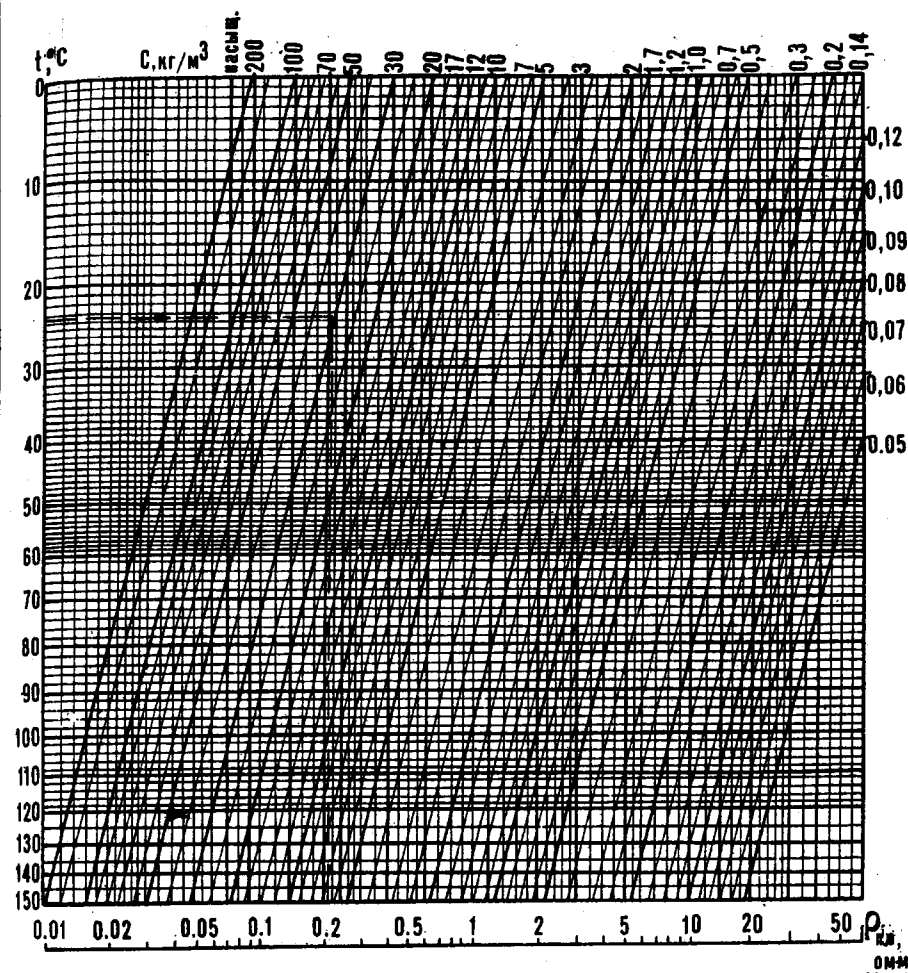


Рис.5.3. Палетка для определения удельного электрического сопротивления минерализованных пластовых (поровых) вод при различных температурах.

35

ческом масштабе, приводятся значения относительного электрического сопротивления глинистых пластов ($R_{\text{гл}}$), рассчитанные по формуле 5.1; по оси ординат, представленной в линейном масштабе, приводятся значения глубины глинистых пластов (рис.5.4).

9. Определяется линия нормального изменения относительного электрического сопротивления с глубиной, соответствующая разрезу с нормальным пластовым давлением, которая экстраполируется на исследуемую глубину.

10. Зонам повышенных и аномально-высоких пластовых давлений соответствуют отклонения значений относительного электрического сопротивления от линии нормального изменения в меньшую сторону (рис.5.4).

II. Для количественной оценки АНД на исследуемой глубине H_a через точку, соответствующую фактическому значению относительного сопротивления, проводится вертикальная линия до пересечения ее с линией нормального изменения относительного электрического сопротивления глинистых пластов. По точке пересечения этих линий устанавливается значение эквивалентной глубины (H_e).

12. Значение пластового (порового) давления на глубине определяется по формуле эквивалентных глубин (4.2).

13. Пример расчета пластового (порового) давления

Исходные данные:

Для исследуемой глубины: $H_a = 3240 \text{ м}$; $\sigma_{\text{гл}}^{H_a} = 2340 \text{ кг/м}^2$

Для эквивалентной глубины: $H_e = 2070 \text{ м}$; $\sigma_{\text{гл}}^{H_e} = 2290 \text{ кг/м}^2$

$\sigma_{\text{нв}}^{H_e} = 1010 \text{ кг/м}^3$.

По формуле (4.2) определяется значение пластового (порового) давления на глубине 3240 м:

$$P_{\text{пл}} = 9,81 [2340 \times 3240 - (2290 \times 2070 - 1010 \times 2070)] = \\ = 9,81 [7581600 - (4740300 - 2090700)] = 9,81 \times 4932000 = 48,38 \times 10^6 \text{ Па}$$

5.1.2.2. Определение АНД по методу удельных электрических сопротивлений

1. По всему вскрытыму разрезу, по данным геофизических исследований в скважине (ГИС) выделяются интервалы глинистых пород без заметных примесей песчано-алеврито-карбонатного материала (рис.5.1). При выборе глинистых интервалов необходимо отобрать пласти мощностью не менее 3-5 м (оптимальной мощностью является 10-15 м), с учетом особенностей, изложенных в п.5.1.2.1.

2. Для всех выделенных глинистых пластов определяются значения кажущегося электрического сопротивления ($\rho_{\text{к.гл}}$).

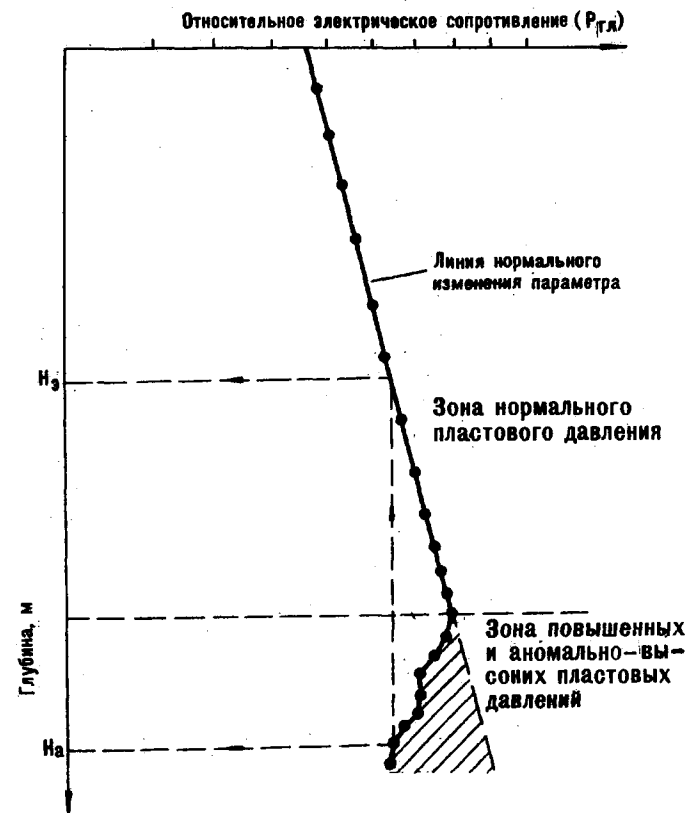


Рис. 5.4. Схема определения АВПД, созданного при недоуплотнении горных пород, по относительному электрическому сопротивлению.

3. Путем введения поправок, учитывавших влияние изменения диаметра скважин и удельного электрического сопротивления промывочной жидкости (по известным методикам и палеткам) для выделенных глинистых пластов устанавливаются значения удельного электрического сопротивления ($\rho_{п.гл}$).

4. Полученные значения удельных электрических сопротивлений, на которые оказывают влияние изменение с глубиной температуры, давления, минерализации поровых вод, минералогического состава глинистых пород, содержание песчано-алеврито-карбонатного материала и другие факторы, приводятся к одинаковым сопоставимым условиям.*

5. В полулогарифмическом масштабе строится график зависимости удельного электрического сопротивления от глубины $\lg \rho_{п.гл} = f(H)$: по оси абсцисс, представленной в логарифмическом масштабе, приводятся значения удельного электрического сопротивления глинистых пластов; по оси ординат, представленной в линейном масштабе, приводятся значения глубины глинистых пластов.

6. Определяется линия нормального изменения удельного электрического сопротивления с глубиной, соответствующая разрезу нормальным пластовым давлением, которая экстраполируется до исследуемой глубины (рис. 5.5).

7. Зонам повышенных и аномально-высоких пластовых давлений соответствуют отклонения значений удельных электрических сопротивлений от линии нормального изменения в меньшую сторону.

8. Для количественной оценки АВПД на исследуемой глубине H_a через точку, соответствующую фактическому значению удельного электрического сопротивления ($\rho_{п.гл}$), проводится вертикальная линия до пересечения ее с линией нормального изменения удельного электрического сопротивления глинистых пластов с глубиной. На точке пересечения этих линий устанавливается значение эквивалентной глубины (H_e).

9. Значение пластового (порового) давления на глубине H_e определяется по формуле эквивалентных глубин (4.2).

10. Расчет пластового (порового) давления проводится в последовательности, изложенной в примере п. 5.1.2.1.

* Введение поправок в полном объеме представлено в руководящем документе РД-39-4-710-82 "Комплексная технология определения и прогнозирования поровых, пластовых давлений и зон АВПД по геолого-геофизическим данным при бурении скважин глубиной 7000 м" утвержденной Министерством нефтяной промышленности СССР 10.05.82 г.

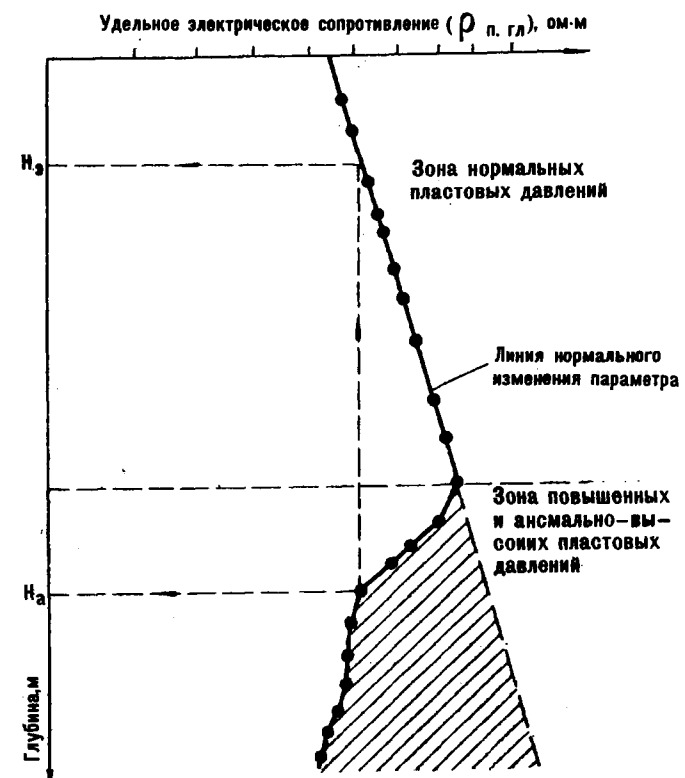


Рис. 5.5. Схема определения АВПД, созданного при недоуплотнении горных пород, по удельному электрическому сопротивлению.

5.1.2.3. Определение АВД по данным акустического каротажа

1. По всему разрезу, вскрытому скважиной, по данным геофизических исследований в скважине (ГИС) выделяются интервалы глинистых пород без заметных примесей песчано-алеврито-карбонатного материала (рис. 5.1) мощностью не менее 3-5 м.

2. Для всех выделенных пластов определяются значения интервального времени распространения упругой волны.

3. Приведение интервального времени распространения упругой волны ($\Delta t_{\text{гл}}$) к одной температуре (20°C) осуществляется по палетке $\frac{\lg \Delta t_{\text{гл}}}{\Delta t_{\text{гл}}} = f(t, {}^{\circ}\text{C})$, приведенной на рис. 5.6 (шифр К-1).

4. По полученным значениям $\Delta t_{\text{гл}}$ в полулогарифмическом масштабе строится график зависимости $\lg \Delta t_{\text{гл}}^{20} = f(H)$; оси абсцисс, представленной в логарифмическом масштабе (модуль 40) приводят значения $\Delta t_{\text{гл}}^{20}$; по оси ординат, представленной в линейном масштабе (1:1000), приводят значения глубины глинистых пластов (рис. 5.7).

5. Определяется линия нормального изменения интервального времени распространения упругой волны с глубиной $\lg \Delta t_{\text{гл}}^{20} = f(H)$, соответствующая разрезу с нормальным пластовым давлением, которая экстраполируется до исследуемой глубины.

6. Зонам повышенных и аномально-высоких пластовых давлений соответствуют отклонения значений интервального времени распространения упругой волны от линии нормального изменения в большую сторону (см. рис. 5.7).

7. Для количественной оценки АВД применяется формула (4).

8. В качестве примера на рис. 5.8 приводится график зависимости $\lg \Delta t_{\text{гл}}^{20} = f(H)$, построенный по данным акустического каротажа по одной из скважин севера Западной Сибири.

5.1.2.4. Определение АВД по методу "кривых нормально уплотненных глин"

1. В последовательности, изложенной впп. 5.1.1.1-5.1.1.6, для глинистых пластов устанавливается зависимость геофизического (петрофизического) параметра от глубины $\lg \Pi = f(H)$, которой определяется "кривая нормального уплотнения глин" (в полулогарифмическом масштабе эта кривая имеет вид прямой линии).

2. При определении пластового (порового) давления используется уравнение

$$\rho_{\text{пор}} = \rho_{\text{n.гидр}} + \frac{g(\bar{\delta}_{\text{гл}} - \bar{\delta}_{\text{п.в}})\Delta H}{\lg \frac{\rho_{\text{п.гл}}^H}{\rho_{\text{п.гл}}^n} + \frac{\alpha(\rho_{\text{п.гл}})}{2,3} \Gamma_t \Delta H}, \quad (5)$$

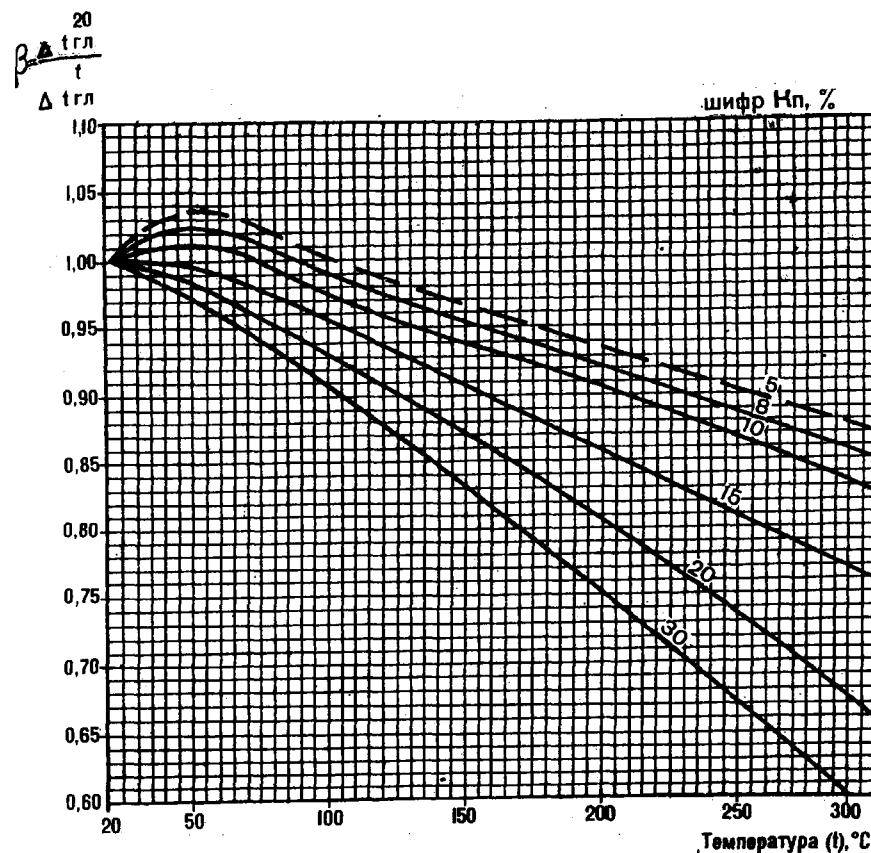


Рис.5.6. Палетка для приведения интервального времени распространения упругой волны в глинистых породах ($\Delta t_{\text{гл}}$) к температуре 20°C ($t_{\text{гл}}$).

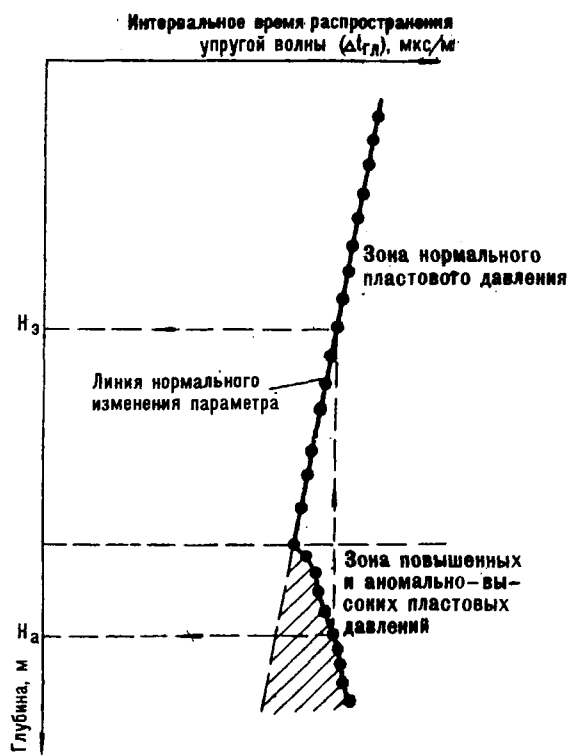


Рис. 5.7. Схема определения АВПД, созданного при недоуплотнении горных пород, по интервальному времени распространения упругой волны.

42

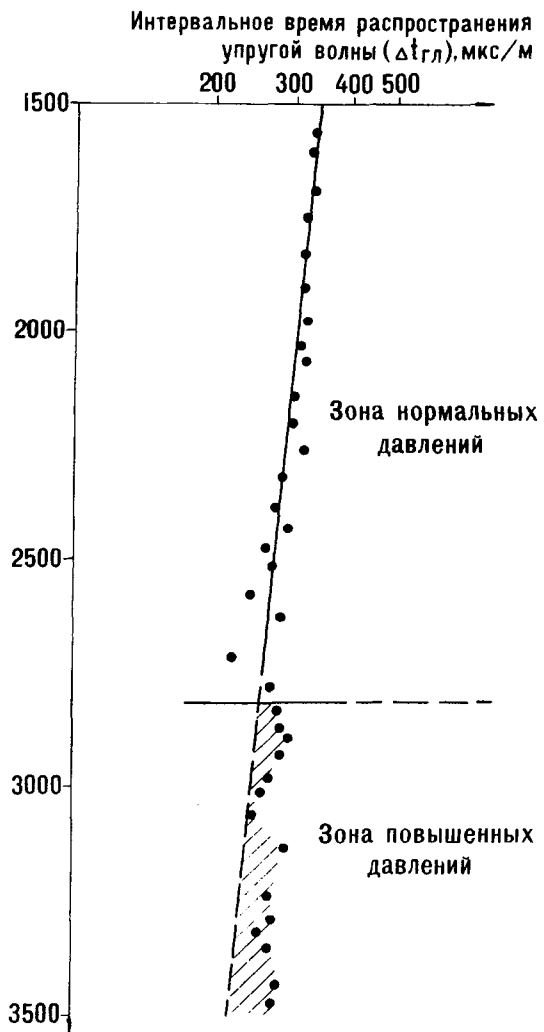


Рис. 5.8. График зависимости интервального времени распространения упругой волны в глинистых породах от глубины в разрезе меловых отложений севера Западной Сибири.

43

где $P_{\text{н.гидр}}$ - нормальное гидростатическое давление, Па; Π_h , Π_a - значения геофизического (петрофизического) параметра глинистых пород соответственно при нормальном и аномальном пластовом давлении; Π_1 , Π_2 - значения геофизического (петрофизического) параметра глинистых пород при нормальном пластовом давлении соответственно на глубине H_1 и H_2 ; $d(\Pi)$ - среднее значение температурного коэффициента глин в интервале температур; Γ_t - геотермальный градиент, $^{\circ}\text{C}/\text{м}$; ΔH - интервал рассматриваемых глубин, м; $\bar{\rho}_{\text{гл}}, \bar{\rho}_{\text{пл}}$ - средневзвешенная плотность соответственно горной породы и пластовой воды, $\text{кг}/\text{м}^3$.

Если с увеличением температуры значения параметра уменьшаются (например, удельное электрическое сопротивление), перед выражением $\frac{\alpha(\Pi)}{2,3}$ употребляется знак плюс (+); знак минус (-) употребляется, если значения параметра увеличиваются (например, удельная электропроводность, интервальное время распространения упругой волны).

3. Если в качестве геофизического параметра используются данные электрического каротажа, то по всему вскрытому разрезу для выделенных глинистых пластов определяются значения удельного электрического сопротивления ($\rho_{\text{п.гл}}$).

4. В полудогарифмическом масштабе строится график зависимости удельного электрического сопротивления глин от глубины:

$$\lg \rho_{\text{п.гл}} = f(H)$$
 (рис.5.9).

5. В зоне нормального пластового давления устанавливается "кривая нормального уплотнения глин" (линия нормального изменения параметра), которая экстраполируется до исследуемой глубины.

6. Зонам повышенных и аномально-высоких пластовых давлений соответствуют отклонения значений удельных электрических сопротивлений от "кривой нормального уплотнения глин" (линии нормального изменения параметра) в меньшую сторону. На графике $\lg \rho_{\text{п.гл}} = f(H)$, приведенном на рис.5.9, зона АНД отмечается на глубине 1750 м.

7. Для количественной оценки аномального порового давления в глинистой покрышке по удельному электрическому сопротивлению уравнение (5.2) имеет следующий вид

$$P_{\text{пор}} = P_{\text{н.гидр}} + \frac{g (\bar{\rho}_{\text{гл}} - \bar{\rho}_{\text{пл}}) \Delta H}{\lg \frac{\rho_{\text{н.гл}}^H}{\rho_{\text{пл}}^H} + \frac{d(\rho_{\text{п.гл}})}{2,3} \Gamma_t \Delta H} \lg \frac{\rho_{\text{п.гл}}^H}{\rho_{\text{пл}}^H}, \quad (5.2)$$

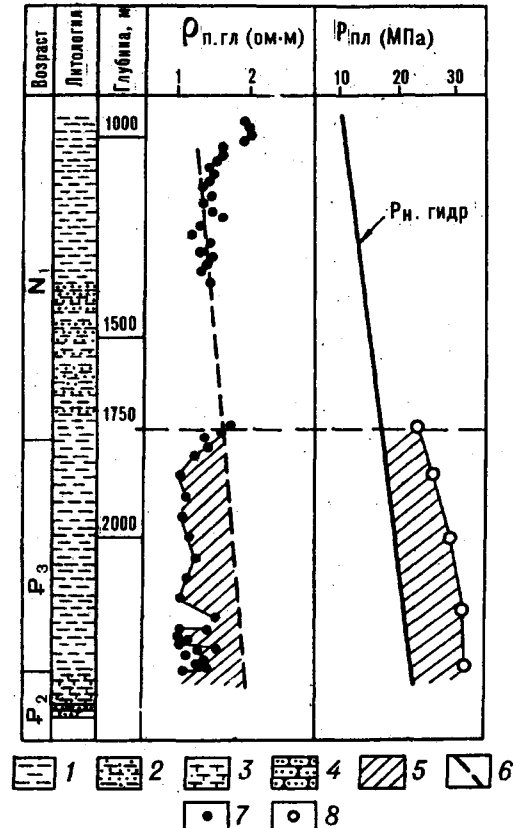


Рис.5.9. Выделение глинистых покрышек с аномально-высоким поровым давлением в скв.525 Ново-Дмитриевской площади.
 1-глина; 2-глина песчанистая; 3-глина известковистая; 4-песчаник;
 5-зона аномально-высокого порового давления в глинах; 6-“кривая нормально уплотненных глин”; 7-измеренное значение геофизического параметра; 8-вычисленное значение аномально-высокого порового давления.

где $P_{н.гидр}$ - нормальное гидростатическое давление, Па;

$\bar{\delta}_{р.п}$ - средневзвешенная плотность горной породы для глубины кг/м³; $\bar{\delta}_{п.в}$ - средневзвешенная плотность пластовой воды, кг/м³; ΔH - интервал рассматриваемых глубин (H_1 и H_2), м; $\rho_{п.гл}^{H_1}$

$\rho_{п.гл}^{H_2}$ - удельные электрические сопротивления глинистых пластов при нормальном поровом давлении (по кривой нормально заложенных глин), соответственно на глубине H_1 и H_2 , омм; $\alpha(\rho_{п.гл})$ - температурный коэффициент, характеризующий изменение удельного электрического сопротивления глинистых пород от температуры 1/°C; Γ_t - средний геотермический градиент, °C/м;

$\rho_{п.гл}^a$ - удельные электрические сопротивления глинистых пластов на исследуемой глубине, соответственно при нормальном и аномальном давлении поровой жидкости, омм.

8. Температурный коэффициент $\alpha(\rho_{п.гл})$, характеризующий изменение удельного электрического сопротивления глинистых пород от температуры, определяется по палетке, приведенной на рис. 5.10.

9. Пример расчета пластового (порового) давления

Исходные данные:

Для исследуемой глубины: $H_a = 2320$ м; $\bar{\delta}_{р.п} = 2200$ кг/м³;

$\bar{\delta}_{п.в} = 1000$ кг/м³.

Нормальное гидростатическое давление на глубине H_a :

$$P_{н.гидр} = g H_a \bar{\delta}_{п.в} = 9,81 \times 2320 \times 1000 = 22,76 \times 10^6 \text{ Па}$$

Удельные электрические сопротивления: $\rho_{п.гл}^{H_1} = 1,93$ омм;

$$\rho_{п.гл}^a = 1,0 \text{ омм.}$$

Интервал рассматриваемых глубин $\Delta H = 100$ м при $H_1 = 2220$ м, $H_2 = 2320$ м.

Удельные электрические сопротивления: $\rho_{п.гл}^{H_1} = 1,83$ омм;

$$\rho_{п.гл}^a = 1,93 \text{ омм.}$$

Температура на глубине 2300 м - $t, ^\circ\text{C} = 87^\circ$ (определенна по графику изменения температуры с глубиной для изучаемого района). Средний геотермический градиент $\Gamma_t = 0,04 \text{ } ^\circ\text{C/m}$.

Температурный коэффициент $\alpha(\rho_{п.гл}) = 0,012$ (см. рис. 5.10).

По формуле (5.2) определяется значение порового давления на глубине 2320 м

$$P_{\text{пор}} = 22,76 \cdot 10^6 + \frac{9,81(2200-1000) \cdot 100}{\lg \frac{1,93}{1,83} + \frac{0,012}{2,3} 0,04 \cdot 100} \lg \frac{1,93}{1,0} = \\ = 22,76 \cdot 10^6 + 7,64 \cdot 10^6 = 30,40 \cdot 10^6 \text{ Па.}$$

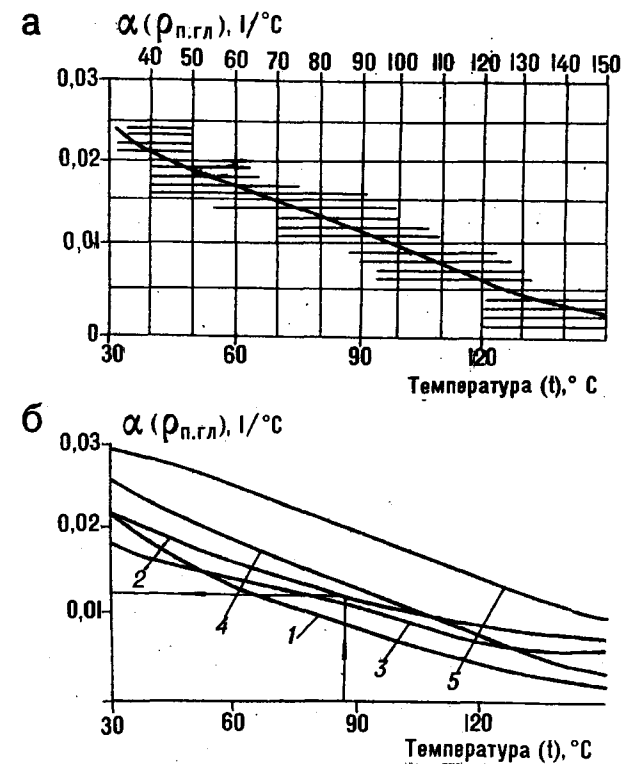
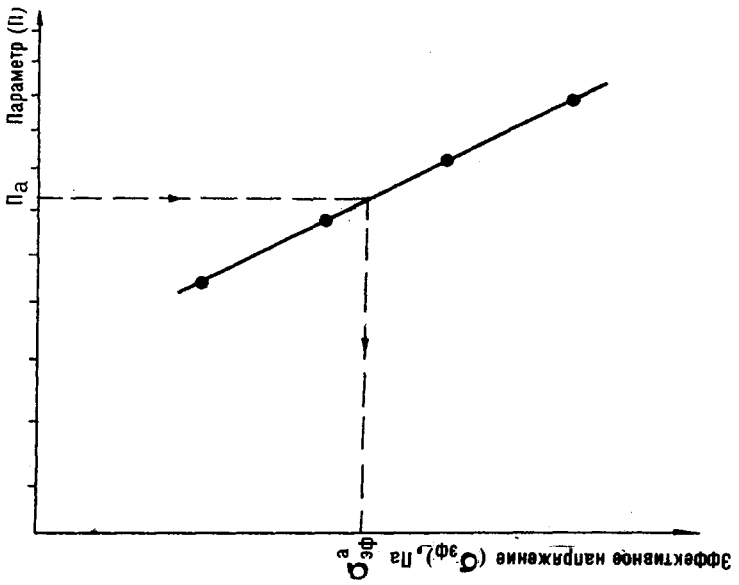


Рис. 5.10. Зависимость температурного коэффициента $\alpha(\rho_{п.гл})$ от температуры $t, ^\circ\text{C}$.

а-сводная кривая (без монтмориллонита); б-кривые для различных глинистых минералов: 1-бентонит; 2-каолин; 3-каолин и гидрослюд (дзянкайская); 4-каолин+гидрослюд (бакинская); 5-монтмориллонит.



48

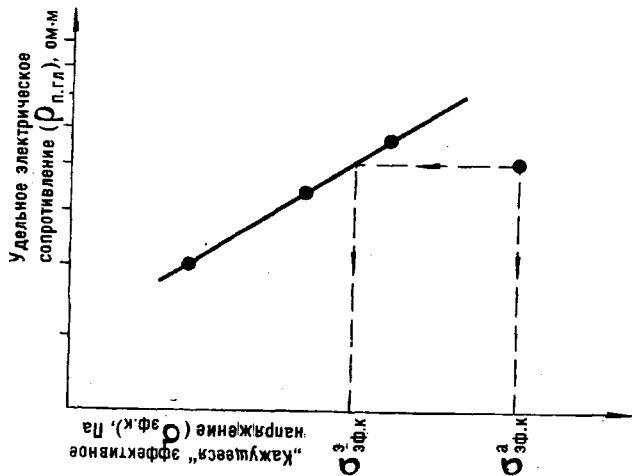


Рис. 5.12. Схема определения АВПД по методу "аннулирующихся" эффективных напряжений

5.1.2.5. Определение АВПД по методу компрессионной кривой

1. По разрезу, вскрытому скважиной, в двух-трех пластах расположенных на разных глубинах, определяется пластовое (поровое) давление.

2. С учетом изменения фактической плотности горных пород с глубиной для выделенных пластов определяется эффективное напряжение, которое рассчитывается по формуле (2.5).

3. Для выделенных пластов устанавливается геофизический (петрофизический) параметр.

4. В полулогарифмическом масштабе по точкам, соответствующим выделенным пластам, строится зависимость геофизического (петрофизического) параметра от эффективного напряжения $\log \Pi = f(\sigma_{\text{эфф}})$ - компрессионная кривая (рис. 5.11).

5. Для определения пластового (порового) давления в исследуемом пласте устанавливается соответствующее ему значение выбранного геофизического (петрофизического) параметра Π_a , который наносится на ось абсцисс, представленной в логарифмическом масштабе.

6. Через полученную точку проводится вертикальная линия до пересечения с компрессионной кривой.

7. От точки пересечения этих линий проводится горизонтальная линия до оси ординат, представленной в линейном масштабе и определяется значение эффективного напряжения $\sigma_{\text{эфф}}^a$, соответствующее исследуемому пласту.

8. Учитывая фактическую глубину исследуемого пласта и изменение фактической плотности горных пород с глубиной, по формуле (2.4) для исследуемого пласта определяется геостатическое давление ($P_{\text{геост}}$).

9. Пластовое (поровое) давление определяется по формуле

$$\rho_{\text{пл}} = P_{\text{геост}} - \sigma_{\text{эфф}}^a \quad \text{или}$$

$$\rho_{\text{пл}} = g \delta_{\text{пл}}^{H_a} H_a - \sigma_{\text{эфф}}^a. \quad (5.5)$$

10. Пример расчета пластового (порового) давления
Исходные данные:

Для исследуемой глубины: $H_a = 3240 \text{ м}$; $\delta_{\text{пл}}^{H_a} = 2340 \text{ кг/м}^3$.
Эффективное напряжение, определенное по значению геофизического (петрофизического) параметра $\sigma_{\text{эфф}}^a = 31,6 \text{ МПа}$.

По формуле (5.5) определяется значение пластового (порового) давления на глубине 3240 м.

49

$$P_{\text{пл}} = 9,81 \times 2340 \times 3240 - 31,6 \times 10^6 = 43,28 \times 10^6 \text{ Па.}$$

5.1.2.6. Определение АНД по методу "кажущихся" эффективных напряжений

1. По разрезу, вскрытому скважиной, выделяются интервалы глинистых пород, для которых устанавливаются значения геофизического (петрофизического) параметра (Π).

2. Для выделенных интервалов глинистых пород определяются величины "кажущихся" эффективных напряжений, которые рассчитываются по формуле

$$(\sigma_{\text{эф.к}})_i = g(\bar{\delta}_{\text{г.п.}} - \bar{\delta}_{\text{п.в.}})H_i, \quad (5.6)$$

где $\bar{\delta}_{\text{г.п.}}$ - средневзвешенная плотность горной породы, $\text{кг}/\text{м}^3$;

$\bar{\delta}_{\text{п.в.}}$ - средневзвешенная плотность пластовой воды, принятая равной $1000 \text{ кг}/\text{м}^3$; H_i - глубины глинистых пластов, м.

3. В пологарифмическом масштабе строится зависимость геофизического параметра от "кажущегося" эффективного напряжения $\log P = f(\sigma_{\text{эф.к}})$. На рис. 5.12 в качестве геофизического параметра приводится удельное электрическое сопротивление ($\rho_{\text{п.з}}$).

4. В зоне нормального пластового давления через полученные точки проводится линия нормального изменения удельного электрического сопротивления от "кажущегося" эффективного напряжения.

5. Для определения пластового давления в исследуемом пласте устанавливается соответствующее ему значение удельного электрического сопротивления ($\rho_{\text{п.з}}$) и значение "кажущегося" эффективного напряжения ($\sigma_{\text{эф.к}}$), которое рассчитывается по формуле (5.6).

6. Через полученную точку проводится вертикальная линия ее пересечения с линией нормального изменения удельного электрического сопротивления от "кажущегося" эффективного напряжения.

7. От точки пересечения этих линий проводится горизонтальная линия до оси ординат и определяется значение "кажущегося" эффективного напряжения, соответствующее эквивалентной глубине ($\sigma_{\text{эф.к}}^3$).

8. Пластовое давление определяется по формуле

$$P_{\text{пл}}^a = P_{\text{у.гидр}} + (\sigma_{\text{эф.к}}^3 - \sigma_{\text{эф.к}}), \quad (5.7)$$

где $P_{\text{пл}}^a$ - пластовое давление в исследуемом пласте, Па;

$P_{\text{у.гидр}}$ - условное гидростатическое давление в Па, которое рассчитывается по формуле (2.1); $\sigma_{\text{эф.к}}^3$ - "кажущееся" эффективное напряжение на глубине исследуемого пласта, Па; $\sigma_{\text{эф.к}}$ - "кажущееся" эффективное напряжение, соответствующее эквивалентной глубине.

бине, Па.

9. Пример расчета пластового давления

Исходные данные: $H_a = 3240 \text{ м}$; $\bar{\delta}_{\text{г.п.}}^a = 2340 \text{ кг}/\text{м}^3$;

$$\sigma_{\text{эф.к}}^3 = 31,6 \times 10^6 \text{ Па.}$$

"Кажущееся" эффективное напряжение, соответствующее глубине исследуемого пласта, рассчитывается по формуле (5.6)

$$\sigma_{\text{эф.к}}^a = 9,81(2340-1000)3240 = 42,59 \times 10^6 \text{ Па.}$$

Пластовое давление рассчитывается по формуле (5.7)

$$P_{\text{пл}}^a = 9,81 \times 1000 \times 3240 + (42,59-31,6) \times 10^6 = 42,77 \times 10^6 \text{ Па.}$$

5.1.2.7. Определение АНД по методу условного эффективного напряжения

1. Если по разрезу трудно или невозможно установить зону нормального пластового давления, или состав глин в надсолевых отложениях резко отличается от глин в подсолевых отложениях, для оценки пластового давления используются данные о замерах пластовых давлений в двух точках зоны АНД, где состав глин одинаковый.

2. Для этих точек определяется условное эффективное напряжение, которое рассчитывается по формуле

$$(\sigma_{\text{эф.у}})_{1,2} = g(\bar{\delta}_{\text{г.п.}} - \bar{\delta}_{\text{п.в.}})H_{1,2}, \quad (5.8)$$

где $(\sigma_{\text{эф.у}})_{1,2}$ - условное эффективное напряжение для двух точек замера, Па; $\bar{\delta}_{\text{г.п.}}$ - средневзвешенная плотность горной породы, которая условно принимается одинаковой для всего разреза ($\bar{\delta}_{\text{г.п.}} = \text{const}$), $\text{кг}/\text{м}^3$; $\bar{\delta}_{\text{п.в.}}$ - средневзвешенная плотность пластовой (поровой) воды, которая условно принимается одинаковой для всего разреза ($\bar{\delta}_{\text{п.в.}} = \text{const}$), $\text{кг}/\text{м}^3$; $H_{1,2}$ - глубина замера пластового давления в двух точках зоны АНД, м.

3. Устанавливаются значения геофизического (петрофизического) параметра, соответствующие двум точкам зоны АНД (Π_1 ; Π_2).

4. Для определения пластового давления на исследуемой глубине H_i устанавливается значение геофизического (петрофизического) параметра горной породы, залегающей на этой глубине - Π_i .

5. Условное эффективное напряжение на исследуемой глубине $(\sigma_{\text{эф.у}})_i$ определяется по формуле:

$$(\sigma_{\text{эф.у}})_i = \frac{(\sigma_{\text{эф.у}})_1 - (\sigma_{\text{эф.у}})_2}{\Pi_1 - \Pi_2}(\Pi_i - \Pi_1) + (\sigma_{\text{эф.у}})_1, \quad (5.9)$$

где $(\sigma_{\text{эф.у}})_i$ - условное эффективное напряжение на исследуемой глубине H_i , Па; $(\sigma_{\text{эф.у}})_1$; $(\sigma_{\text{эф.у}})_2$ - условные эффективные на-

напряжения, соответствующие двум точкам замера пластового давления в зоне АВПД, Па; Π_1 , Π_2 - значения геофизического (петрофизического) параметра, соответствующие двум точкам замера пластового давления в зоне АВПД; Π - значение геофизического (петрофизического) параметра, соответствующее исследуемой глубине H .

6. Пластовое (поровое) давление определяется по формуле

$$(P_{\text{пл}})_i = (P_{\text{геост}})_i - (\sigma_{\text{эфф.у}})_i, \quad (5.1.3)$$

где $(P_{\text{геост}})_i$ - геостатическое давление, Па.

5.1.3. Порядок определения АВПД, образованных после снижения эффективного напряжения (при разуплотнении горных пород)

5.1.3.1. По разрезу, вскрытому скважиной, выделяются интервалы глинистых пород, для которых устанавливаются значения геофизического (петрофизического) параметра.

5.1.3.2. После введения поправок, учитывающих влияние различных факторов на значение выбранного геофизического (петрофизического) параметра, в полулогарифмическом масштабе строится график зависимости этого параметра от глубины: по оси абсцисс представленной в логарифмическом масштабе, приводят значения выбранного параметра выделенных глинистых пластов; по оси ординат, представленной в линейном масштабе, приводят значения глубин глинистых пластов или эффективного ("кажущегося" эффективного) напряжения горной породы, слагающей разрез.

5.1.3.3. На рис.5.13 приведен график зависимости относительного электрического сопротивления глинистых пород от глубины. Значения относительных электрических сопротивлений для выбранных глинистых пластов определены в последовательности, изложенной в п.5.1.2.1.

5.1.3.4. По всему разрезу определяется линия нормального изменения относительного электрического сопротивления.

5.1.3.5. Зонам повышенных и аномально-высоких пластовых давлений соответствуют интервалы глубин, в которых отмечается отклонение фактических значений относительного электрического сопротивления от линии нормального изменения в меньшую сторону.

5.1.3.6. Для построения линии разуплотнения в зоне нормального пластового давления выделяются глинистые пластины, хорошо коррелируемые по исследуемой площади и имеющие в ряде скважин раз-

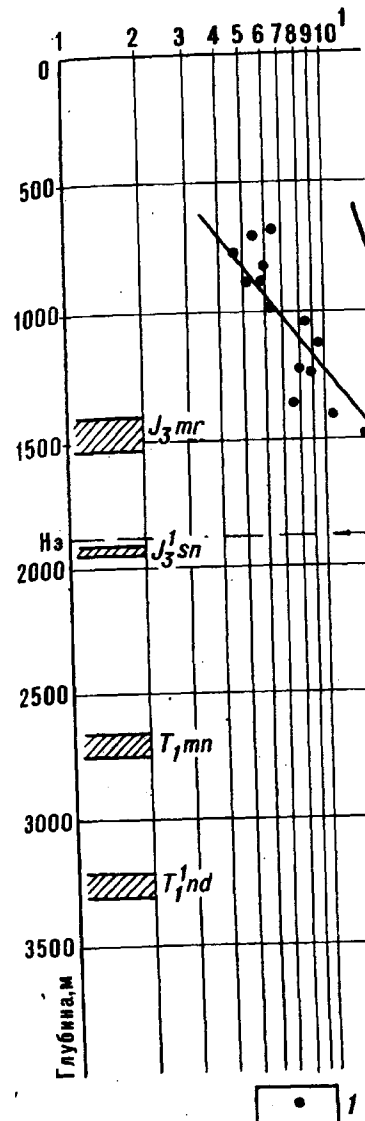


Рис.5.13. Оценка коэффициента глинистых пород от глубины
1-геофизический параметр (P)
ров пластового давления ман-
покрышки (марыкчанская, сун

двум точкам замера пластового давления определяются значения геофизического (петрофизического) параметра, соответствующие двум точкам замера пластового давления. Помимо этого значение геофизического (петрофизического) параметра определяется в той же глубине H .

Пластовое давление определяется по формуле

$$P_{\text{пл.д}} = (P_{\text{гл.д}}) - (P_{\text{зар.у}}), \quad (5.1)$$

где $P_{\text{гл.д}}$ – пластовое давление, Па.

При разуплотнении горных пород, образованных после достижения АВДД, образованных после исчезновения первичного напряжения (при разуплотнении горных пород)

скрытому скважиной, выделяются интервалы, в которых устанавливаются значения геофизического параметра.

Составляются поправок, учитывающих влияние разницы между выбранным геофизическим (петрофизическими) и геологическим масштабами. Строится зависимость геофизического параметра от глубины: по оси абсцисс – геологический масштаб, приводят значения выбранного глинистых пластов; по оси ординат – геологический масштаб, приводят значения глубин первичного ("кажущегося" эффективного) разреза.

На рисунке 5.13 приведен график зависимости относительного сопротивления глинистых пород от глубины для различных геофизических сопротивлений для выбранных в последовательности, изложенной в таблице 5.1.

На графике определяется линия нормального геофизического сопротивления.

На графике определяются линии сопротивления и аномально-высоких пластовых давлений, в которых отмечается отклонение относительного электрического сопротивления в меньшую сторону.

Линии разуплотнения в зоне нормальных сопротивлений являются глинистые пластины, хорошо коррелирующие с геологической структурой и имеющие в ряде скважин разные

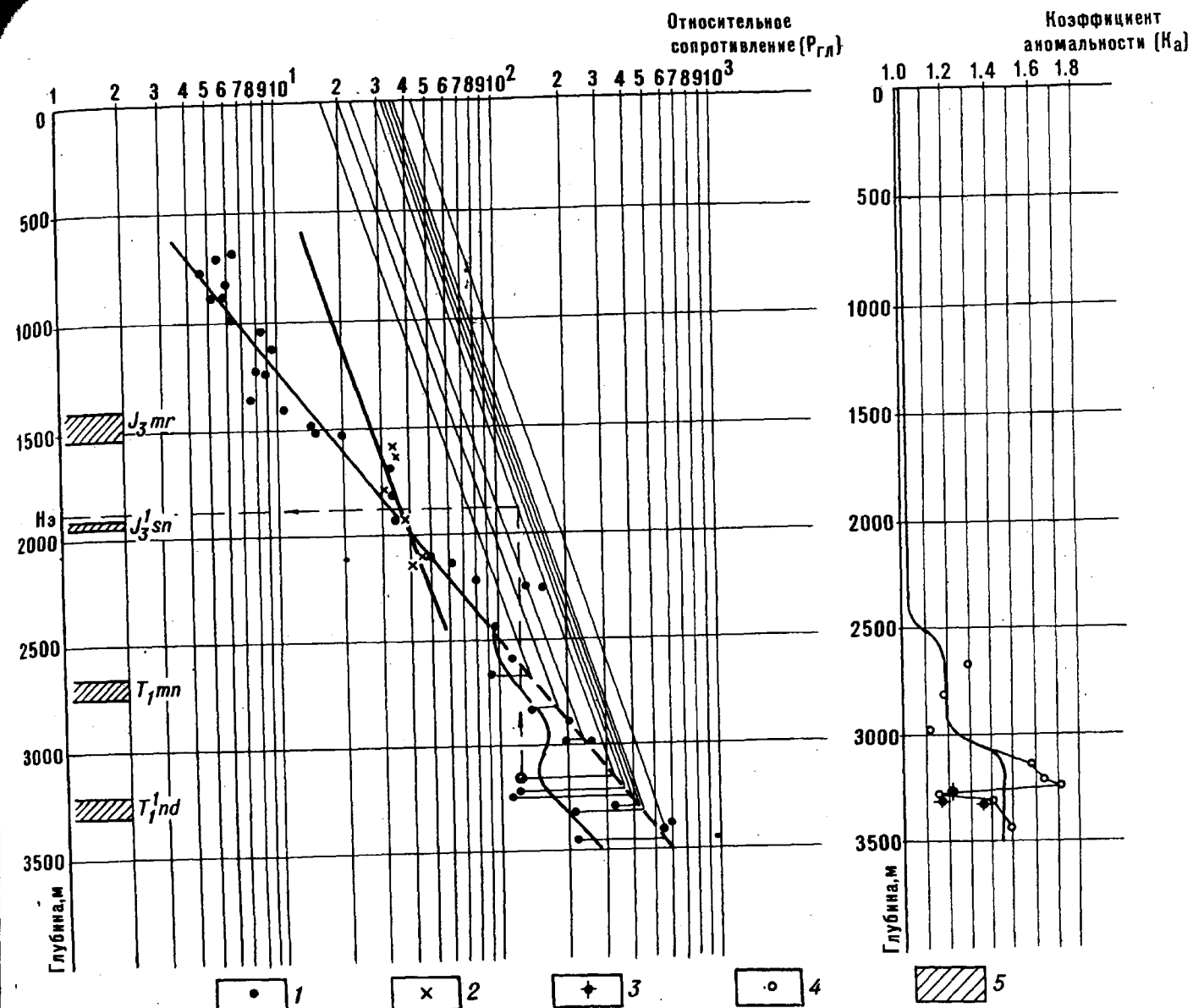


Рис. 5.13. Оценка коэффициентов аномальности по графику зависимости относительного сопротивления глинистых пород от глубины для скв. 20 Неджелинской площади при разуплотнении горных пород. 1 – геофизический параметр ($P_{\text{гл}}$); 2 – геофизический параметр сунтарской аргиллитовой пачки; 3 – значения замеров пластового давления манометром; 4 – значения коэффициента аномальности; 5 – глинистые региональные покрышки (марыкчанская, сунтарская, мономская, неджелинская).

личные отметки по глубине. По этим скважинам устанавливается относительное электрическое сопротивление всех хорошо коррелируемых глинистых пластов. Полученные значения относительных электрических сопротивлений наносятся на график $\lg P_{\text{ра}} = f(H)$, и по нему строится линия разуплотнения глинистых пород (см. рис. 5.13).

5.1.3.7. Для количественное оценки АНД на исследуемой глубине H_a через точку, соответствующую фактическому значению относительного сопротивления, проводится горизонтальная линия до пересечения с линией нормального изменения. Затем через точку пересечения этих линий параллельно линии разуплотнения, построенной по данным хорошо коррелируемых глинистых пластов, проводится новая линия разуплотнения, соответствующая глубине H_a . Далее через точку, соответствующую фактическому значению относительного сопротивления, проводится вертикальная линия до пересечения ее с новой линией разуплотнения, соответствующей глубине H_a . По точке пересечения этих линий устанавливается значение эквивалентной глубины (H_e).

5.1.3.8. Значение пластового (порового) давления на глубине H_a определяется по формуле эквивалентных глубин (4.2).

5.1.3.9. В качестве примера количественной оценки пластового (порового) давления приведен график по скв. 20 Неджелинской площади - Лено-Вилайской нефтегазоносной области (рис. 5.13). Для проведения линии разуплотнения была использована хорошо прослеживаемая практически по всей территории Лено-Вилайской нефтегазоносной области верхне-лейская (сунтарская) аргиллитовая пачка. При построении линии разуплотнения использовались данные по 6 скважинам (скв. 14, 16, 20, 22, 24 Неджелинской площади и скв. 5 Соболохской площади).

Исходные данные:

Для исследуемой глубины: $H_a = 3149 \text{ м}$; $\delta_{\text{ра}}^{H_a} = 2330 \text{ кг}/\text{м}^3$.
Для эквивалентной глубины: $H_e = 1940 \text{ м}$; $\delta_{\text{ра}}^{H_e} = 2260 \text{ кг}/\text{м}^3$;
 $\delta_{\text{ра}}^{H_e} = 1020 \text{ кг}/\text{м}^3$.

По формуле (4.2) определяется значение пластового (порового) давления на глубине 3149 м:
 $P_{\text{пл}} = 9,81 [2330 \cdot 3149 - (2260 \cdot 1940 - 1020 \cdot 1940)] =$
 $= 9,81 [7337170 - (4384400 - 1978800)] = 9,81 \cdot 4931570 = 48,38 \cdot 10^6 \text{ Па}.$

В таблице (5.1) приведены результаты определения пластового давления в зоне АНД по скв. 20 Неджелинской площади.

5.1.3.10. Если по разрезу исследуемой площади отсутствуют хорошо коррелируемые глинистые пласти, принимается, что пласто-

Таблица 5.1

Определение пластовых (поровых) давлений при разуплотнении горных пород

Но- мер то- чек	Сред- няя глуби- на ини- циатора пластика, Н _а , м	Экви- валент- ная глуби- на Н _э , м	Средне- зве- шанная плот- ность на Н _э , кг/м ³	Средне- зве- шанная плот- ность на Н _э , кг/м ³	Средне- зве- шанная плот- ность на Н _э , кг/м ³	Удель- ное со- против- ление пласто- вой вол- ны при t=20°C для воды 0,25 кг/м ³	Коэф- фици- ент аномаль- ности K _a	Замеры мано- метром P _{пи,} Па	Коэф- фици- ент аномаль- ности K _a	
1	2672,5	2300	2140,0	2280	1020	50	0,14	92,9	34,5x10 ⁶	1,29
2	2820,0	2310	2510,0	2290	1020	100	0,08	140,0	33,26x10 ⁶	1,18
3	2981,5	2320	2765,0	2310	1020	100	0,08	206,3	33,51x10 ⁶	1,12
4	3149,2	2330	1940,0	2260	1020	100	0,08	125,0	49,32x10 ⁶	1,57
5	3220,0	2340	1835,0	2250	1020	140	0,062	122,6	52,77x10 ⁶	1,64
6	3246,5	2340	1690,0	2230	1020	140	0,062	112,9	55,52x10 ⁶	1,71
7	3278,0	2340	3010,0	2220	1020	140	0,062	338,7	39,82x10 ⁶	-
8	3292,5	2340	2450,0	2290	1020	140	0,062	225,8	46,47x10 ⁶	1,4
9	3315,7	2340	2300,0	2290	1020	140	0,062	225,8	38,9x10 ⁶	-
10	3317,0	2340	2346,8	2340	1020	140	0,062	225,8	45,45x10 ⁶	1,17
II	3335,0									1,35
12										

вое давление в коллекторе и покрытие одноковое, и линия разуплотнения строится по величине замеренного пластового давления. Для этого по формуле (2.5) определяется эффективное напряжение ($\sigma_{\text{эфф}}$), соответствующее покрытию пласта-коллектора.

Далее по номограмме, построенной для разреза с нормальным пластовым давлением данного района (площади) по формуле

$$(\sigma_{\text{эфф}})_i = \mathcal{G} (\bar{\sigma}_{\text{са}} - 1000) H_i, \quad (5.11)$$

где $(\sigma_{\text{эфф}})_i$ - эффективное напряжение, Па; $\bar{\sigma}_{\text{са}}$ - средневзвешенная плотность горной породы, кг/м³; H_i - текущая глубина, м, находим значение эквивалентной глубины H_e и на графике $\mathcal{G} P_{\text{ра}} = f(H)$ ставим точку, соответствующую этому значению. Затем через точку пересечения линии нормального изменения с горизонтальной линией, соответствующей глубине покрытия пласта-коллектора (H_a), и точку, соответствующую эквивалентной глубине (H_e), проводится линия разуплотнения. Для каждой другой глубины (H_a) строится такая линия разуплотнения, параллельная линии разуплотнения, построенной по величине замеренного пластового давления. На рис.5.14 приведена номограмма для определения эквивалентных глубин (H_e) для Неджелминской площади.

5.1.4. Порядок определения АИЦ по корреляционной зависимости между давлениями пласта-коллектора

и пласта-флюидоупора

5.1.4.1. Для исследуемой площади (региона) в скважинах которой проводились инструментальные (прямые) замеры давлений в пластах-коллекторах и определялись с использованием методов оценки АИЦ давлений в пластах-флюидоупорах, строится корреляционная зависимость между значениями этих давлений (рис.5.15), которая принимается за эталонную.

5.1.4.2. При бурении скважины на исследуемой площади по данным ГИС с использованием методов оценки АИЦ определяется давление в пласте-флюидоупоре. Затем по корреляционной зависимости, приведенной на рис.5.15, определяется давление в пласте-коллекторе. В таблице 5.2 приводятся результаты определения давления в пласте-коллекторе по горизонтам месторождения о.Кызы.

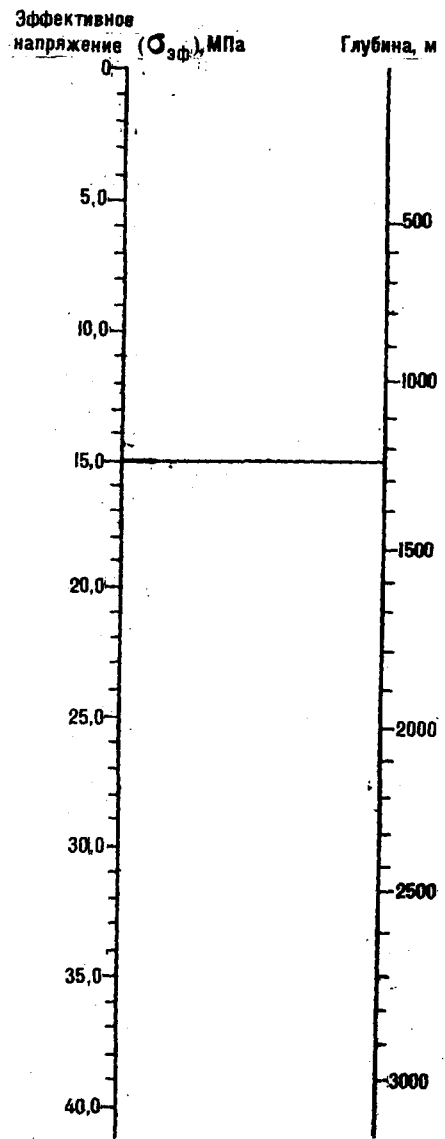


Рис.5.14. Номограмма для определения эквивалентных глубин для Неджелинской площади.

56

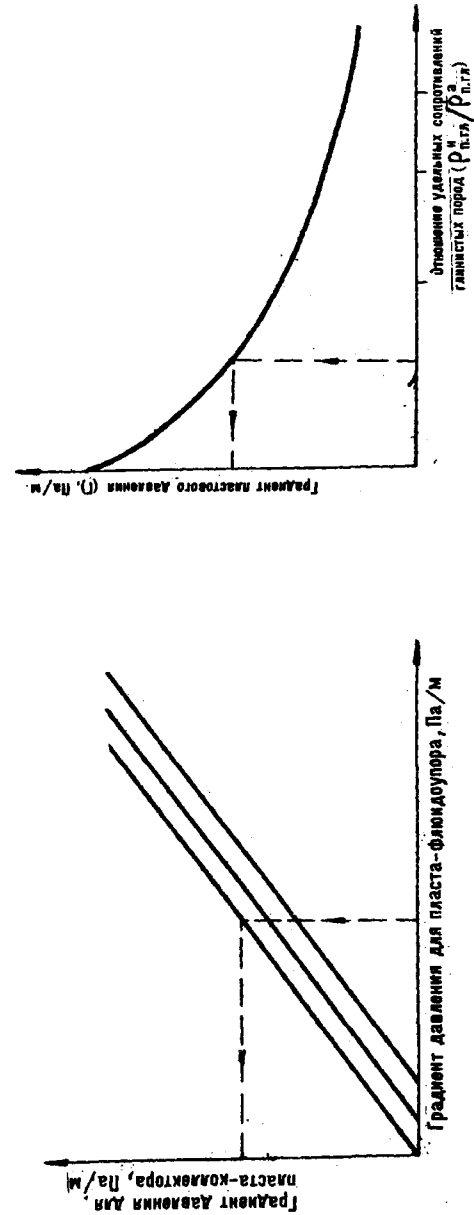


Рис.5.15. График корреляционной зависимости между давлениями в пласте-коллекторе и пласте-флюидоупоре по горизонтам месторождения о. Нилой.

57

Рис.5.16. График зависимости между удельными сопротивлениями глинистых пород ($\frac{\rho_{\text{п.г}}}{\rho_{\text{п.л}}}$)

Результаты определения давления в пластах-коллекторах по горизонтам месторождения О.Кидо

Таблица 5.2

Средние градиенты Па/м	Надвиговое крыло		Поднадвиговое крыло				Наруженная вона
	ДК	Кас	НКИ	КС	ПК	Кас	
в пластах-фацио- упорах	10,80x10 ⁻³	II,20x10 ⁻³	10,10x10 ⁻³	10,30x10 ⁻³	II,50x10 ⁻³	13,50x10 ⁻³	14,30x10 ⁻³
в пластах-коллек- торах	10,50x10 ⁻³	II,20x10 ⁻³	10,10x10 ⁻³	10,20x10 ⁻³	II,40x10 ⁻³	12,20x10 ⁻³	12,10x10 ⁻³

5.2. Порядок определения АНД по корреляционной зависимости между градиентом пластового давления и отклонением геофизического параметра

5.2.1. Для исследуемого региона по скважинам, в которых проходились инструментальные (прямые) замеры пластового давления, строится график изменения удельного электрического сопротивления глинистых пластов с глубиной (см. п.5.1.2.2).

5.2.2. На этом графике в зоне нормального пластового давления проводится линия нормального изменения удельного электрического сопротивления глинистых пород, которая экстраполируется в зону повышенных и аномально-высоких пластовых давлений (см. рис.5.5).

5.2.3. Для каждой глубины (H_3), на которой проводится инструментальный замер пластового давления, определяется отношение $\rho_{\text{пл}}^n / \rho_{\text{пл}}^a$, где $\rho_{\text{пл}}^n$ - значение удельного электрического сопротивления, снятое с линии нормального изменения на глубине H_3 ; $\rho_{\text{пл}}^a$ - фактическое значение удельного электрического сопротивления на глубине H_3 .

5.2.4. В полулогарифмическом масштабе строится график зависимости между отношением $\rho_{\text{пл}}^n / \rho_{\text{пл}}^a$ и градиентом пластового давления (Γ), соответствующим пластовому давлению, полученному при инструментальном замере: по оси абсцисс, представленной в логарифмическом масштабе, приводят значения отношения $\rho_{\text{пл}}^n / \rho_{\text{пл}}^a$; по оси ординат, представленной в линейном масштабе, приводят значения градиента пластового давления. Такой график приведен на рис. 5.16.

5.2.5. Для исследуемого разреза в полулогарифмическом масштабе строится свой график зависимости удельного электрического сопротивления глинистых пластов от глубины, проводится линия нормального изменения параметра и для конкретной глубины H_a определяется отношение $\rho_{\text{пл}}^n / \rho_{\text{пл}}^a$ (рис.5.17). Затем на графике (рис.5.16) по полученному отношению $\rho_{\text{пл}}^n / \rho_{\text{пл}}^a$ определяется градиент пластового давления (Γ).

5.2.6. Значение пластового давления на глубине H_a рассчитывается по формуле

$$\rho_{\text{пл}} = \Gamma H_a, \quad (5.12)$$

где $\rho_{\text{пл}}$ - пластовое давление, Па; H_a - глубина залегания исследуемого пласта, м; Γ - градиент пластового давления, Па/м.

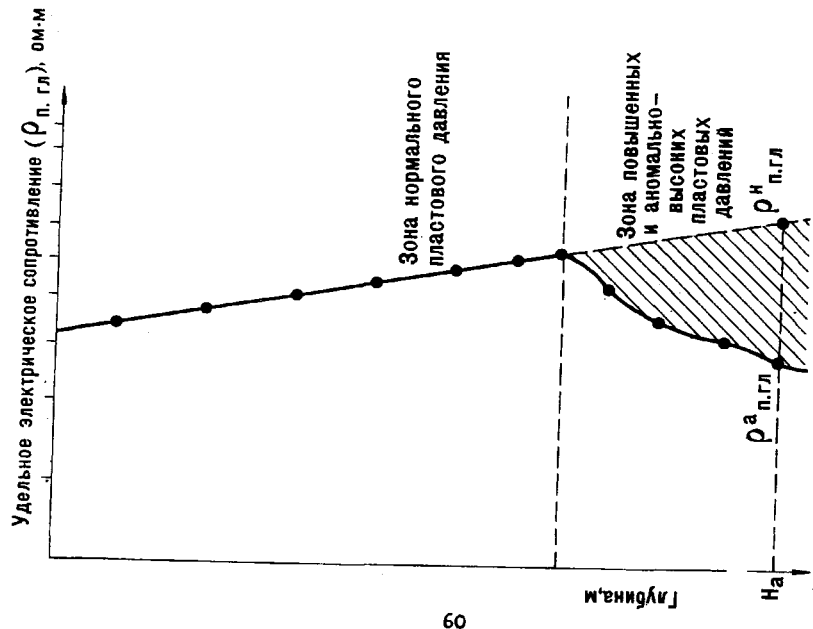


Рис. 5.17. График зависимости удельного электрического сопротивления (ρ_{п.гл}, ом·м) от времени (t, мснгдн)

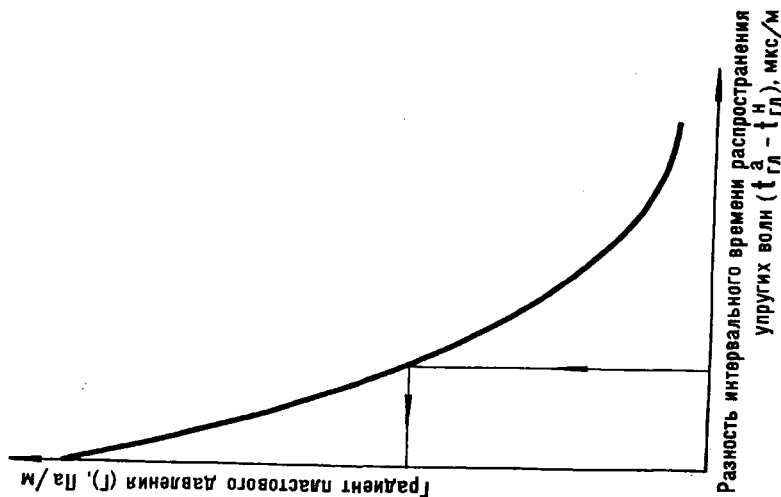


Рис. 5.18. График зависимости разности интервального времени распространения упругих волн (Δt^a - Δtⁿ, мкс/м) от параметра Аббенхинга (Γ, 1/a/m)

5.2.7. Если в качестве геофизического параметра принимаются данные акустического каротажа, то для исследуемого региона в полулогарифмическом масштабе строится график изменения интервального времени распространения упругой волны в глинистых породах с глубиной (см. п.5.1.2.3).

5.2.8. Линия нормального изменения интервального времени распространения упругой волны в глинистых породах из зоны нормального пластового давления экстраполируется в зону повышенных и аномально-высоких пластовых давлений (см. рис.5.7).

5.2.9. Для каждой глубины (H_3), на которой проводился инструментальный замер пластового давления, определяется разность интервального времени распространения упругих волн ($\Delta t_{\text{гл}}^a - \Delta t_{\text{гл}}^n$), где $\Delta t_{\text{гл}}^a$ - фактическое значение интервального времени распространения упругой волны в глинистых породах на глубине H_3 ; $\Delta t_{\text{гл}}^n$ - значение интервального времени распространения упругой волны в глинистых породах, снятое с линии нормального изменения параметра (см. рис.5.7).

5.2.10. Строятся графики зависимости между разностью ($\Delta t_{\text{гл}}^a - \Delta t_{\text{гл}}^n$) и градиентом пластового давления (Γ), соответствующим пластовому давлению, полученному при инструментальном (прямом) замере. Такой график приведен на рис.5.18.

5.2.11. Для исследуемого разреза в полулогарифмическом масштабе строится свой график зависимости интервального времени распространения упругой волны в глинистых породах от глубины, проводится линия нормального изменения параметра, и для конкретной глубины H_a определяется разность интервального времени распространения упругих волн ($\Delta t_{\text{гл}}^a - \Delta t_{\text{гл}}^n$) (рис.5.19). Затем на графике (рис.5.18) по полученной разности ($\Delta t_{\text{гл}}^a - \Delta t_{\text{гл}}^n$) определяется градиент пластового давления (Γ).

5.2.12. Пластовое давление рассчитывается по формуле (5.12).

5.3. Порядок определения АВГД по величине фильтрационного потенциала

5.3.1. Определение АВГД по исходным данным одной скважины

5.3.1.1. В скважине, вскрывшей исследуемый разрез, выделяется пласт-коллектор, для которого определяется амплитуда ПС.

5.3.1.2. После снижения или увеличения забойного давления проводится повторная запись кривой ПС, и определяется новая амплитуда, соответствующая исследуемому пласту-коллектору.

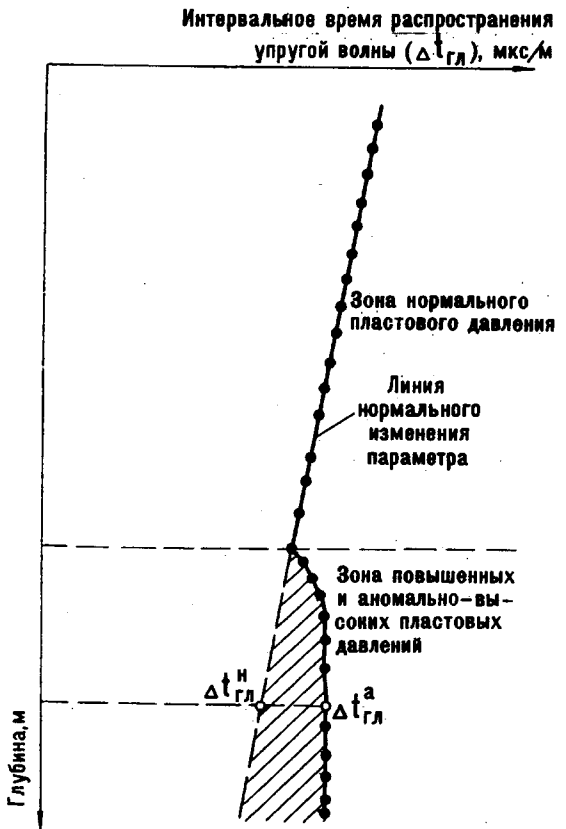


Рис. 5.19. График зависимости интервального времени распространения упругой волны в глинистых породах от глубины.

62

5.3.1.3. Значение пластового давления для пласта-коллектора определяется по формуле

$$P_{\text{пл}} = \frac{\Delta U_1 p_2 - \Delta U_2 p_1}{\Delta U_2 - \Delta U_1}, \quad (5.13)$$

где ΔU_1 , ΔU_2 — амплитуда линии ПС, соответственно при первой и второй записях ПС, мв; p_1 , p_2 — давление на пласт-коллектор в Па, соответственно при первой и второй записях ПС, которое рассчитывается по формуле

$$p_{1,2} = g \delta_{\text{пл}} H_{1,2}, \quad (5.14)$$

здесь $\delta_{\text{пл}}$ — плотность промывочной жидкости, $\text{кг}/\text{м}^3$; $H_{1,2}$ — высота столба промывочной жидкости от глубины пласта-коллектора до верхнего уровня, соответственно при первой и второй записях ПС,

5.3.2. Определение АВГД по исходным данным двух скважин

5.3.2.1. В двух соседних скважинах, расположенных в пределах одного тектонического блока, выделяют исследуемый пласт-коллектор.

5.3.2.2. За счет разности глубин залегания пласта-коллектора или путем изменения плотности промывочной жидкости в скважинах создаются различные режимы фильтрации в исследуемый пласт-коллектор.

5.3.2.3. В обеих скважинах определяются амплитуды кривых ПС, характеризующие исследуемый пласт-коллектор.

5.3.2.4. Значение пластового давления для исследуемого пласта-коллектора определяется по формуле

$$P_{\text{пл}} = \frac{\Delta U_2 p_1 - \Delta U_1 p_2 + \Delta U_1 \Delta H g \delta_{\text{пл}}}{\Delta U_2 - \Delta U_1}, \quad (5.15)$$

где ΔU_1 , ΔU_2 — амплитуда линии ПС, соответственно в первой и второй скважинах, мв; p_1 , p_2 — давление на пласт-коллектор в Па, соответственно в первой и второй скважинах, рассчитанное по формуле (5.15); ΔH — разность глубин залегания пласта-коллектора в первой и второй скважинах, м; $\delta_{\text{пл}}$ — плотность пластовой воды (флюида), насыщающей пласт-коллектор, $\text{кг}/\text{м}^3$.

5.3.2.5. Пример расчета пластового давления.

Исходные данные:

Для скважины 7 Карабаглы: $H_2 = 4520$ м; $\Delta U_2 = -35$ мв; $(\delta_{\text{пл}})_2 = 2080 \text{ кг}/\text{м}^3$.

Для скважины 81 Карабаглы: $H_1 = 4620$ м;

$$\Delta H_1 = -42 \text{ мв}; (\delta_{\text{ж}})_1 = 2080 \text{ кг/м}^3.$$

По формуле определяется значение пластового давления пласта-коллектора

$$P_{\text{пл}} = 9,81 \frac{(-35) \times 4620 - (-42) \times 4520}{(-35) - (-42)} \times 2080 = 82,03 \cdot 10^6 \text{ Па}$$

5.4. Порядок определения АНД, образованных при акватермальном эффекте

5.4.1. Определение АНД по геотермическим данным

5.4.1.1. Для исследуемого региона по данным термометрии скважин при изучении разреза с нормальным пластовым давлением строится график зависимости условного гидростатического давления от температуры (рис. 5.20), который принимается за эталонный.

5.4.1.2. При проводке скважины определяется температура исследуемого пласта (t), а для флюида, насыщающего его, устанавливаются значения коэффициента расширения (α) и коэффициента сжатия (β).

5.4.1.3. Для исследуемого пласта определяется значение условного гидростатического давления, которое рассчитывается по формуле (2.1).

5.4.1.4. По графику, приведенному на рис. 5.20, для исследуемого пласта определяется значение условной температуры (t_0), характеризующей исследуемый пласт при отсутствии акватермального давления.

5.4.1.5. Количественная оценка АНД проводится по формуле

$$P_{\text{пл}} = P_{\text{у.гидр}} + \frac{\alpha}{\beta} (t - t_0), \quad (5.1)$$

где $P_{\text{у.гидр}}$ - условное гидростатическое давление, Па; α - коэффициент температурного расширения флюида пласта, $1/{^\circ}\text{C}$; β - коэффициент сжатия флюида пласта, $1/\text{Па}$; t - температура исследуемого пласта, $^{\circ}\text{C}$; t_0 - условная температура пласта при отсутствии акватермального давления, $^{\circ}\text{C}$.

5.4.1.6. Количественная оценка АНД с учетом разгрузки внутриворового флюида проводится по формуле

$$P_{\text{пл}} = P_{\text{у.гидр}} + \frac{\alpha}{\beta} (t - t_0) - \frac{1}{\beta} \frac{\Delta V}{V_0}, \quad (5.1)$$

где $\frac{\Delta V}{V_0}$ - относительное изменение объема внутриворового флюида, которое определяется по специальным nomogrammам.

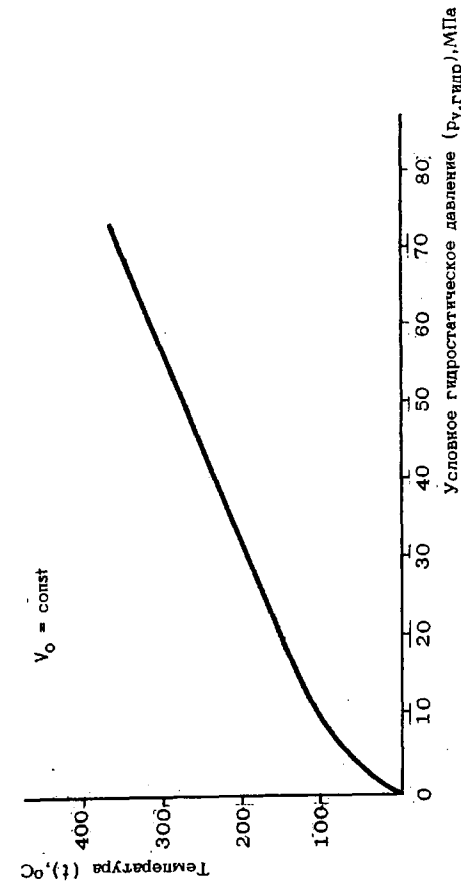


РИС. 5.20. ГРАФИК ЗАВИСИМОСТИ УСЛОВНОГО ГИДРОСТАТИЧЕСКОГО ДАВЛЕНИЯ ОТ ТЕМПЕРАТУРЫ ДЛЯ НЕФТЕГАЗОНОСНЫХ МЕСТОРОЖДЕНИЙ АЗЕРБАЙДЖАНА И ПРИЛЕГАЮЩЕЙ ЧАСТИ КАСТИЯ.

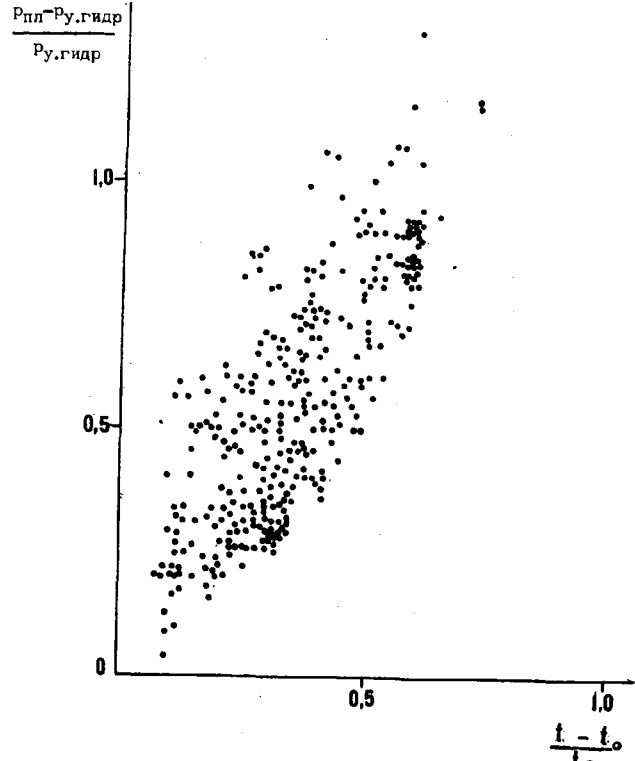


РИС. 5.21. ГРАФИК ЗАВИСИМОСТИ $\frac{P_{\text{пл}} - P_{\text{у.гидр}}}{P_{\text{у.гидр}}} = f\left(\frac{t - t_0}{t_0}\right)$
ДЛЯ НЕФТЕГАЗОНОСНЫХ МЕСТОРОЖДЕНИЙ АЗЕРБАЙДЖАНА И
ПРИЛЕГАЮЩЕЙ ЧАСТИ КАСПИЯ.

66

5.4.2. Определение АНД по корреляционной зависимости между пластовым давлением и температурой

5.4.2.1. Для исследуемого региона по скважинам, в которых проводились прямые замеры пластового давления ($P_{\text{пл}}$), определяется соответствующее значение температуры пластов (t).

5.4.2.2. Для каждого пласта с замеренным давлением определяется условное гидростатическое давление, а по графику, приведенному на рис. 5.20а, устанавливается значение условной температуры (t_0).

5.4.2.3. Для исследуемого региона (площади) строится график зависимости $\frac{P_{\text{пл}} - P_{\text{у.гидр}}}{P_{\text{у.гидр}}} = f\left(\frac{t - t_0}{t_0}\right)$ приведенной на рис. 5.21.

5.4.2.4. Для определения пластового давления в любой точке разреза замеряют температуру исследуемого пласта (t). Далее для этого пласта рассчитывается значение условного гидростатического давления, и по графику, приведенному на рис. 5.20, определяется соответствующее значение условной температуры (t_0). Затем по зависимости $\frac{P_{\text{пл}} - P_{\text{у.гидр}}}{P_{\text{у.гидр}}} = f\left(\frac{t - t_0}{t_0}\right)$ приведенной на рис. 5.21 устанавливается значение отношения $\frac{P_{\text{пл}} - P_{\text{у.гидр}}}{P_{\text{у.гидр}}}$ и определяется соответствующее значение пластового давления ($P_{\text{пл}}$).

5.5. Порядок определения АНД по керну

5.5.1. Определение АНД по методу эквивалентных глубин

5.5.1.1. По всему разрезу, вскрываемому скважиной, в интервалах отбора керна выделяются образцы, представленные глинистыми породами.

5.5.1.2. Для отобранных образцов определяется пористость и плотность.

5.5.1.3. В полулогарифмическом масштабе строится график зависимости пористости и плотности глинистой породы от глубины: по оси абсцисс, представленной в логарифмическом масштабе, приводят значения пористости и плотности глинистых пород; по оси ординат, представленной в линейном масштабе приводят значения глубины отбора керна (рис.5.22).

5.5.1.4. Если исследуемый разрез слабо охарактеризован керном, то для построения зависимости пористости и плотности глинистой породы от глубины используется каменный материал соседних скважин.

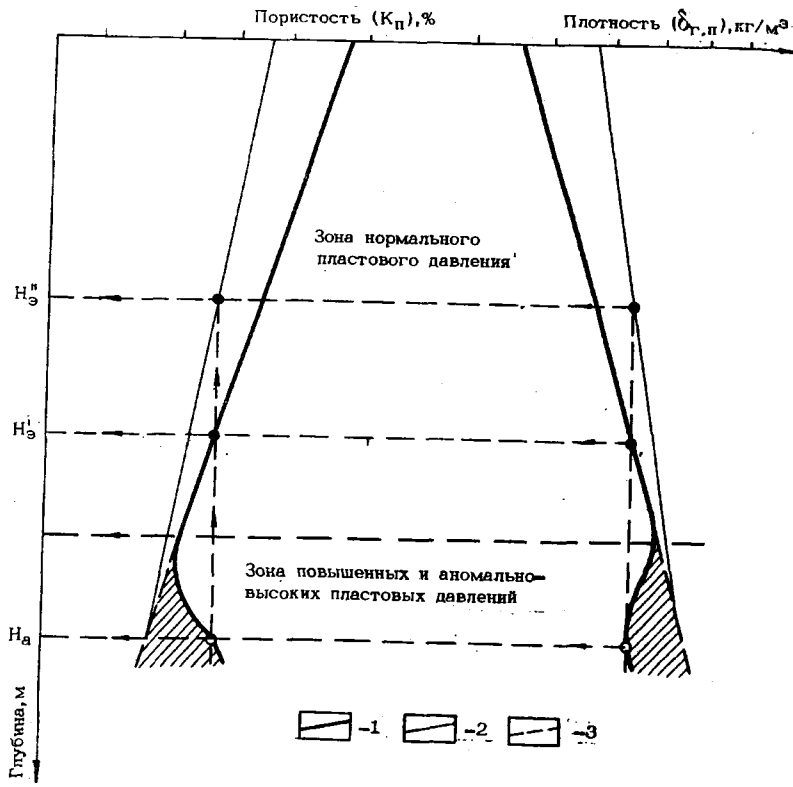


РИС. 5.22. ОПРЕДЕЛЕНИЕ АВПД ПО ПОРИСТОСТИ И ПЛОТНОСТИ ГЛИНИСТЫХ ПОРОД С ИСПОЛЬЗОВАНИЕМ МЕТОДИКИ ЭКВИВАЛЕНТНЫХ ГЛУБИН.

1—линия нормального изменения параметра; 2—линия изменения параметра при обратимых деформациях (при разуплотнении); 3—линия нормального изменения параметра, экстраполированная в зону АВПД.

68

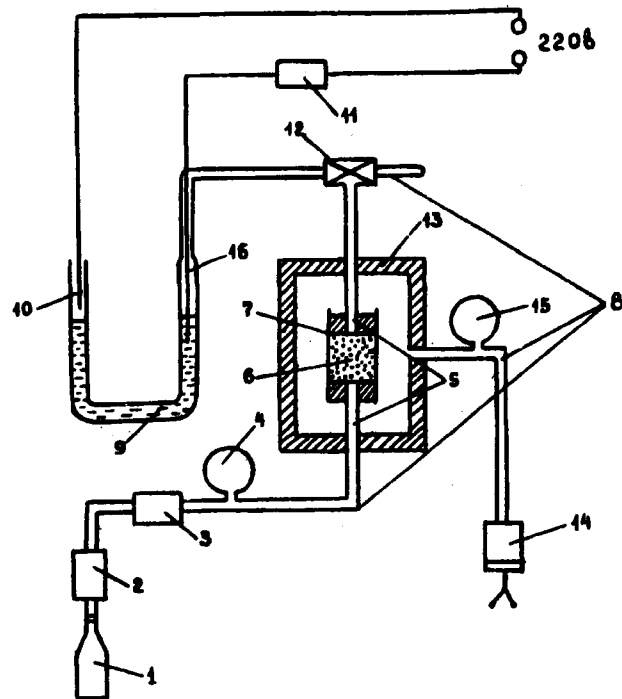


РИС. 5.23. ПРИНЦИПИАЛЬНАЯ СХЕМА УСТАНОВКИ ДЛЯ ЗАМЕРА ПРОНИЦАЕМОСТИ ПОРОД В ЗАВИСИМОСТИ ОТ ДАВЛЕНИЯ ВСЕСТОРОННЕГО СЖАТИЯ ПОРОД.

1—баллон со сжатым газом; 2—понижающий редуктор; 3—осушитель газа; 4,15—образцовые манометры; 5—штоки; 6—образец породы; 7—резиновая манжетка; 8—воздухопроводы; 9—капилляр; 10,16—электроды; 11—электрическая схема счета времени; 12—перекрывающий клапан; 13—камера высокого давления; 14—насос высокого давления.

69

5.5.1.5. Интервалы разреза с нормальным пластовым давлением характеризуются плавным снижением пористости и повышением плотности глинистой породы.

5.5.1.6. Зонам повышенных и аномально-высоких пластовых давлений соответствуют интервалы глубин, в которых отмечается увеличение пористости и уменьшение плотности глинистых пород (рис. 5.22).

5.5.1.7. Количественная оценка АНД проводится по формуле (4.2).

5.5.2. Определение АНД по максимальному эффективному напряжению

5.5.2.1. В исследуемых интервалах разреза, вскрываемого скважиной, независимо от литологического состава горной породы отбираются образцы керна диаметром не менее 40–50 мм и высотой выше 20 мм.

5.5.2.2. Из отобранного керна выбираются образцы в форме цилиндра (для аргиллитов: диаметр 20–30 мм, высота 10–30 мм; песчанистых разностей: диаметр 20–30 мм, высота 4–30 мм). Выборование образцов осуществляется алмазными кольцевыми сверлами, соответствующего диаметра на настольно-сверлильном станке типа 2М-II2.

Торцевые стороны цилиндра обрабатываются алмазно-обрезином кругом диаметром 20 см на абразивно-обрезином станке типа 8220, затем шлифуются на абразивном камне с доводкой параллельности торцевых граней не менее $\pm 0,1$ мм.

Образцы после промывки дистиллированной водой помещают в шкаф и сушат при температуре 378°К не менее 2-х часов.

5.5.2.3. Готовый образец помещается в резиновую манжетку, закрывается штоками с обеих сторон и устанавливается в камере высокого давления установки для замера проницаемости породы. Принципиальная схема установки для замера проницаемости пород показана на рис.5.23.

5.5.2.4. В камере высокого давления ступенчато создается всестороннее давление, обжимающее образец. Ступени повышения давления рекомендуется выдерживать в следующем порядке: 5, 10, 15, 20, 25, 30, 35, 40, 45, 50, 55, 60, 70, 80, 90, 100 МПа и более (при необходимости).

Выдержка ступени давления всестороннего сжатия (в зависимости от стабилизации) проводится в течение 10-15 мин.

5.5.2.5. После выдержки каждой ступени давления всестороннего сжатия через образец пропускается постоянный объем газа и регистрируется время его прохождения через образец.

5.5.2.6. В полулогарифмическом масштабе строится график зависимости времени прохождения постоянного объема газа от давления всестороннего сжатия: по оси ординат, представленной в линейном масштабе, приводят значения времени прохождения через образец постоянного объема газа: по оси абсцисс, представленной в логарифмическом масштабе, приводят значения давления всестороннего сжатия образца (рис. 5.24).

5.5.2.7. Пластовое (поровое) давление в исследуемой горной породе определяется по формуле

$$P_{\text{пл}} = \frac{\rho_{\text{геост}} - \sigma_z}{0,85}, \quad (5.18)$$

где $P_{\text{пл}}$ – пластовое (поровое) давление, Па; $\rho_{\text{геост}}$ – геостатическое давление на глубине залегания пласта, Па; σ_z – эффективное напряжение на глубине максимального погружения, Па; 0,85 – коэффициент разгрузки (η_p).

5.5.2.8. На графиках, представленных на рис. 5.25, определены точки перелома для образцов горной породы из скв.64 Соболохской площади, соответствующие максимальному эффективному напряжению (σ_z), испытываемому горной породой этих образцов при максимальной глубине погружения в условиях естественного залегания. Результаты расчета пластовых (поровых) давлений по скв.64 Соболохской площади приведены в таблице 5.3.

5.5.2.9. В качестве регистрируемого параметра, откладываемого на оси ординат (рис.5.24) могут быть использованы значения пористости, электрического сопротивления, интервального времени распространения упругой волны в горной породе.

5.5.3. Определение АНД по эффективному напряжению

5.5.3.1. В исследуемых интервалах разреза, вскрываемого скважиной, независимо от литологического состава горной породы отбираются образцы керна, для которых по каротажным диаграммам определяются соответствующие значения удельного электрического сопротивления (ρ_p).

5.5.3.2. После предварительной обработки образец горной породы помещается в камеру высокого давления.

5.5.3.3. Проводится ступенчатое повышение давления, обжи-

Таблица 5.3

Результаты расчета пластовых (поровых) давлений
по скважине 64 Соловьевской площади
($n_p = 0,85$)

$h(\text{средняя}), \text{м}$	$\rho_{\text{геост}}, \text{Па}$	$\sigma_z, \text{Па}$	$\sigma_z(\text{средняя}), \text{Па}$	$P_{\text{пл}}, \text{Па}$
3660	$85,5 \times 10^6$	$55,0 \times 10^6$	$55,0 \times 10^6$	$36,0 \times 10^6$
4066	$95,0 \times 10^6$	$57,0 \times 10^6$	$57,5 \times 10^6$	$43,8 \times 10^6$
4130	$97,0 \times 10^6$	$59,0 \times 10^6$	$59,0 \times 10^6$	$44,7 \times 10^6$
4458	$106,2 \times 10^6$	$66,0 \times 10^6$	$65,0 \times 10^6$	$48,5 \times 10^6$
4641	$111,9 \times 10^6$	$66,0 \times 10^6$	$66,0 \times 10^6$	$56,0 \times 10^6$
4692	$113,2 \times 10^6$	$60,0 \times 10^6$	$61,0 \times 10^6$	$64,3 \times 10^6$
4782	$116,0 \times 10^6$	$60,0 \times 10^6$	$60,0 \times 10^6$	$60,0 \times 10^6$
4848	$118,0 \times 10^6$	$66,0 \times 10^6$	$69,0 \times 10^6$	$65,9 \times 10^6$
4920	$120,0 \times 10^6$	$67,0 \times 10^6$	$67,0 \times 10^6$	$68,3 \times 10^6$
5014	$122,8 \times 10^6$	$64,0 \times 10^6$	$63,0 \times 10^6$	$67,1 \times 10^6$
		$60,0 \times 10^6$	$51,0 \times 10^6$	$59,5 \times 10^6$
		$63,0 \times 10^6$	$54,0 \times 10^6$	$82,7 \times 10^6$

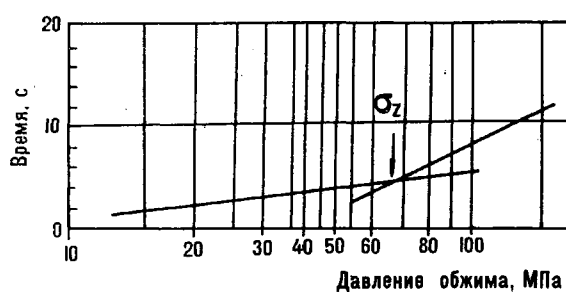


Рис.5.24. Определение максимального эффективного напряжения (σ_z) в скелете горных пород.

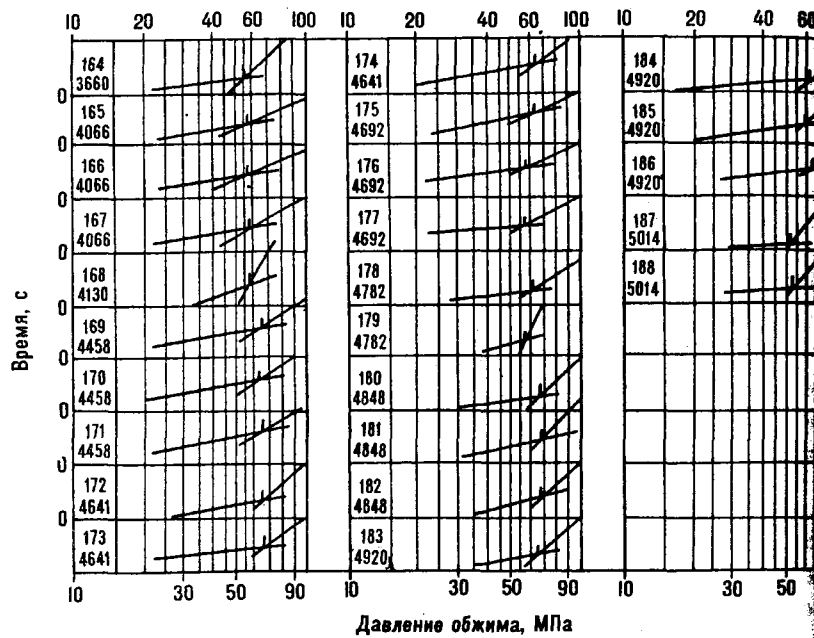


Рис.5.25. Графики определения максимального эффективного напряжения (σ_z) для образцов горной породы из скв.64 Соловьевской площади.

мающего образец, и для каждой ступени регистрируется удельное электрическое сопротивление исследуемого образца.

5.5.3.4. В полулогарифмическом масштабе строится график зависимости удельного электрического сопротивления от давления всестороннего сжатия: по оси ординат, представленной в линейном масштабе, приводят значения удельного электрического сопротивления; по оси абсцисс, представленной в логарифмическом масштабе, приводят значения давления всестороннего сжатия в раза (рис. 5.26).

5.5.3.5. На графике, приведенном на рис.5.26, по значению удельного электрического сопротивления (ρ_a), снятому с касательной диаграммы, определяется значение эффективного напряжения ($\sigma_{\text{эф}}^a$), соответствующего условиям естественного залегания исследуемой горной породы.

5.5.3.6. Пластовое давление для исследуемой горной породы определяется по формуле

$$\rho_{\text{пл}} = \rho_{\text{геост}} - \sigma_{\text{эф}}, \quad (5.1)$$

где $\rho_{\text{пл}}$ – пластовое давление, Па; $\rho_{\text{геост}}$ – геостатическое давление на глубине залегания пласта, Па; $\sigma_{\text{эф}}$ – эффективное напряжение на глубине залегания пласта, Па.

5.5.3.7. В качестве регистрируемого параметра, откладываемого на оси ординат (рис.5.26), могут быть использованы значения интервального времени распространения упругой волны в горной породе.

5.6. Порядок определения АНД по давлению гидоразрыва пласта

5.6.1. После спуска и крепления очередной обсадной колонны производится испытание колонны на герметичность. Разбуривается "стоп-кольцо", цементный стакан, башмак, и, после вскрытия забоя, скважина углубляется на 2–5 м. Плотность промывочной жидкости выравнивается по всей скважине.

5.6.2. К бурильной колонне, расположенной в скважине, ключается цементировочный агрегат. Кольцевое пространство устье скважины перекрывается плашками превентора.

5.6.3. Цементировочным агрегатом нагнетается промывочная жидкость, и давление в скважине доводится до гидоразрыва пласта.

5.6.4. По манометру, установленному на цементировочном

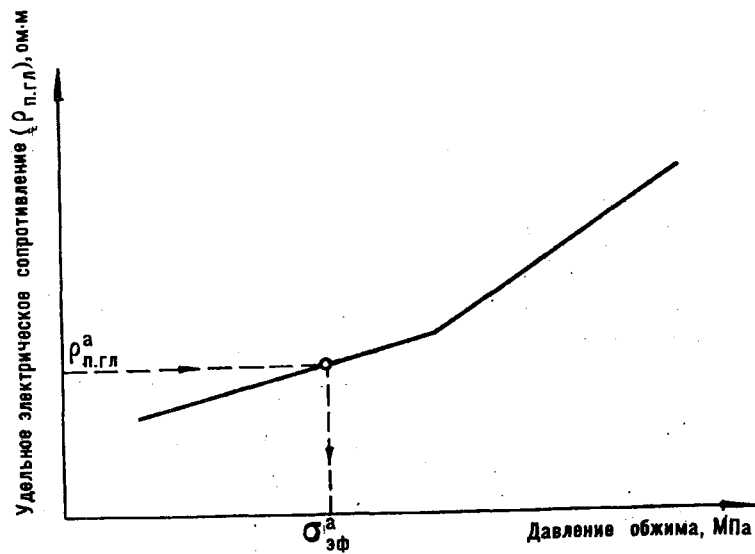


Рис.5.26. График зависимости удельного электрического сопротивления горных пород от эффективного напряжения.

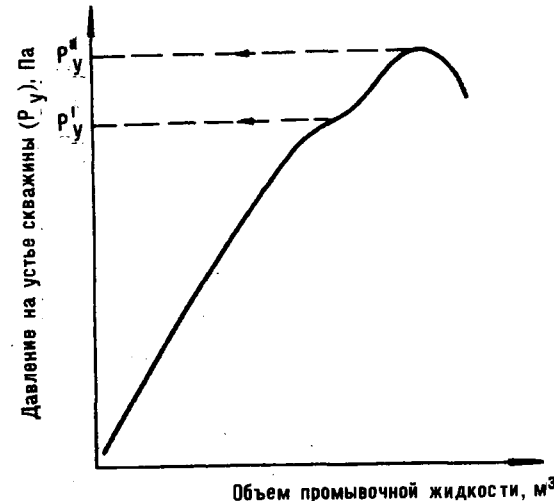


Рис.5.27. График изменения давления на устье скважины при нагнетании промывочной жидкости

регате (или по манометру на арматуре), на устье скважины стриуется давление, при котором началось поглощение промывочной жидкости (P_y'), и произошел гидроразрыв пласта (P_y''). На рис. 5.27 приводится график изменения давления на скважине при нагнетании промывочной жидкости.

5.6.5. После регистрации давления гидроразрыва давление скважине сбрасывается, и плашки превентора разводятся до минимального открытого состояния.

5.6.6. Определяется забойное давление ($P_{заб}$), создаваемое столбом промывочной жидкости, которое рассчитывается по формуле (2.10).

5.6.7. Определяется давление гидроразрыва, которое рассчитывается по формуле

$$P_{гр} = P_y'' + P_{заб}, \quad (5.1)$$

где $P_{гр}$ - давление гидроразрыва пласта, Па; P_y'' - давление, зарегистрированное на устье скважины при гидроразрыве пласта, Па; $P_{заб}$ - забойное давление, Па.

5.6.8. Пластовое давление в исследуемом интервале определяется по формуле

$$P_{пл} = \frac{P_{гр} - (P_{геост} + P_{гр})V}{1 + 2V}, \quad (5.2)$$

где $P_{пл}$ - пластовое давление, Па; $P_{гр}$ - давление гидроразрыва пласта, Па; $P_{геост}$ - геостатическое давление в Па для исследуемого интервала, которое рассчитывается по формуле (2.4); V - коэффициент Пуассона.

5.6.9. При четкой регистрации давления начала поглощения промывочной жидкости (P_y') не обязательно доводить давление нагнетания до гидроразрыва пласта. В этом случае давление гидроразрыва пласта определяется по формуле

$$P_{гр} = P_y' + P_{заб} + (1,0 \div 1,5) \times 10^6, \quad (5.3)$$

где $P_{гр}$ - давление гидроразрыва пласта, Па; P_y' - давление на устье скважины, при котором началось поглощение промывочной жидкости, Па; $P_{заб}$ - забойное давление, Па; $(1,0 \div 1,5) \times 10^6$ - превышение давления гидроразрыва пласта над давлением начала поглощения промывочной жидкости, Па.

5.6.10. Пример расчета пластового давления по исходным, полученным при испытании пласта на гидроразрыв:

- глубина забоя скважины после разбуривания башмака об

ной колонны и углубления на 2-5 м ($H_{заб}$) - 1800 м;

- средневзвешенная плотность горной породы по вскрытому разрезу ($\delta_{г.п.}$) - 2090 кг/м³;

- плотность промывочной жидкости ($\delta_{п.ж.}$) - 1300 кг/м³;

- давление на устье скважины при гидроразрыве пласта (P_y'') - 10,69x10⁶ Па;

- коэффициент Пуассона, определенный по керну или принятый эксперты путем по данным ранее пробуренных скважин (V) - 0,25;

- забойное давление рассчитывается по формуле (2.10)

$$P_{заб} = 9,81 \times 1300 \times 1800 = 22,17 \times 10^6 \text{ Па};$$

- давление гидроразрыва пласта рассчитывается по формуле (5.20)

$$P_{гр} = 10,69 \times 10^6 + 22,17 \times 10^6 = 32,86 \times 10^6 \text{ Па};$$

- геостатическое давление на глубине залегания исследуемого пласта рассчитывается по формуле (2.4)

$$P_{геост} = 9,81 \times 2090 \times 1800 = 36,90 \times 10^6 \text{ Па};$$

- пластовое давление рассчитывается по формуле (5.21)

$$P_{пл} = \frac{32,86 \times 10^6 - (36,90 + 32,86) \times 10^6 \times 0,25}{1 - 2 \times 0,25} = 30,84 \times 10^6 \text{ Па}.$$

5.6.11. По градиенту гидроразрыва пласта, который рассчитывается по формуле (2.7), устанавливается максимально допустимая плотность промывочной жидкости при бурении нижележащих отложений изучаемого разреза.

6. МЕТОДЫ ОЦЕНКИ ПЛАСТОВЫХ ДАВЛЕНИЙ В ПРОЦЕССЕ
БУРЕНИЯ СКВАЖИН (БЕЗ ОСТАНОВКИ УГЛУБЛЕНИЯ
СКВАЖИН)

6.1. Оценка пластовых давлений по данным о гидродинамическом взаимодействии пласта с промывочной жидкостью

6.1.1. Порядок определения АНД по методу варьирующих депрессий

6.1.1.1. В процессе бурения скважины из-под башмака кондуктора, а также из-под башмака всех последующих обсадных колец, спущенных в скважину, проводятся наблюдения и регистрация интенсивности фоновой фильтрации промывочной жидкости ($\Delta Q_{\text{ф}}$), которая определяется по формуле

$$\Delta Q_{\text{ф}} = Q_{\text{вых}} - Q_{\text{вых}}, \quad (6.1.1.1)$$

где $\Delta Q_{\text{ф}}$ - интенсивность фоновой фильтрации промывочной жидкости, $\text{м}^3/\text{с}$; $Q_{\text{вых}}$ - расход промывочной жидкости на входе в скважину, $\text{м}^3/\text{с}$; $Q'_{\text{вых}}$ - расход промывочной жидкости на выходе из скважины, $\text{м}^3/\text{с}$.

6.1.1.2. При отклонении интенсивности фоновой фильтрации промывочной жидкости от ее постоянного значения в сторону увеличения фиксируется глубина забоя скважины (глубина кровли вскрытого проницаемого пласта) и проводится исследование вскрытого проницаемого пласта.

6.1.1.3. При получении установившегося (устойчивого) значения интенсивности фильтрации промывочной жидкости в пласт ($\Delta Q_{\text{ф}}$) в течение 50–60 минут проводятся наблюдения, и регистрируются исходные показатели первого режима (давление в нагнетательной линии - P'_n ; плотность промывочной жидкости - $\delta'_{\text{п.ж}}$; расход промывочной жидкости на входе в скважину - $Q_{\text{вых}}$; расход промывочной жидкости на выходе из скважины - $Q'_{\text{вых}}$; динамическая вязкость промывочной жидкости - μ_1 ; расчетное значение потери давления в кольцевом пространстве - $P'_{\text{к.п.}}$).

6.1.1.4. Второй режим устанавливается путем создания дополнительного противодавления на исследуемый пласт, равного 1,0+1,5 МПа.

Дополнительное противодавление на исследуемый пласт устанавливается по показаниям манометра на нагнетательной линии путем уменьшения кольцевого сечения на устье скважины при помощи пластификатора или путем использования штуцерной батареи. При

установившемся режиме в скважине поддерживается условие

$$\Delta P_1 - \Delta P_2 = P'_{\text{заб}} - P''_{\text{заб}} = P'_n - P''_n, \quad (6.2)$$

где ΔP_1 , ΔP_2 - дифференциальное давление в системе "скважина-пласт", соответственно, при первом и втором режимах, Па; $P'_{\text{заб}}$, $P''_{\text{заб}}$ - забойное давление, соответственно при первом и втором режимах, Па; P'_n , P''_n - давление в нагнетательной линии, соответственно при первом и втором режимах, Па.

6.1.1.5. При получении установившегося (устойчивого) значения интенсивности фильтрации промывочной жидкости в пласт (ΔQ_2) в течение 50–60 минут проводятся наблюдения, и регистрируются исходные показатели второго режима (давление в нагнетательной линии - P''_n ; плотность промывочной жидкости - $\delta''_{\text{п.ж}}$; расход промывочной жидкости на входе в скважину - $Q''_{\text{вых}}$; расход промывочной жидкости на выходе из скважины - $Q'_{\text{вых}}$; дополнительное противодавление на пласт - $(P''_n - P'_n)$; динамическая вязкость промывочной жидкости - μ_1 ; расчетное значение потери давления в кольцевом пространстве - $P'_{\text{к.п.}}$).

6.1.1.6. Если в процессе бурения используется промывочная жидкость, обладающая свойствами неニュтонаской жидкости, устанавливается третий режим, который вводится путем увеличения дополнительного противодавления на исследуемый пласт еще на 1,0+1,5 МПа.

Увеличение дополнительного противодавления на исследуемый пласт устанавливается по показаниям манометра на нагнетательной линии при помощи приемов, приведенных в п.6.1.1.4. При этом поддерживается условие

$$\Delta P_1 - \Delta P_3 = P'_{\text{заб}} - P'''_{\text{заб}} = P'_n - P'''_n, \quad (6.3)$$

где ΔP_1 , ΔP_3 - дифференциальное давление в системе "скважина-пласт", соответственно при первом и третьем режимах, Па; $P'_{\text{заб}}$, $P'''_{\text{заб}}$ - забойное давление, соответственно при первом и третьем режимах, Па; P'_n , P'''_n - давление в нагнетательной линии,

соответственно при первом и третьем режимах, Па.

6.I.I.7. При получении установившегося (устойчивого) значения интенсивности фильтрации промывочной жидкости в пласт (ΔQ_1) в течение 50–60 минут проводятся наблюдения и регистрируются исходные показатели третьего режима (давление в нагнетательной линии – $P_n^{\prime\prime}$; плотность промывочной жидкости – $\delta_{n,x}^1$; расход промывочной жидкости на входе в скважину – Q_{bx} ; расход промывочной жидкости на выходе из скважины – $Q_{vyx}^{\prime\prime}$; дополнительное противодавление на пласт – $(P_n^{\prime\prime} - P_n^1)$; динамическая вязкость промывочной жидкости – μ_1 ; расчетное значение потери давления в колцевом пространстве – $\rho_{k,n}^1$).

6.I.I.8. При всех трех режимах градиент забойного давления не должен превышать градиента гидроразрыва пласта под башмаком последней обсадной колонны, спущенной в скважину.

6.I.I.9. При невозможности добиться хотя бы при одном режимах установившегося (устойчивого) значения интенсивности фильтрации промывочной жидкости в пласт, бурение необходимо остановить и, продолжая промывку ствола скважины, провести регистрацию исходных показателей для двух (трех) режимов без глубления забоя скважины.

6.I.I.10. После проведения регистрации исходных показателей, полученных при втором (третьем) режимах, планки превентора разводятся до нормального открытого состояния.

6.I.I.11. Определяется интенсивность фильтрации промывочной жидкости в пласт при первом, втором и третьем режимах (ΔQ_1 , ΔQ_2 , ΔQ_3), которая рассчитывается по формулам

$$\Delta Q_1 = Q_{bx} - Q_{vyx}^{\prime\prime} - \Delta q_{\varphi} - \Delta q_{Tz}^1, \quad (6.1)$$

$$\Delta Q_2 = Q_{bx} - Q_{vyx}^{\prime\prime} - \Delta q_{\varphi} - \Delta q_{Tz}^{\prime\prime}, \quad (6.2)$$

$$\Delta Q_3 = Q_{bx} - Q_{vyx}^{\prime\prime} - \Delta q_{\varphi} - \Delta q_{Tz}^{\prime\prime}, \quad (6.3)$$

где Q_{bx} – расход промывочной жидкости на входе в скважину при всех трех режимах, m^3/c ; $Q_{vyx}^{\prime\prime}$, $Q_{vyx}^{\prime\prime}$, $Q_{vyx}^{\prime\prime\prime}$ – расход промывочной жидкости на выходе из скважины, соответственно при первом, втором и третьем режимах, m^3/c ; Δq_{φ} – фоновая интенсивность фильтрации промывочной жидкости, m^3/c , которая рассчитывается по формуле (6.1); Δq_{Tz}^1 , $\Delta q_{Tz}^{\prime\prime}$, $\Delta q_{Tz}^{\prime\prime\prime}$ – темпы замещения промывочной жидкостью выбуренной породы, в m^3/c соответственно при первом, втором и третьем режимах, который определяется по формуле

$$\Delta q_{Tz}^i = \frac{0.785 D_c^2 \Delta h_i}{t_i}, \quad (6.7)$$

здесь D_c – диаметр скважины, м; Δh_i – мощность интервала, пробуренного при первом, втором и третьем режимах, м; t_i – время, в течение которого проводилось бурение интервала при первом, втором и третьем режимах, с.

6.I.I.12. Определяется дифференциальное давление в системе "скважина-пласт", который рассчитывается по формуле

$$\Delta p_1 = \frac{(P_n^{\prime\prime} - P_n^1) \Delta Q_1}{\Delta Q_2 - \Delta Q_1}, \quad (6.8)$$

где $P_n^{\prime\prime} - P_n^1$ – дополнительное противодавление на пласт при создании второго режима, Па; P_n^1 , $P_n^{\prime\prime}$ – давление в нагнетательной линии, соответственно при первом и втором режимах, Па; ΔQ_1 , ΔQ_2 – интенсивность фильтрации промывочной жидкости, соответственно при первом и втором режимах, m^3/c .

6.I.I.13. Если в процессе бурения используется промывочная жидкость, обладающая свойствами неньютоновской жидкости, то перепад давлений в системе "скважина-пласт" при первом режиме (Δp_1) определяется по формуле

$$\Delta p_i = \frac{(p_n^i - p_n^{\text{вн}}) [\Delta Q_1 \lg(1 + \Delta Q_2) + \Delta Q_2 \lg(1 + \Delta Q_1)] + (p_n^i - p_n^{\text{вн}}) [\Delta Q_3 \lg(1 + \Delta Q_1) + \dots + \Delta Q_1 \lg(1 + \Delta Q_3)]}{(\Delta Q_3 + \Delta Q_2) \lg(1 + \Delta Q_1) + (\Delta Q_3 + \Delta Q_1) \lg(1 + \Delta Q_2) + \dots + (\Delta Q_2 + \Delta Q_1) \lg(1 + \Delta Q_3)} . \quad (6.1)$$

6.1.1.14. Определяется забойное давление при первом режиме ($p_{\text{заб}}^i$) на глубине забоя скважины (H_1), которое рассчитывается по формуле

$$p_{\text{заб}}^i = g \delta_{\text{п.ж}}^i H_1 - p_{\text{кл}}^i , \quad (6.10)$$

где $p_{\text{заб}}^i$ - забойное давление при первом режиме, Па; H_1 - глубина забоя скважины при первом режиме, м; $\delta_{\text{п.ж}}^i$ - плотность промывочной жидкости, кг/м³; $p_{\text{кл}}^i$ - потери давления в кольцевом пространстве, Па.

6.1.1.15. Пластовое давление ($p_{\text{пл}}$) на глубине забоя скважины (H_1) при бурении на промывочной жидкости, отвечающей как свойствами ньютоновской, так и неニュтоновской жидкости, определяется по формуле

$$p_{\text{пл}} = p_{\text{заб}}^i - \Delta p_i , \quad (6.11)$$

где $p_{\text{пл}}$ - пластовое давление, Па; $p_{\text{заб}}^i$ - забойное давление при первом режиме, Па; Δp_i - дифференциальное давление при первом режиме, Па.

6.1.1.16. Определяется градиент пластового давления по формуле (2.3)

$$\Gamma = \frac{p_{\text{пл}}}{H_1} ,$$

где Γ - градиент пластового давления, Па/м; H_1 - глубина забоя скважины при первом режиме, м.

6.1.1.17. Устанавливается оптимальная плотность промывочной жидкости для данных условий бурения ($\delta_{\text{п.ж}}^*$).

6.1.1.18. При возобновлении процесса бурения на промывочной жидкости с новым значением плотности ($\delta_{\text{п.ж}}^*$) продолжаются наблюдения за значением фоновой интенсивности фильтрации промывочной жидкости (ΔQ_{Φ}).

6.1.1.19. Если будет установлено отклонение интенсивности фоновой фильтрации промывочной жидкости от ее постоянного значения в сторону увеличения, то данную ситуацию принимают за четвертый режим.

6.1.1.20. При получении установившегося (устойчивого) значения интенсивности фильтрации промывочной жидкости в пласт (ΔQ_4) в течение 50-60 минут проводятся наблюдения и регистрация исходных показателей четвертого режима (давление в напорительной линии - $p_n^{\text{вн}}$; плотность промывочной жидкости - $\delta_{\text{п.ж}}^*$; расход промывочной жидкости на входе в скважину - $Q_{\text{вх}}$; расход промывочной жидкости на выходе из скважины - $Q_{\text{вых}}$; динамическая вязкость промывочной жидкости - μ_2 ; расчетное значение потери давления в кольцевом пространстве - $\Delta p_{\text{кл}}^{\text{вн}}$).

6.1.1.21. Определяется интенсивность фильтрации промывочной жидкости в пласт при четвертом режиме (ΔQ_4), которая рассчитывается по формуле

$$\Delta Q_4 = Q_{\text{вх}} - Q_{\text{вых}} - \Delta Q_{\Phi} - \Delta Q_{\text{вн}}^{\text{вн}} , \quad (6.12)$$

где $Q_{\text{вх}}$ - расход промывочной жидкости на входе в скважину, м³/с; $Q_{\text{вых}}$ - расход промывочной жидкости на выходе из скважины, при четвертом режиме, м³/с; ΔQ_{Φ} - фоновая интенсивность фильтрации промывочной жидкости, в м³/с, которая рассчитывается по формуле (6.1); $\Delta Q_{\text{вн}}^{\text{вн}}$ - темп замещения промывочной жидкости выбуренной породы в м³/с, которая рассчитывается по формуле (6.7).

6.1.1.22. Проводится контрольный расчет пластового давления по формуле

$$p_{\text{пл}} = \frac{\Delta Q_1 \mu_1 (g \delta_{\text{п.ж}}^* H_1 + p_n^{\text{вн}}) - \Delta Q_4 \mu_2 (g \delta_{\text{п.ж}}^* H_1 + p_{\text{кл}}^i)}{\Delta Q_1 \mu_1 - \Delta Q_4 \mu_2} \quad (6.13)$$

или

$$p_{\text{пл}} = \frac{\Delta Q_2 \mu_1 (g \delta_{\text{п.ж}}^* H_1 + p_{\text{кл}}^i) - \Delta Q_4 \mu_2 (g \delta_{\text{п.ж}}^* H_1 + p_{\text{кл}}^i + p_n^{\text{вн}} - p_n^{\text{вн}})}{\Delta Q_2 \mu_1 - \Delta Q_4 \mu_2} \quad (6.14)$$

или

$$P_{\text{пл}} = \frac{\Delta Q_3 \mu_1 (\rho \delta'_{\text{п.ж}} H_1 + p''_{\text{к.п}}) - \Delta Q_4 \mu_2 (\rho \delta'_{\text{п.ж}} H_1 + p'_{\text{к.п}} + p''_{\text{н}} - p'_{\text{н}})}{\Delta Q_3 \mu_1 - \Delta Q_4 \mu_2}, \quad (6.13)$$

где H_1 - глубина забоя скважины при первом режиме, м; $\delta'_{\text{п.ж}}$ - соответственно, плотность ($\text{кг}/\text{м}^3$) и динамическая вязкость ($\text{Па}\cdot\text{с}$) промывочной жидкости, при которых были созданы первый, второй, третий режимы; $\delta''_{\text{п.ж}}$, μ_2 - соответственно, плотность ($\text{кг}/\text{м}^3$) и динамическая вязкость ($\text{Па}\cdot\text{с}$) промывочной жидкости, при которых был создан четвертый режим; $p'_{\text{к.п}}$

$p''_{\text{к.п}}$ - расчетное значение потери давления в кольцевом пространстве соответственно, при первом (втором, третьем) и четвертом режимах, МПа; $(p''_{\text{н}} - p'_{\text{н}})$, $(p'''_{\text{н}} - p'_{\text{н}})$ - дополнительное противодавление на пласт, созданное соответственно при втором и третьем режимах, Па.

6.1.1.23. Если после возобновления бурения на промывочную жидкость с новым значением плотности ($\delta''_{\text{п.ж}}$) не будет отмечено отклонение фоновой интенсивности фильтрации промывочной жидкости от ее постоянного значения, то в системе "скважина-пласт" существует равновесие и формулы (6.13, 6.14, 6.15) будут иметь вид

$$P_{\text{пл}} = \rho \delta''_{\text{п.ж}} H_1 + p''_{\text{к.п}}. \quad (6.14)$$

6.1.1.24. Пластовое давление при бурении на промывочной жидкости, обладающей свойствами неньютоновской жидкости, рассчитывается по формуле

$$P_{\text{пл}} = \rho \delta''_{\text{п.ж}} H_1 + p''_{\text{к.п}} - \Delta P_o, \quad (6.15)$$

где ΔP_o - начальный перепад давлений неньютоновской жидкости, Па.

6.1.1.25. Пример расчета пластового давления.

Глубина скважины, м (H_1)

- 2100

Диаметр скважины, м (D_c)

- 0,2953

Наружный диаметр бурильных труб, м ($d_{\text{б.т}}$)

- 0,140

Плотность промывочной жидкости, $\text{кг}/\text{м}^3$ ($\delta'_{\text{п.ж}}$)

- 1200

Структурная вязкость промывочной жидкости, $\text{Па}\cdot\text{с}$ (η)

- 1x10⁻³

Динамическое напряжение сдвига, Па (τ)

- 8,16

Расход промывочной жидкости на входе в скважину, $\text{м}^3/\text{с}$ ($Q_{\text{вх}}$)

- 0,032

расход промывочной жидкости на выходе из скважины, $\text{м}^3/\text{с}$ ($Q'_{\text{вых}}, Q''_{\text{вых}}$)

0,030; 0,0275

Интенсивность фоновой фильтрации промывочной жидкости, $\text{м}^3/\text{с}$ ($\Delta Q_{\text{ф}}$)

0,00005

давление в нагнетательной линии при

- первом режиме, Па ($p'_{\text{н}}$)

$9,80 \times 10^6$

- втором режиме, Па ($p''_{\text{н}}$)

$11,27 \times 10^6$

мощность пробуренного интервала при

- первом режиме, м (Δh_1)

2,0

- втором режиме, м (Δh_2)

1,8

время бурения интервала при

- первом режиме, с (t_1)

1800

- втором режиме, с (t_2)

1500

шаг замещения промывочной жидкости

взбуренной породы при

- первом режиме, $\text{м}^3/\text{с}$ ($\Delta Q_{\text{р.3}}$) $\frac{0,785 \times 0,2953^2 \times 2,0}{1800} =$

= 0,000076

- втором режиме, $\text{м}^3/\text{с}$ ($\Delta Q_{\text{р.5}}$) $\frac{0,785 \times 0,2953^2 \times 1,8}{1500} =$

= 0,000082

интенсивность фильтрации промывочной

жидкости в пласт при

- первом режиме, $\text{м}^3/\text{с}$ (ΔQ_1) $0,032 - 0,030 - 0,00005 -$

- 0,000076 = 0,001874

- втором режиме, $\text{м}^3/\text{с}$ (ΔQ_2) $0,032 - 0,0275 - 0,00005 -$

- 0,000082 = 0,004368

дифференциальное давление в

системе "скважина-пласт" при

первом режиме, Па (ΔP_1)

$(11,27 - 9,80) \times 10^6 \times 0,001874 =$

0,004368 - 0,001874

= 1,105 $\times 10^6$

скорость течения промывочной

жидкости в кольцевом простран-

стве, $\text{м}/\text{с}$

$$V_{\text{к.п}} = \frac{4 Q'_{\text{вых}}}{\pi (D_c^2 - d_{\text{б.т}}^2)}$$

$$V_{\text{к.п}} = \frac{4 \times 0,030}{3,14 \times (0,2953^2 - 0,140^2)} = 0,568$$

общенный критерий Рейнольдса

$$Re = \frac{10 \delta'_{\text{п.ж}} V_{\text{к.п}} (D_c - d_{\text{б.т}})}{g (h + \tau \frac{D_c - d_{\text{б.т}}}{6 V_{\text{к.п}}})}$$

$$Re = \frac{10 \times 1200 \times 0,568(0,2953 - 0,140)}{9,81(1 \times 10^{-2} + 8,16 \frac{0,2953 - 0,140}{6 \times 0,568})} = 282,$$

т.е. режим течения ламинарный
Коэффициент гидравлического сопротивления в кольцевом пространстве при ламинарном режиме течения промывочной жидкости

$$\lambda = \frac{80}{Re}$$

$$\lambda = \frac{80}{282} = 0,284$$

Потери давления в кольцевом пространстве, Па

$$P_{\text{кл}} = 0,826 \lambda \delta' \frac{(Q'_{\text{п.ж}})^2 H_1 \times 10^3}{(D_c - d_{\text{б.ж}})^2 (D_c + d_{\text{б.ж}})}$$

$$P_{\text{кл}} = 0,826 \times 0,284 \times 1200 \frac{0,030^2 \times 2100 \times 10^3}{(0,2953 - 0,14)^3 \times (0,2953 + 0,14)^2} = 0,750 \times 10^6$$

Забойное давление при первом режиме, Па ($P_{\text{заб}}$)

$$= 9,81 \times 1200 \times 2100 + 0,750 \times 10^6 = 24,72 \times 10^6 + 0,750 \times 10^6 = 25,471 \times 10^6$$

Пластовое давление, Па $P_{\text{пл}} = (25,471 - 1,105) \times 10^6 = 24,366 \times 10^6$

6.1.2. Порядок определения АНД по методу установившегося уровня

6.1.2.1. В процессе бурения скважины при достижении исследуемого пласта углубление забоя и промывка ствола скважины (без подъема инструмента) временно приостанавливаются, и скважина выдерживается в покое до установившегося уровня промывочной жидкости.

6.1.2.2. Пластовое давление определяется по установленному уровню промывочной жидкости, т.е. рассчитывается по формуле

$$P_{\text{пл}} = g \delta_{\text{п.ж}} (H_{\text{заб}} - H_{\text{уп}}), \quad (6.18)$$

где $\delta_{\text{п.ж}}$ - плотность промывочной жидкости, $\text{кг}/\text{м}^3$; $H_{\text{заб}}$ - глубина забоя скважины, м; $H_{\text{уп}}$ - глубина установленного уровня промывочной жидкости, м.

6.1.2.3. Если в качестве промывочной жидкости используется вязко-пластичная (нейтононовская) жидкость, то пластовое давление определяется по формуле

$$P_{\text{пл}} = g \delta_{\text{п.ж}} (H_{\text{заб}} - H_{\text{уп}}) - \Delta P_o, \quad (6.19)$$

где ΔP_o - начальное дифференциальное давление нейтононовской жидкости в Па, который рассчитывается по формуле

$$\Delta P_o = \frac{\alpha \tau_o}{V k}, \quad (6.20)$$

здесь α - постоянный коэффициент, который изменяется в пределах $(162 \pm 180) \times 10^{-4}$; τ_o - напряжение сдвига промывочной жидкости; k - проницаемость пласта.

6.1.2.3. Если забойное давление меньше пластового ($P_{\text{заб}} < P_{\text{пл}}$), и промывочная жидкость обладает свойствами нейтононовской жидкости, то пластовое давление определяется по формуле

$$P_{\text{пл}} = g \delta_{\text{п.ж}} H_{\text{заб}} + P_t + \Delta P_o, \quad (6.21)$$

где P_t - давление на устье скважины при закрытом превенторе, Па.

6.1.3. Порядок определения АНД по данным газометрии скважин

6.1.3.1. Если в процессе бурения скважины отмечается содержание в промывочной жидкости газа, то прежде всего необходимо установить источник газопоявления. Для этого приостанавливают процесс бурения и приподнимают бурильный инструмент с долотом на 1-2 м выше забоя. Промывку скважины осуществляют без изменения режима работы буровых насосов.

6.1.3.2. В том случае, если по истечении времени, необходимого для выхода на устье забойной пачки промывочной жидкости, газопоявление прекратилось, то его источником является дегазация выбуренной породы в процессе транспортирования ее на поверхность восходящим потоком промывочной жидкости.

В данном случае пластовое давление определяют графоаналитическим методом с использованием следующей формулы

$$P_{\text{пл}} = \frac{K_r P_{\text{ат}} T_{\text{пл}} Z_{\text{пл}} \varphi}{T_y R S m \psi}, \quad (6.22)$$

где K_r - газосодержание промывочной жидкости, равное отношению объема содержащегося в жидкости газа к объему жидкости фазы, $\text{м}^3/\text{м}^3$; $P_{\text{ат}}$ - атмосферное давление, равное $0,1013 \times 10^6$ Па; $T_{\text{пл}}$ - пластовая термодинамическая температура, К; $Z_{\text{пл}}$ - коэффициент сжимаемости газа в пластовых условиях, безразмерный; φ - подача бурового насоса, $\text{м}^3/\text{с}$; T_y - устьевая термодинамическая температура, К; R - механическая скорость проходки, м/с; S - площадь забоя, м^2 ; m - пористость выбуренной породы в шламе, доли единицы; ψ - газонасыщенность горной породы, доли единицы.

Здесь газосодержание промывочной жидкости (K_r) определяют по формуле

$$K_r = \frac{\varphi}{1 - \varphi}, \quad (6.23)$$

где Ψ - концентрация газа в промывочной жидкости, численно равная отношению объема газа, заключенного в жидкости, к объему газожидкостной смеси при атмосферном давлении и температуре устья скважины (T_y), $\text{м}^3/\text{м}^3$.

6.1.3.3. Если в скважину закачивают промывочную жидкость с некоторым остаточным газосодержанием ($K_{\Gamma,0}$), и если имеет место фильтрация газа в скважину из пласта, расчетное газосодержание определяют по формуле

$$K_\Gamma = K_{\Gamma,B} - K_{\Gamma,F} - K_{\Gamma,0}, \quad (6.24)$$

где $K_{\Gamma,B}$ - газосодержание выходящей из скважины промывочной жидкости, $\text{м}^3/\text{м}^3$; $K_{\Gamma,F}$ - газосодержание промывочной жидкости за счет фильтрации газа из пласта, $\text{м}^3/\text{м}^3$; $K_{\Gamma,0}$ - остаточное газосодержание закачиваемой в скважину промывочной жидкости, $\text{м}^3/\text{м}^3$.

6.1.3.4. Для подсчета пластового давления формула (6.22) приводится к следующему виду

$$\frac{\rho_{pl}}{z_{pl}} = \frac{K_\Gamma p_{at} T_{pl} \Psi}{T_y R S m}, \quad (6.25)$$

где $\frac{\rho_{pl}}{z_{pl}}$ - параметр пластового давления, Па.

6.1.3.5. В осях координат $X=p$, $Y=\frac{\rho_{pl}}{z_{pl}}$ строят линию, параллельную оси абсцисс, проходящую через ось ординат, в точке, соответствующей рассчитанному числовому значению параметра пластового давления $\frac{\rho_{pl}}{z_{pl}}$ (уравнение этой линии $Y = \frac{\rho_{pl}}{z_{pl}}$). График определения пластового давления приведен на рис.6.1.

Далее проводят вычисление параметра пластового давления для произвольного ряда давлений, заведомо меньших и больших пластового давления при температуре T_{pl} и по полученным значениям строят кривую зависимости $\frac{\rho}{z} = f(p)$. Из точки пересечения этой кривой с прямой линией $Y = \frac{\rho_{pl}}{z_{pl}}$ опускают перпендикуляр на ось абсцисс и получают числовое значение пластового давления.

6.1.3.6. Пример определения пластового давления графо-аналитическим методом

Глубина забоя скважины $H_3 = 7020$ м;

Концентрация газа в промывочной жидкости $\Psi = 0,1$;

Подача бурового насоса при промывке $Q_y = 0,025 \text{ м}^3/\text{с}$;

Механическая скорость бурения $R = 0,0007603 \text{ м/с}$;

Площадь забоя скважины $S = 0,035968 \text{ м}^2$;

Пластовая температура $T_{pl} = 520 \text{ К}$;

Температура промывочной жидкости на выходе из скважины $T_y = 370 \text{ К}$;

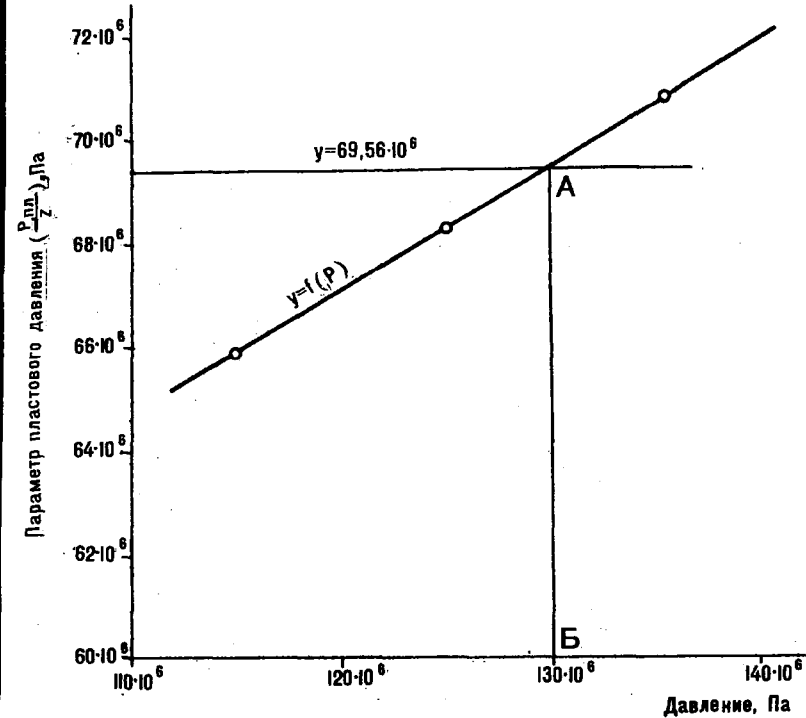


Рис.6.1. Определение пластового давления графо-аналитическим методом.

Атмосферное давление $P_{\text{ат}} = 0,1013 \times 10^6$ Па;

Пористость песчаника в шламе $m = 0,21$;

Газонасыщенность песчаника $\Psi = 0,98$;

По формуле (6.23) определяют газосодержание бурового раствора

$$K_r = \frac{0,1}{1 - 0,1} = 0,11;$$

По формуле (6.25) определяют параметр пластового давления

$$\frac{P_{\text{пл}}}{Z_{\text{пл}}} = \frac{0,11 \times 0,1013 \times 10^6 \times 520 \times 0,025}{370 \times 0,0007603 \times 0,035968 \times 0,21 \times 0,98} = 69,56 \times 10^6$$

Строим линию $\Psi = 69,56 \times 10^6$ Па (рис.6.1).

Определяют параметры давления для трех его значений, замо меньших и больших пластового давления, при пластовой температуре $T_{\text{пл}} = 520$ К.

Полагаем, что $115 \times 10^6 < P_{\text{пл}} < 135 \times 10^6$, поэтому расчет параметров производят для произвольных давлений, например, 115×10^6 ; 125×10^6 ; 135×10^6 Па.

Для указанных давлений коэффициенты сжимаемости газа приведены равными 1,745; 1,830 и 1,905, а параметры пластового давления соответственно равны $65,90 \times 10^6$, $68,31 \times 10^6$ и $70,87 \times 10^6$ Па.

Строят линию $\Psi = f(p)$, которая пересекается с линией $\Psi = 69,56 \times 10^6$ в точке "A" (рис.6.1).

Из точки "A" опускают перпендикуляр до пересечения с осью абсцисс. Значение абсциссы в точке пересечения "B" равно величине пластового давления. В данном случае $P_{\text{пл}} = 130 \times 10^6$ Па.

6.1.3.7. Если по истечении времени, необходимого для выхода из забойной пачки промывочной жидкости, газопроявление прекращается (промывочная жидкость насыщена газом), то имеет место фильтрация (приток) газа из пласта в скважину.

6.1.3.8. В этом случае для выявления границ по вертикали (кровля, подошва) газопроявляющих горизонтов, и определения пластового давления проводят исследование скважины методом гидрометрии.

6.1.3.9. Для этого до забоя исследуемой скважины на бурильных трубах спускают глубинный манометр, имеющий сообщение с трубным пространством, и проводят промывку скважины на нескольких стационарных режимах работы буровых насосов (q^1, q^2, q^3, q^4). При этом не должно произойти глушение газопроявления и допустим переход газопроявления в выброс.

6.1.3.10. При устойчивой дегазации промывочной жидкости в течение каждого режима промывки, продолжительность которого устанавливается не менее одного полного цикла, необходимо обеспечить стабилизацию газосодержания промывочной жидкости ($K_1^1, K_1^2, K_1^3, \dots, K_1^n$).

6.1.3.11. Газосодержание промывочной жидкости определяют по формуле

$$K = K_b - K_s, \quad (6.26)$$

где K_b – газосодержание промывочной жидкости, выходящей из скважины, $\text{м}^3/\text{м}^3$; K_s – остаточное газосодержание промывочной жидкости, закачиваемой в скважину, $\text{м}^3/\text{м}^3$.

6.1.3.12. Дебиты газа за счет фильтрации его из открытого ствола скважины при глубине манометра L_i определяют по формулам

$$Q_i^1 = q^1 K_i^1, \quad (6.27)$$

$$Q_i^2 = q^2 K_i^2, \quad (6.28)$$

$$Q_i^3 = q^3 K_i^3, \dots, \quad (6.29)$$

$$Q_i^n = q^n K_i^n, \quad (6.30)$$

i – порядковый номер глубины манометра снизу вверх.

6.1.3.13. После регистрации давлений ($p_1^1, p_1^2, p_1^3, \dots, p_1^n$) и газосодержания промывочной жидкости ($K_1^1, K_1^2, K_1^3, \dots, K_1^n$), соответствующих глубине манометра L_1 , бурильные трубы поднимают на 20–30 м и при глубине манометра L_2 на тех же стационарных режимах работы буровых насосов ($q_2^1, q_2^2, q_2^3, \dots, q_2^n$), проводят замер и регистрацию давлений ($p_2^1, p_2^2, p_2^3, \dots, p_2^n$) и газосодержания промывочной жидкости ($K_2^1, K_2^2, K_2^3, \dots, K_2^n$).

6.1.3.14. По мере подъема бурильных труб и промывки на более высоких уровнях от забоя газосодержание промывочной жидкости непрерывно уменьшается за счет отключения нижних газопроявляющих интервалов.

6.1.3.15. Если на некоторой глубине L_i при всех режимах промывки газопроявления отсутствуют, дальнейшее исследование прекращают.

6.1.3.16. Результаты замера давления и определения газосодержания промывочной жидкости, проведенные на некоторых глубинах манометра, представлены в табл. 6.1.

Таблица 6.1

Результаты замера давления и определения газосодержания промывочной жидкости

Глубина манометра, м	Давление на глубине при различных режимах промывки, Па			Газосодержание промывочной жидкости, $\text{м}^3/\text{м}^3$		
	$q' = 0,025 \text{ м}^3/\text{с}$	$q'' = 0,040 \text{ м}^3/\text{с}$	$q''' = 0,050 \text{ м}^3/\text{с}$	$q' = 0,025 \text{ м}^3/\text{с}$	$q'' = 0,040 \text{ м}^3/\text{с}$	$q''' = 0,050 \text{ м}^3/\text{с}$
6000	91,92x10 ⁶	94,26x10 ⁶	96,31x10 ⁶	0,7900	0,3450	0,1700
5940	91,00x10 ⁶	93,31x10 ⁶	95,32x10 ⁶	0,4900	0,2150	0,1054
5880	90,06x10 ⁶	92,32x10 ⁶	94,32x10 ⁶	0,4900	0,2150	0,1054
5820	89,13x10 ⁶	91,34x10 ⁶	93,33x10 ⁶	0,2180	0,09625	0,0486
5760	88,20x10 ⁶	90,37x10 ⁶	92,28x10 ⁶	0,2180	0,09625	0,0486
5700	87,27x10 ⁶	89,39x10 ⁶	91,27x10 ⁶	0,2180	0,09625	0,0486
5640	86,33x10 ⁶	88,42x10 ⁶	90,27x10 ⁶	0,0000	0,0000	0,0000

6.1.3.17. Интервалы между предыдущими и последующими глубинами измерений являются интервалами исследования: $L_1 - L_2$, $L_2 - L_3$, $L_3 - L_4$, ..., $L_{i-1} - L_i$.

6.1.3.18. Расчет давления на середине первого интервала исследования между глубинами L_1 и L_2 проводят по формулам

$$P_{1-2} = \frac{1}{2}(p'_1 + p'_2), \quad (6.31)$$

$$P_{1-2}'' = \frac{1}{2}(p''_1 + p''_2), \quad (6.32)$$

$$P_{1-2}''' = \frac{1}{2}(p'''_1 + p'''_2), \dots, \quad (6.33)$$

$$P_{1-2}^n = \frac{1}{2}(p^n_1 + p^n_2). \quad (6.34)$$

6.1.3.19. Расчет давления на середине интервала исследования от глубины L_{i-1} до глубины L_i проводят по формулам

$$P_{(i-1)-i}' = \frac{1}{2}(p'_1 + p'_i), \quad (6.35)$$

$$P_{(i-1)-i}'' = \frac{1}{2}(p''_1 + p''_i), \quad (6.36)$$

$$P_{(i-1)-i}''' = \frac{1}{2}(p'''_1 + p'''_i), \dots, \quad (6.37)$$

$$P_{(i-1)-i}^n = \frac{1}{2}(p^n_1 + p^n_i). \quad (6.38)$$

6.1.3.20. Расчет дебитов газа для первого интервала исследования между глубинами L_1 и L_2 проводят по формулам

$$Q_{1-2}' = q'_1(K'_1 - K'_2), \quad (6.39)$$

$$Q_{1-2}'' = q''_1(K''_1 - K''_2), \quad (6.40)$$

$$Q_{1-2}''' = q'''_1(K'''_1 - K'''_2), \dots, \quad (6.41)$$

$$Q_{1-2}^n = q^n_1(K^n_1 - K^n_2). \quad (6.42)$$

Результаты определения давления и газосодержания промывочной жидкости для исследуемых интервалов приведены в табл. 6.2.

6.1.3.21. Расчет дебитов газа для интервала исследования от глубины L_{i-1} до глубины L_i проводят по формулам

$$Q_{(i-1)-i}' = q'_1(K'_1 - K'_i), \quad (6.43)$$

Привязка данных измерения давления и газосодержания промывочной жидкости к исследуемым интервалам

Таблица 6.2

Глубина манометра, м	Интервал исследования, м	Давление на середине исследуемых интервалов при различных режимах промывки, Па	$q^1 = 0,025 \text{ м}^3/\text{с}$	$q^2 = 0,040 \text{ м}^3/\text{с}$	$q^3 = 0,050 \text{ м}^3/\text{с}$	Газосодержание промывочной жидкости в исследуемых интервалах, $\text{м}^3/\text{м}^3$
6000	-	-	-	-	-	-
5940	6000-5940	$91,46 \times 10^6$	$93,79 \times 10^6$	$95,82 \times 10^6$	$0,3000$	$0,0646$
5880	5940-5880	$90,53 \times 10^6$	$92,81 \times 10^6$	$94,82 \times 10^6$	$0,0000$	$0,0000$
5820	5880-5820	$89,59 \times 10^6$	$91,83 \times 10^6$	$93,83 \times 10^6$	$0,2720$	$0,1185$
5760	5820-5760	$88,67 \times 10^6$	$90,86 \times 10^6$	$92,79 \times 10^6$	$0,0000$	$0,0000$
5700	5760-5700	$87,73 \times 10^6$	$89,89 \times 10^6$	$91,76 \times 10^6$	$0,0000$	$0,0000$
5640	5700-5640	$86,80 \times 10^6$	$88,91 \times 10^6$	$90,77 \times 10^6$	$0,2180$	$0,09625$

$$Q_{(i-1)-i}'' = q^2(K_{i-1}'' - K_i''), \quad (6.44)$$

$$Q_{(i-1)-i}''' = q^3(K_{i-1}''' - K_i'''), \dots, \quad (6.45)$$

$$Q_{(i-1)-i}^n = q^n(K_{i-1}^n - K_i^n). \quad (6.46)$$

6.1.3.22. Если в некотором интервале исследования от глубины L_{i-1} до глубины L_i имеет место $K_{i-1}' = K_i' = 0$, $K_{i-1}'' = K_i'' = 0$, $K_{i-1}''' = K_i''' = 0$, ..., $K_{i-1}^n = K_i^n = 0$, то в указанном интервале разопроявления отсутствуют (либо в разрезе нет назонасыщенных пластов либо $P_{\text{заб}} > P_{\text{пл}}$). Интервалы, где газосодержание промывочной жидкости между соседними глубинами манометра отличается друг от друга хотя бы на одном режиме промывки, относятся к газопроявляющим.

6.1.3.23. Производят расчет давлений во второй степени на середине исследуемых интервалов, а также дебитов газа из этих же интервалов, которые приведены в табл. 6.3.

6.1.3.24. Для определения пластового давления по данным табл. 6.3 для каждого интервала исследования строят графики зависимости дебита газа Q от величины давления во второй степени P^2 (рис.6.2) и экстраполируют их до пересечения с осью ординат (давления во второй степени). Ординаты точек пересечения численно равны величине пластового давления во второй степени соответствующего интервала.

6.1.3.25. Пластовое давление определяют по формуле

$$P_{\text{пз}} = \sqrt{P^2}, \quad (6.47)$$

где P^2 - ордината точки пересечения линии $Q = f(P^2)$ соответствующего интервалам с осью ординат, Па.

6.1.3.26. Пример определения пластовых давлений
Исходные данные:

Глубина скважины $L_1 = 6000 \text{ м}$;

Плотность промывочной жидкости $\delta_{\text{пж}} = 1530 \text{ кг}/\text{м}^3$;

Открытый ствол в интервале 4600 - 6000 м;

В интервале 5500 - 6000 м отмечены газопроявления.

Пластовые давления неизвестны.

Манометр на бурильных трубах спускают до глубины 6000 м и производят промывку скважины на трех режимах работы буровых насосов: $q^1 = 0,025 \text{ м}^3/\text{с}$; $q^2 = 0,040 \text{ м}^3/\text{с}$; $q^3 = 0,050 \text{ м}^3/\text{с}$. Замеряют газосодержание промывочной жидкости на устье скважины K_1' ,

Таблица 6.3

Результаты расчета дебитов газа, полученных из исследуемых интервалов, и давлений на середине этих интервалов

Интервал исследования, м	Давление на середине исследуемого интервала во второй степени, Па	Дебит газа, полученный из исследуемого			
		$q^1 = 0,025 \text{ м}^3/\text{с}$	$q^2 = 0,040 \text{ м}^3/\text{с}$	$q^3 = 0,050 \text{ м}^3/\text{с}$	$q^4 = 0,075 \text{ м}^3/\text{с}$
6000-5940	8364, 93x10 ¹²	8796, 56x10 ¹²	9181, 47x10 ¹²	0,0075	0,00520
5940-5880	8195, 68x10 ¹²	8613, 69x10 ¹²	8990, 83x10 ¹²	0,00000	0,00323
5880-5820	8026, 37x10 ¹²	8432, 75x10 ¹²	8804, 07x10 ¹²	0,00680	0,00000
5820-5760	7862, 36x10 ¹²	8255, 54x10 ¹²	8609, 98x10 ¹²	0,00475	0,00284
5760-5700	7696, 55x10 ¹²	8080, 21x10 ¹²	8423, 57x10 ¹²	0,00000	0,00000
5700-5640	7534, 24x10 ¹²	7905, 99x10 ¹²	8239, 19x10 ¹²	0,00545	0,00385
					0,00243

K_1^1, K_1^2 и давление на глубине 6000 м p_1^1, p_1^2, p_1^3 .

Данные измерений приведены в табл.6.1. Затем такие же измерения производят на глубине 5940, 5880, 5760, 5700, 5640 м.

В процессе промывки на глубине 5640 м буровой раствор оказывается лишенным газовой фазы, следовательно, выше глубины 5640 м газопроницаемые пласти отсутствуют, и поэтому дальнейшее исследование прекращено.

В табл.6.2 показана привязка данных измерений к исследуемому интервалу.

Из табл.6.2 видно, что газопроницаемыми интервалами являются 6000-5940, 5880-5820, 5700-5640 м.

6.1.3.27. Определяют дебиты газа и результаты заносят в табл.6.3. По данным табл.6.3 строят графики зависимости дебитов газа от давлений во второй степени $Q = f(P^2)$. Отрезки, отсекаемые на оси ординат, соответствуют величине пластового давления во второй степени. На оси ординат получены следующие значения: 1000×10^{12} , 9360×10^{12} , 8800×10^{12} Па (рис.6.2).

6.1.3.28. По формуле (6.47) определяют пластовые давления и их градиенты на середине интервалов исследования. Результаты определения приведены в табл.6.4.

Таблица 6.4

Результаты определения пластового давления и их градиентов на середине интервалов исследования

Глубина, м	Пластовое давление, Па	Градиент пластового давления, Па/м
5970	$99,0 \cdot 10^6$	$16,58 \cdot 10^3$
5850	$96,7 \cdot 10^6$	$16,53 \cdot 10^3$
5670	$93,8 \cdot 10^6$	$16,54 \cdot 10^3$

6.1.3.29. Странят график изменения градиента пластового давления с глубиной (рис.6.3) и экстраполируют его до глубины 6200 м. Получают величину прогнозного градиента пластового давления, равного $16,71 \cdot 10^3$ Па/м.

6.1.3.30. Определяют прогнозную величину пластового давления на глубине 6200 м по формуле (5.13).

$$p_{\text{пл}} = 16,71 \times 10^3 \times 6200 = 103,6 \times 10^6 \text{ Па.}$$

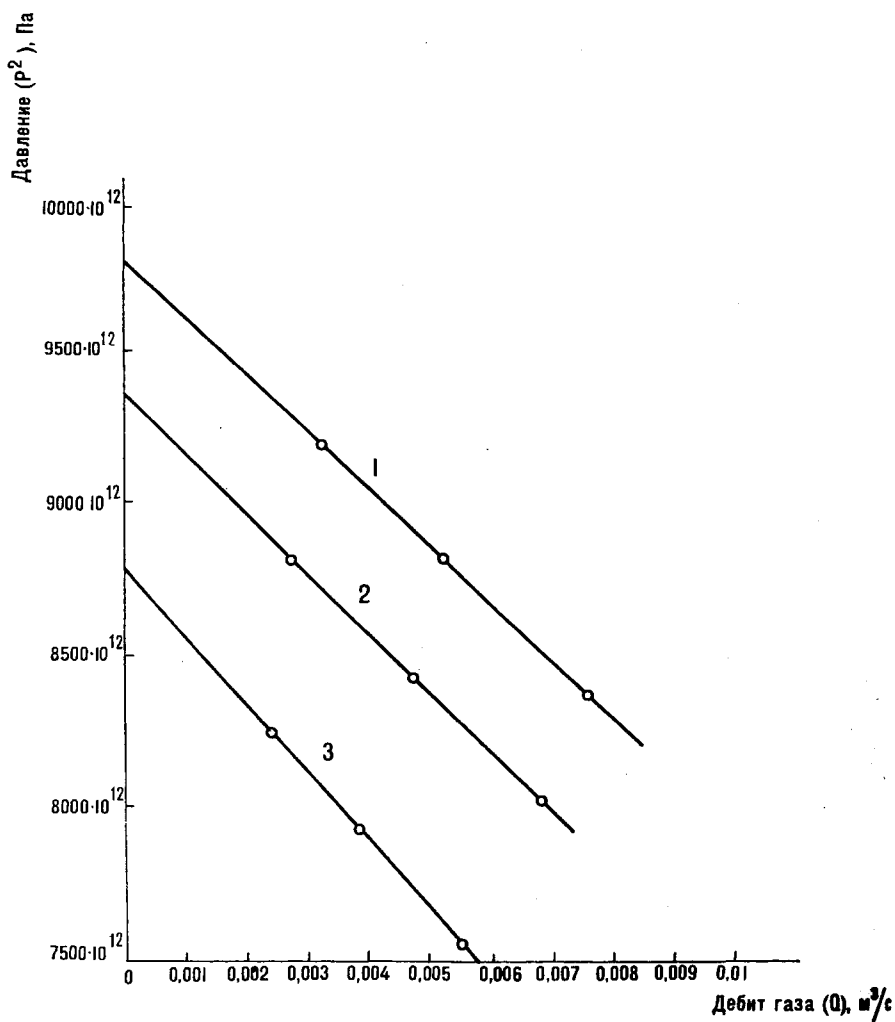


Рис.6.2. Определение пластовых давлений газопроявляющих горизонтов.

I-интервал 6000–5940м, 2-интервал 5880–5820м, 3-интервал 5700–5640м.

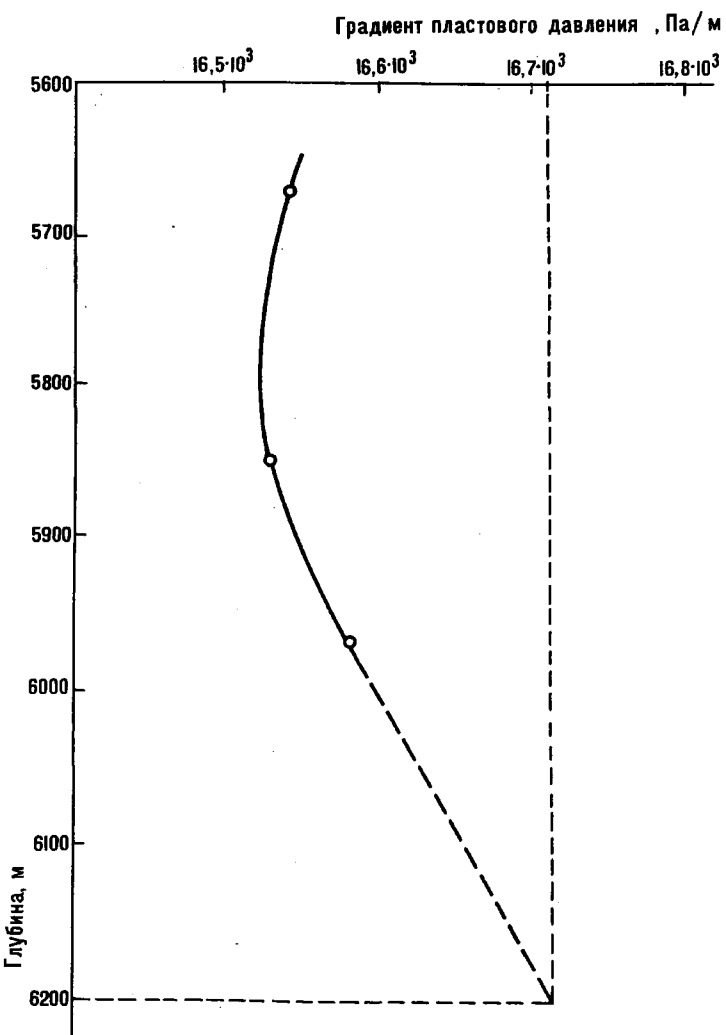


Рис.6.3. Определение градиента пластового давления на опережающей глубине.

6.2. Оценка пластовых давлений по технологическим данным бурения

6.2.1. Порядок определения АНД по "нормализованной скорости проходки"

6.2.1.1. Определение АНД по методу d -экспоненты

1. В процессе проводки скважины регистрируют технологические параметры бурения (диаметр долота, м; частоту вращения долота, об/с; осевую нагрузку на долото, Н; механическую скорость проходки, м/с; плотность промывочной жидкости, кг/м³).

2. Определяют значения d -экспоненты, которые рассчитываются по формуле

$$d = \frac{\lg \frac{R}{60n}}{\lg \frac{0.102W}{10^3D}}, \quad (6.48)$$

где R - механическая скорость проходки, м/с; n - частота вращения долота, об/с; W - осевая нагрузка на долото, Н; D - диаметр долота, м.

3. Определяют значения скорректированной d -экспоненты, которые рассчитываются по формуле

$$d_c = d \frac{N}{\gamma_{\text{экв}}}, \quad (6.49)$$

где d_c - значение скорректированной d -экспоненты; d - значение d -экспоненты; N - градиент нормального пластового давления, Па/м; $\gamma_{\text{экв}}$ - эквивалентный удельный вес промывочной жидкости, учитывающий потери давления в кольцевом пространстве скважины во время промывки, Н/м³.

4. Эквивалентный удельный вес промывочной жидкости определяют по формуле

$$\gamma_{\text{экв}} = \gamma + \frac{\Delta P_c}{H_3}, \quad (6.50)$$

где $\gamma_{\text{экв}}$ - эквивалентный удельный вес промывочной жидкости, Н/м³; γ - фактический удельный вес промывочной жидкости, Н/м³.

ΔP_c - потери давления в кольцевом пространстве скважины во время промывки (бурения), Па; H_3 - глубина забоя скважины, м.

* Величина $H_3 \gamma_{\text{экв}}$ численно равна величине забойного давления во время бурения с учетом потери давления в кольцевом пространстве.

5. В полулогарифмическом масштабе строят график зависимости значений скорректированной d -экспоненты от глубины: по оси абсцисс, представленной в логарифмическом масштабе, приводят значения скорректированной d -экспоненты; по оси ординат, представленной в линейном масштабе приводят значения глубины.

6. По точкам скорректированной d -экспоненты в зоне нормального пластового давления проводят линию нормального изменения, которую экстраполируют до исследуемой глубины.

7. При смене диаметра долот, т.е. при изменении соотношения W/D , линию нормального изменения скорректированной d -экспоненты корректируют. Для этого, условно, принимают, что пластовое давление в интервале смены долот не изменяется. По следней точке (или группе точек) скорректированной d -экспоненты (d_c), рассчитанной по параметрам режима бурения долотом большего диаметра, в линейном масштабе определяют расстояние, на котором эта точка d_c отстоит от линии нормального изменения скорректированной d -экспоненты $-d\ell$. От первой точки (или группы точек) скорректированной d -экспоненты, рассчитанной по параметрам режима бурения долотом меньшего диаметра, откладывают расстояние $d\ell$ и параллельно уже проведенной выше линии нормального изменения скорректированной d -экспоненты строят ее продолжение.

8. Зонам повышенных и аномально-высоких пластовых давлений соответствуют отклонения значений скорректированной d -экспоненты от линии нормального изменения в меньшую сторону (рис. 6.4).

9. Градиент пластового давления в зоне повышенных и аномально-высоких пластовых давлений рассчитывают по формуле

$$\Gamma = N \frac{d_{c\text{н}}}{d_{c\text{o}}}, \quad (6.51)$$

где Γ - градиент пластового давления, Па/м; N - градиент нормального пластового давления, Па/м; $d_{c\text{н}}$ - значение скорректированной d -экспоненты для исследуемой глубины, снятое с линии нормального изменения; $d_{c\text{o}}$ - фактическое значение скорректированной d -экспоненты, рассчитанное для исследуемой глубины по формуле (6.49).

10. Для определения значений градиентов пластового давления в зоне АНД можно пользоваться палеткой наложения, которая пользуется обратный логарифмический масштаб оси абсцисс (см.



Рис.6.4. Определение пластового давления по методу d -экспоненты.

102

рис.6.4). При этом с линией нормального изменения скорректированной d -экспоненты, экстраполированной в зону АНД, совмещается линия палетки 1,0, а по числовому значению линии палетки совпадшей с исследуемой точкой скорректированной d -экспоненты, устанавливается градиент пластового давления для этой точки.

II. Значение пластового давления на исследуемой глубине определяют по формуле

$$P_{\text{пл}} = \Gamma H_a, \quad (6.52)$$

где $P_{\text{пл}}$ – пластовое давление Па; Γ – градиент пластового давления, Па/м; H_a – глубина скважины, для которой определяется пластовое давление, м.

6.2.1.2. Определение АНД по методу "равновесной" d -экспоненты

I. В процессе проводки скважины регистрируют параметры режима бурения (диаметр долота, м; частоту вращения долота, об/с; осевую нагрузку на долото, Н; механическую скорость проходки, м/с; плотность промывочной жидкости, кг/м³).

2. Определяют значения d -экспоненты, которые рассчитываются по формуле (6.48).

3. В полулогарифмическом масштабе строят график зависимости значений d -экспоненты от глубины: по оси абсцисс, представленной в логарифмическом масштабе, приводят значения d -экспоненты; по оси ординат, представленной в линейном масштабе, приводят значения глубины.

4. В зоне нормального пластового давления выбирают несколько точек, характеризующихся одинаковыми значениями плотности промывочной жидкости и другими параметрами режима бурения.

5. Для выбранных точек d -экспоненты определяют значения "равновесной" d -экспоненты, которые рассчитываются по формуле

$$d_p = N \frac{d}{\gamma_{\text{экв}}}, \quad (6.53)$$

где N – градиент нормального пластового давления, Па/м; d – значения d -экспоненты, рассчитанные по формуле (6.48); $\gamma_{\text{экв}}$ – эквивалентный удельный вес промывочной жидкости в Н/м³, рассчитанный по формуле (6.50).

6. Через точки "равновесной" d -экспоненты проводят линию изменения "равновесной" d -экспоненты (рис.6.5), которую экстраполируют до исследуемой глубины.

103

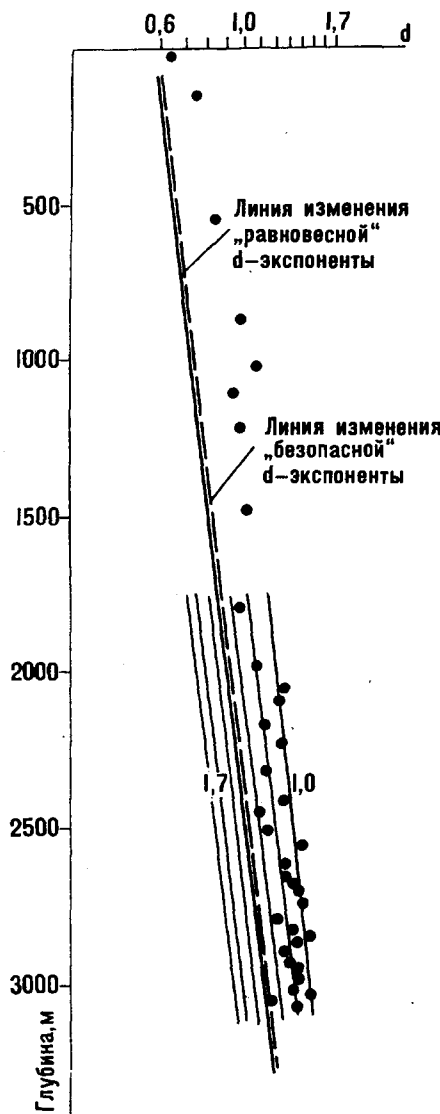


Рис. 6.5. Схема определения пластовых давлений по методу „равновесной“ d -экспоненты.

104

7. На графике, приведенном на рис.6.5, положения точек, соответствующих значениям d -экспоненты на разных глубинах, относительно линии изменения "равновесной" d -экспоненты, характеризуют взаимодействие промывочной жидкости с пластами, вскрытыми по разрезу скважины:

- если точка d -экспоненты лежит слева от линии изменения "равновесной" d -экспоненты, то на этой глубине имеет место превышение пластового давления над давлением в скважине, создаваемым столбом промывочной жидкости ($P_{\text{пл}} > P_c$);
- если точка d -экспоненты лежит на линии изменения "равновесной" d -экспоненты, то на этой глубине имеет место равновесие между пластовым давлением и давлением в скважине, создаваемым столбом промывочной жидкости ($P_{\text{пл}} = P_c$);
- если точка d -экспоненты лежит справа от линии изменения "равновесной" d -экспоненты, то на этой глубине имеет место превышение давления в скважине, созданного столбом промывочной жидкости, над пластовым давлением ($P_{\text{пл}} < P_d$).

8. Градиент пластового давления в любой точке разреза рассчитывают по формуле

$$\Gamma = \gamma_{\text{экв}} \frac{d_p}{d}, \quad (6.54)$$

где $\gamma_{\text{экв}}$ - эквивалентный удельный вес промывочной жидкости, Н/м^3 ; d_p - значение d -экспоненты для исследуемой глубины, снятое с линии изменения "равновесной" d -экспоненты; d - значение d -экспоненты для исследуемой глубины, рассчитанное по формуле (6.48).

9. Для безопасности бурения скважин параллельно линии изменения "равновесной" d -экспоненты, проводят линию изменения "безопасной" d -экспоненты, которую строят по точкам, соответствующим значениям "безопасной" d -экспоненты, рассчитанным по формуле

$$d_b = \gamma_{\text{экв}} \frac{d_p}{\gamma_{\text{экв}} - \Delta \gamma}, \quad (6.55)$$

где $\gamma_{\text{экв}}$ - эквивалентный удельный вес промывочной жидкости, Н/м^3 ; d_p - значение "равновесной" d -экспоненты; $\Delta \gamma$ - "безопасное" превышение удельного веса промывочной жидкости, которое выбирается согласно действующим нормативным документам, Н/м^3 .

10. Для определения значений градиентов пластового давления в зоне АВД можно пользоваться палеткой наложения, которая

использует обратный логарифмический масштаб оси абсцисс (рис.6.5). При этом с линией "равновесной" d -экспоненты смещается линия палетки, соответствующая значению эквивалентного удельного веса промывочной жидкости ($\gamma_{экв}$), а по числовому значению линии, совпадшей с исследуемой точкой d -экспоненты, устанавливается градиент пластового давления для этой точки.

6.2.1.3. Определение АНД по методу "варьирующей нормализованной скорости проходки"

1. В процессе механического бурения регистрируют технологические параметры бурения (диаметр долота, м; частоту вращения долота, об/с; осевую нагрузку на долото, Н; механическую скорость проходки, м/с; плотность промывочной жидкости, кг/м³).

2. Бурение в интервалах глубин с известным пластовым давлением и, характеризующиеся литологически однородными породами, осуществляют буровым инструментом, компоновка и типоразмер долота которого соответствуют характеристике инструмента, рекомендованного для вскрытия отложений с неизвестным пластовым давлением. При этом соблюдается соответствие параметров бурения, которые постоянно поддерживаются на заданном уровне.

3. В процессе этих экспериментальных долблений поддерживает постоянное или переменное дифференциальное давление на забой скважины, что достигается путем изменения потерь давления на выходе промывочной жидкости из скважины, или регулированием подачи буровых насосов.

4. По технологическим данным бурения, полученным по результатам всех долблений в зоне с известным пластовым давлением определяют значения d -экспоненты, которые рассчитываются по формуле (6.48).

5. В полулогарифмическом масштабе строят зависимость d -экспонент от глубины: по оси абсцисс, представленной в логарифмическом масштабе, приводят значения d -экспонент; по оси ординат, представленной в линейном масштабе, приводят значения глубины.

6. Если в процессе экспериментальных долблений поддерживалось постоянное дифференциальное давление, то через точки d -экспоненты, соответствующие этим долблениям, проводят линию новых Δp , которая обозначается Δp_3 и получает цифровой символ равному значению дифференциального давления (рис.6.6, а). Для равных Δp_3 экстраполируют в зону с неизвестным пластовым

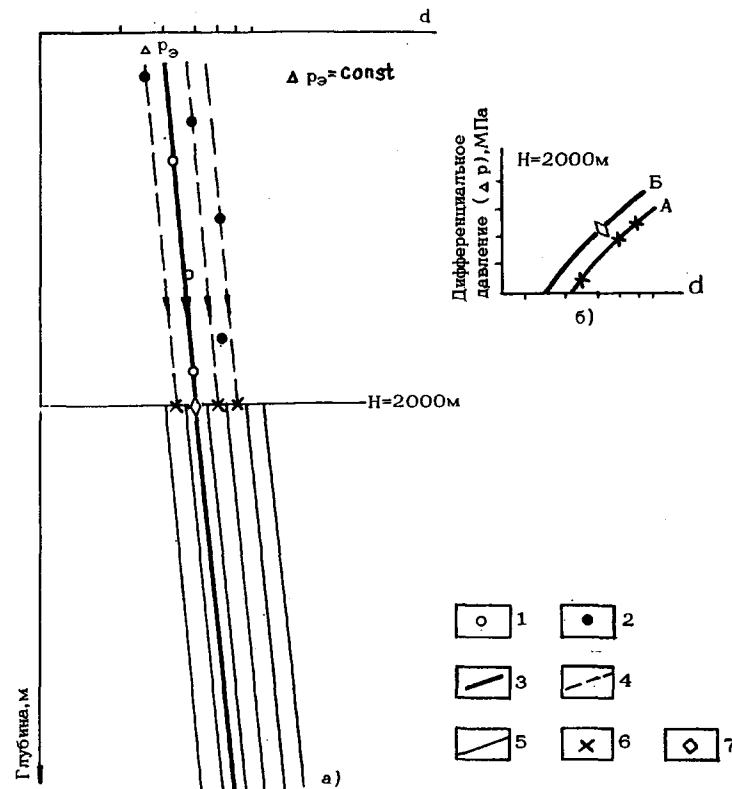


Рис. 6.6. ОПРЕДЕЛЕНИЕ ПЛАСТОВОГО ДАВЛЕНИЯ ПО МЕТОДУ "ВАРЬИРУЮЩЕЙ" НОРМАЛИЗОВАННОЙ СКОРОСТИ ПРОХОДКИ ПРИ ПОДДЕРЖАНИИ ПОСТОЯННОГО ЗНАЧЕНИЯ ДИФФЕРЕНЦИАЛЬНОГО ДАВЛЕНИЯ В ПРОЦЕССЕ ЭКСПЕРИМЕНТАЛЬНЫХ ДАВЛЕНИЙ.

1—точки, соответствующие значениям d -экспоненты, рассчитанным по данным экспериментальных долблений долотами, которые рекомендованы для бурения в зоне с неизвестным пластовым давлением; 2—точки, соответствующие значениям d -экспонент текущих долблений; 3—линии равных дифференциальных давлений (Δp_3), построенные по данным экспериментальных долблений долотами, которые рекомендованы для бурения в зоне с неизвестным пластовым давлением; 4—линии Δp , построенные по данным текущих долблений; 5—линии Δp , образующие палетку для определения дифференциального давления в зоне с неизвестным пластовым давлением; 6—приведенные значения d -экспоненты текущих долблений; 7—приведенное значение d -экспоненты экспериментальных долблений; А—линия зависимости приведенных значений d -экспоненты от дифференциального давления, построенная по данным текущих долблений; Б—линия зависимости приведенных значений d -экспоненты от дифференциального давления, построенная для зоны с неизвестным низким давлением.

давлением.

Параллельно линии равных ΔP_3 через все другие точки экспоненты, соответствующие текущим дифференциальным давлениям, проводят линии ΔP , которые получают свои цифровые символы.

Произвольно выбирается глубина приведения, которая на графике (рис.6.6, а) показана в виде горизонтальной линии (линии приведения).

По точкам пересечения линии приведения с параллельными линиями ΔP текущих дифференциальных давлений определяются приведенные значения d -экспоненты, по которым строится график их зависимости от дифференциального давления: по оси абсцисс, представленной в логарифмическом масштабе, откладывают приведенные значения d -экспоненты; по оси ординат, представленной в линейном масштабе, приводят значения дифференциального давления (рис.6.6, б).

Через точки, полученные на графике (рис.6.6, б), проводят линию зависимости приведенных значений d -экспоненты от дифференциального давления (линия А).

По точке пересечения линии равных ΔP_3 , соответствующей экспериментальным дифференциальным давлениям в зоне с известным пластовым давлением, с линией приведения, определяется приведенное значение d -экспоненты, по которому на графике (рис.6.6, б), параллельно построенной линии для текущих дифференциальных давлений, проводится линия зависимости приведенных значений d -экспоненты от дифференциального давления для зоны с неизвестным пластовым давлением (линия Б).

По приведенным значениям d -экспоненты, снятой с линии (рис.6.6, б) на графике зависимости значений d -экспоненты от глубины (рис.6.6, а) строится палетка ΔP для определения дифференциального давления в зоне с неизвестным пластовым давлением.

При определении пластового давления в исследованном интервале по величине d -экспоненты, рассчитанной по формуле (6.48) прямо на графике (рис.6.6, а) по палетке ΔP находят значение дифференциального давления и по формуле

$$P_{\text{пл}} = P_{\text{заб}} - \Delta P, \quad (6.53)$$

где $P_{\text{пл}}$ – пластовое давление, Па; $P_{\text{заб}}$ – забойное давление при бурении в исследуемом интервале, Па; ΔP – дифференциальное давление, Па, рассчитываемое значение пластового давления.

7. Если в процессе экспериментальных дифференциальных давлений установлены различные дифференциальные давления, то подбираются точки

–экспоненты с равными дифференциальными давлениями, через которые проводятся несколько линий равных ΔP , каждая из которых получает свой цифровой символ равный значению дифференциального давления (рис.6.7, а).

Линии равных ΔP экспериментальных дифференциальных давлений экстраполируются в зону с неизвестным пластовым давлением.

Для построения недостающих линий ΔP произвольно выбирается глубина приведения, которая на графике (рис.6.7, а) показана в виде горизонтальной линии (линии приведения).

По точкам пересечения линии приведения с линиями равных ΔP_3 строится график зависимости приведенных значений d -экспоненты от дифференциального давления (рис.6.7, б), по которому определяются приведенные значения d -экспоненты для недостающих линий ΔP .

При определении пластового давления в исследуемом интервале по величине d -экспоненты, рассчитанной по формуле (6.48) прямо на графике (рис.6.7, а) по палетке, образованной линиями ΔP , находят значение дифференциального давления и по формуле (6.56) рассчитывается значение пластового давления.

8. Если в процессе бурения скважины в зоне с нормальным пластовым давлением экспериментальные дифференциальные давления не проводились, то для всех выполненных дифференциальных давлений рассчитываются значения d -экспоненты и строится график зависимости d -экспоненты от глубины (рис.6.8, а).

Для каждой точки d -экспоненты определяется соответствующее значение дифференциального давления.

Через точки d -экспоненты с одинаковым дифференциальным давлением, проводятся линии равных ΔP , каждая из которых получает свой цифровой символ, равный значению дифференциального давления (рис.6.8, а).

Параллельно линиям равных ΔP через все оставшиеся точки d -экспоненты проводят линии ΔP , которые получают свой цифровой символ, соответствующий значению дифференциального давления.

Произвольно выбирается глубина приведения, которая на графике (рис.6.8, а) показана в виде горизонтальной линии (линии приведения).

По точкам пересечения линии приведения с линиями равных ΔP строится график зависимости приведенных значений d -экспоненты от дифференциального давления (рис. 6.8, б, линия А).

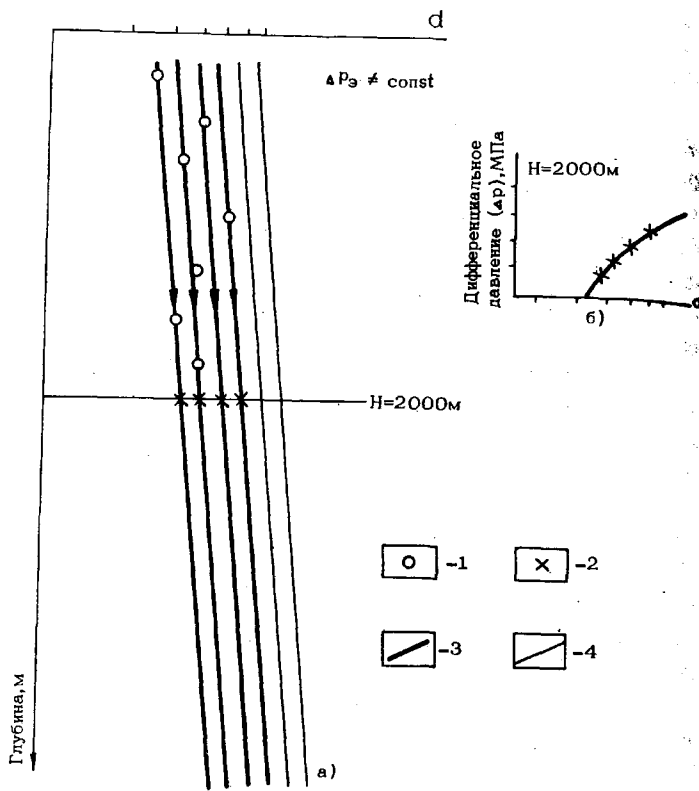


РИС. 6.7. ОПРЕДЕЛЕНИЕ ПЛАСТОВОГО ДАВЛЕНИЯ ПО МЕТОДУ "ВАРЬИРУЮЩЕЙ" НОРМАЛИЗОВАННОЙ СКОРОСТИ ПРОХОДКИ ПРИ РАЗЛИЧНЫХ ЗНАЧЕНИЯХ ДИФФЕРЕНЦИАЛЬНОГО ДАВЛЕНИЯ В ПРОЦЕССЕ ЭКСПЕРИМЕНТАЛЬНЫХ ДОЛБЛЕНИЙ.

1—точки, соответствующие значениям d — экспоненты, рассчитанные по данным экспериментальных долблений долотами, которые рекомендованы для бурения в зоне с неизвестным пластовым давлением; 2—приведенные значения d — экспоненты; 3—линии равных дифференциальных давлений, построенные по данным экспериментальных долблений долотами, которые рекомендованы для бурения в зоне с неизвестным пластовым давлением; 4—достроенные линии Δp .

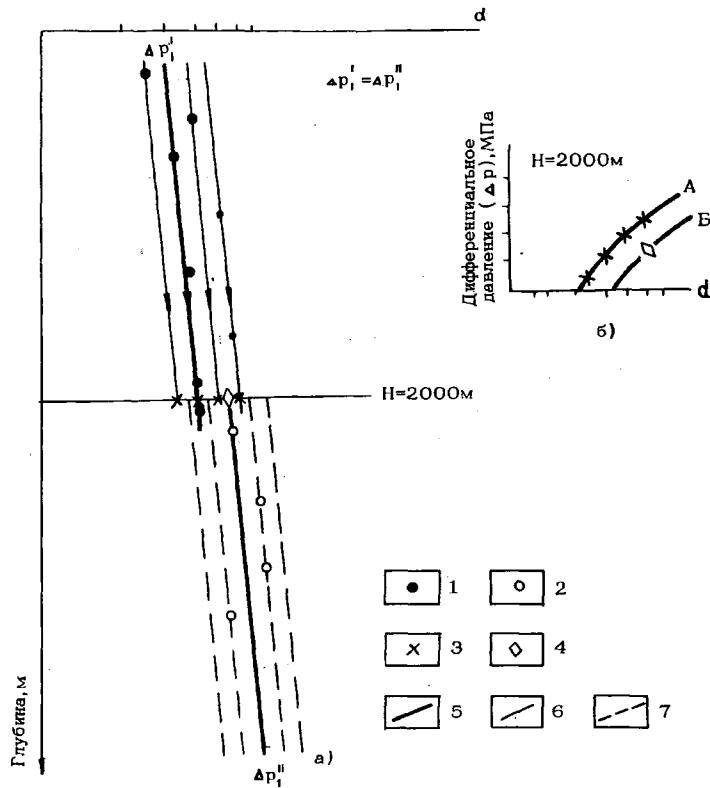


РИС. 6.8. ОПРЕДЕЛЕНИЕ ПЛАСТОВЫХ ДАВЛЕНИЙ ПО МЕТОДУ "ВАРЬИРУЮЩЕЙ" НОРМАЛИЗОВАННОЙ СКОРОСТИ ПРОХОДКИ БЕЗ ПРОВЕДЕНИЯ ЭКСПЕРИМЕНТАЛЬНЫХ ДОЛБЛЕНИЙ.

1—точки, соответствующие значениям d — экспоненты, рассчитанные по данным долблений долотами, большого диаметра; 2—точки, соответствующие значениям d — экспоненты, рассчитанные по данным долблений долотами меньшего диаметра; 3—приведенные значения d — экспоненты для долблений в зоне с известным пластовым давлением; 4—приведенное значение d — экспоненты для первого долбления долотом меньшего диаметра в зоне с неизвестным пластовым давлением; 5—линия Δp , соответствующая дифференциальному давлению $\Delta p_1 = \Delta p_1''$; 6—линии Δp , построенные по данным долблений долотами большого диаметра; 7—достроенные линии Δp для зоны, вскрываемой долотами меньшего диаметра; А—линия зависимости приведенных значений d — экспоненты от дифференциального давления для зоны, вскрытой долотами большого диаметра; Б—линия зависимости приведенных значений d — экспоненты от дифференциального давления для зоны, вскрытой долотами меньшего диаметра.

При смене диаметра долот, чаще всего с большего на меньший, линии Δp корректируются. При этом условно принимая, что пластовое давление в интервале смены долот не изменилось, для первого долбления долотом меньшего диаметра определяется значение дифференциального давления $\Delta p_1''$. Через точку d -экспоненты, соответствующую первому долблению долотом меньшего диаметра, параллельно линии $\Delta p_1''$, цифровой символ которой равен дифференциальному давлению $\Delta p_1''$, проводится линия $\Delta p_1''$.

По точке пересечения линии $\Delta p_1''$ с линией приведения для первого долбления долотом меньшего диаметра определяется приведенное значение d -экспоненты, которое переносится на график зависимости приведенных значений d -экспонент от дифференциального давления (рис.6.8, б). Через эту точку параллельно линии А проводится линия зависимости приведенных значений d -экспонент от дифференциального давления для зоны, вскрываемой долотом меньшего диаметра (линия Б).

По приведенным значениям d -экспоненты снятой с линии В (рис.6.8, б) на графике зависимости значений d -экспонент от глубины (рис.6.8, а) строится палетка Δp для определения дифференциального давления в зоне, вскрытие которой осуществляется долотом меньшего диаметра.

При определении пластового давления в исследуемом интервале по величине d -экспоненты, рассчитанной по формуле (6.48) прямо на графике (рис.6.8, а) по палетке Δp находят значение дифференциального давления и по формуле (6.56) рассчитывается значение пластового давления.

9. Определение пластового давления в скважине 292 Курсангинской площади, проводка которой проводилась без изменения диаметра долота, приведена на рис.6.9.

10. В том случае, когда представляется возможным выделить по разрезу породы одного литологического типа (по керну, шламу, данным геофизических исследований в скважине), график зависимости значений d -экспонент от глубины строится по выделенным интервалам.

II. При определении пластовых давлений учет недоуплотнения или разуплотнения горных пород проводится по методике "эквивалентных глубин". При этом эквивалентная глубина определяется при оценке пластового давления по геофизическим или петрофизическим данным и переносится на график зависимости значений d -

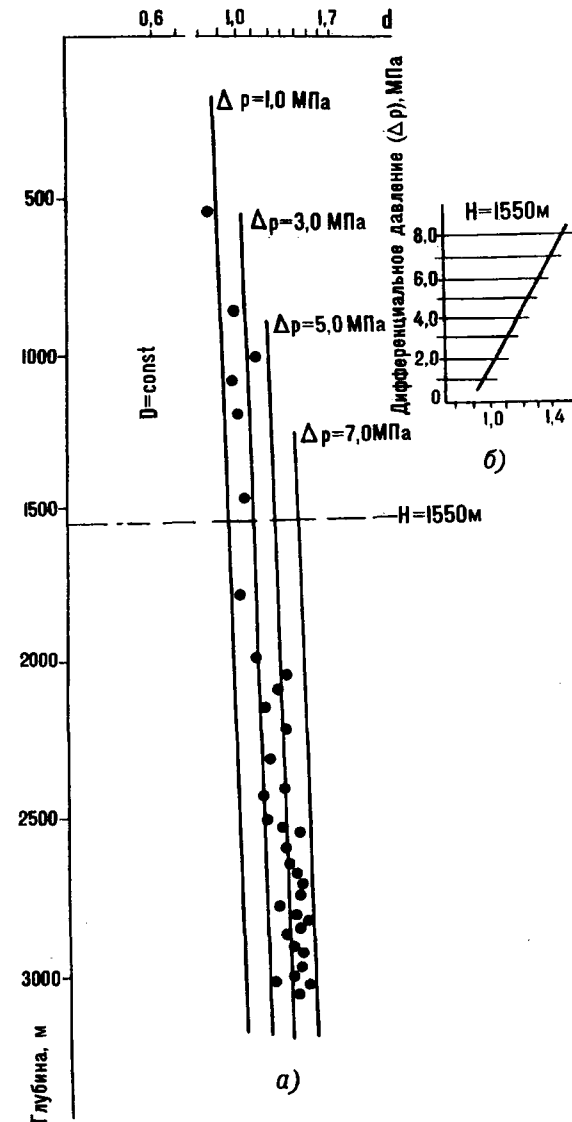


Рис.6.9. Определение пластового давления в скважине 292 Курсангинской площади по методу „варьирующей” нормализованной скорости проходки.

экспоненты от глубин (рис.6.10, а). В этом случае исследуемая точка, соответствующая значению d -экспоненты и характеризующая интервал глубин с повышенным или аномально-высоким пластовым давлением, переносится вертикально вверх до пересечения с линией эквивалентной глубины (H_3). Затем, параллельно ранее построенным линиям Δp , от линии эквивалентных глубин исследуемая точка переносится на линию приведения и устанавливается приведенное значение d -экспоненты. По зависимости приведенных значений d -экспоненты, представленной на рис.6.10, б определяется дифференциальное давление при бурении в исследуемом интервале глубин и по формуле (6.56) рассчитывается величина пластовое давление.

Вместо значение d -экспоненты могут быть использованы любые другие показатели, включая технологические параметры бурения, которые зависят от дифференциального давления (Δp) - механическая скорость проходки, сигма-каротаж, альфа-экспонента и другие.

6.2.2. Порядок определения АНД по методу сигма-каротажа.

6.2.2.1. В процессе проводки скважины через каждый метр проходки долота регистрируют: осевую нагрузку на долото, H ; частоту вращения долота, об/с; диаметр долота, м; механическую скорость проходки, м/с; плотность промывочной жидкости, кг/м³.

6.2.2.2. Для каждого метра проходки исследуемого разреза определяется текущее значение сигма-каротажа (σ_t), которое рассчитывается по формуле

$$\sigma_t = \frac{(102 \times 10^{-6} W)^{0.5} \times (60 n)^{0.25}}{39.37 D (3600 R)^{0.25}}, \quad (6.57)$$

где σ_t - текущее значение сигма-каротажа, W - осевая нагрузка на долото, H ; n - скорость вращения долота, об/с; D - диаметр долота, м; R - механическая скорость проходки, м/с.

6.2.2.3. С учетом текущей глубины забоя скважины определяется промежуточное значение сигма-каротажа (σ'_t), которое рассчитывается по формуле

$$\sigma'_t = \sigma_t + 0.028 \left(7 - \frac{H_t}{1000} \right), \quad (6.58)$$

где σ_t - текущее значение сигма-каротажа, рассчитанное по формуле (6.57); H_t - текущая глубина забоя скважины, м.

* Наиболее целесообразно регистрировать исходные данные, а также проводить определение пластовых давлений по методу сигма-каротажа в автоматизированном режиме.

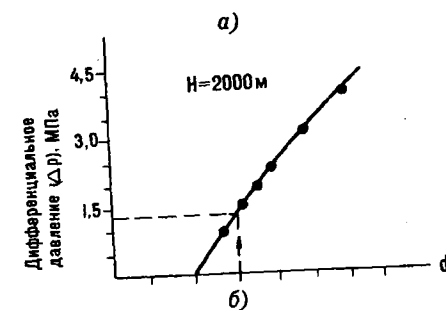
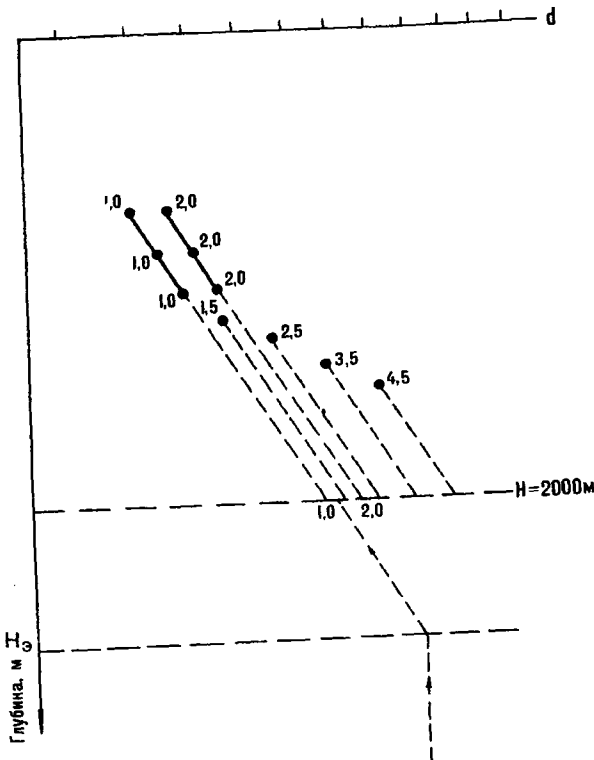


Рис.6.10. Схема определения дифференциального давления на забое скважины (Δp) по способу „варьирующей“ нормализованной скорости проходки с учетом влияния недоуплотнения или разуплотнения горных пород.

6.2.2.4. Определяется показатель (t), зависящий от времени уравновешивания дифференциального давления в процессе резкого действия долота:

- если $\sigma_t' > I$, то показатель (t) рассчитывается по формуле $t = \frac{I}{640} (4 - \frac{0,75}{\sigma_t'})$; (6.59)

- если $\sigma_t' < I$, то показатель (t) рассчитывается по формуле $t = \frac{3,25}{640 \sigma_t'}$, (6.60)

где σ_t' - промежуточное значение сигма-каротажа, рассчитанное по формуле (6.58).

6.2.2.5. Для текущей глубины забоя скважины определяется пограничное дифференциальное давление (Δp_t), которое рассчитывается по формуле

$$\Delta p_t = (\rho \delta_{\text{пл}} - N) H_t, \quad (6.61)$$

где Δp_t - дифференциальное давление, Па; $\delta_{\text{пл}}$ - плотность промывочной жидкости, kg/m^3 ; N - градиент нормального пластового давления, Pa/m ; H_t - текущая глубина забоя скважины, м.

6.2.2.6. Для каждой точки исследуемого разреза с интервалом в 1 м определяется истинное значение сигма-каротажа (σ_o), которое рассчитывается по формуле

$$\sigma_o = S_o \sigma_t, \quad (6.62)$$

где σ_o - истинное значение сигма-каротажа; σ_t - текущее значение сигма-каротажа, рассчитанное по формуле (6.57); S_o - показатель, который рассчитывается по формуле

$$S_o = 1 + \frac{1 - \sqrt{1 + t^2 (10,2 \times 10^{-6} \Delta p)^2}}{t (10,2 \times 10^{-6} \Delta p)}, \quad (6.63)$$

здесь t - показатель, зависящий от времени уравновешивания дифференциального давления, рассчитанный по формуле (6.59) или (6.60); Δp - дифференциальное давление, рассчитанное по формуле (6.61), Па.

6.2.2.7. Странят график зависимости пограничных истинных значений сигма-каротажа (σ_o) от глубины: по оси абсцисс, представленной в линейном масштабе, приводят истинные значения сигма-каротажа; по оси ординат, представленной в линейном масштабе, приводят значения глубины (рис.6.11).

6.2.2.8. Точки ломаной линии σ_o , расположенные слева, указывают на бурение пористых или трещиноватых пород. Точки

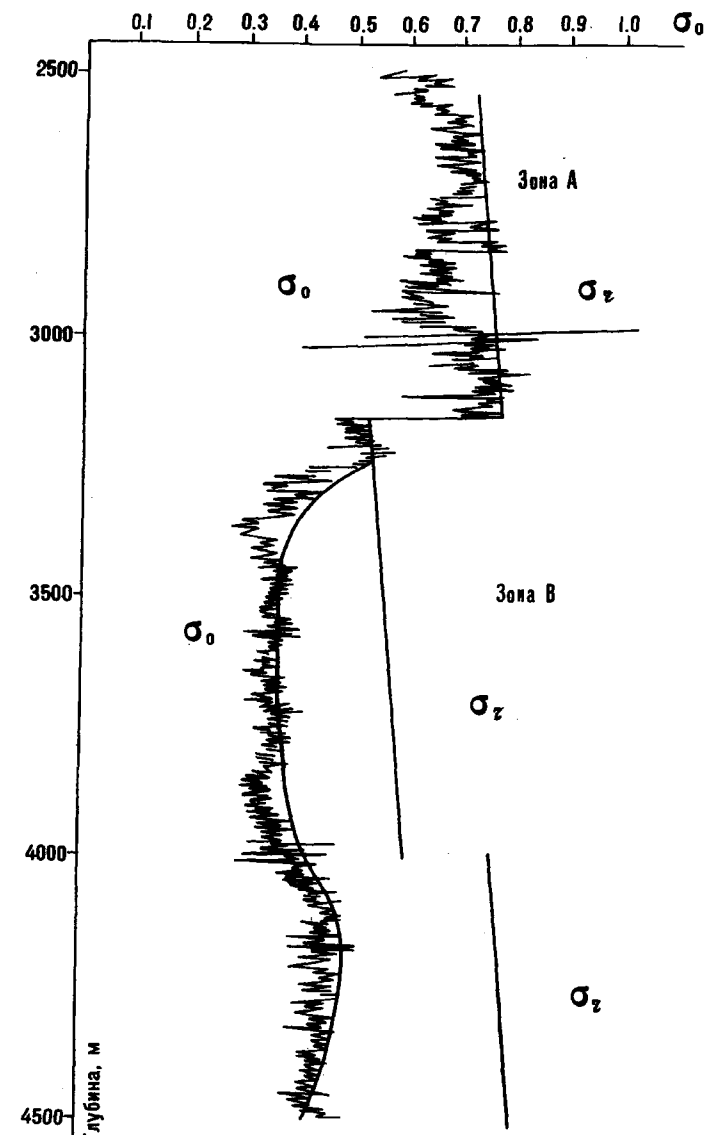


Рис.6.11. График зависимости истинных значений сигма-каротажа (σ_o) от глубины.

ломаной линии, расположенные справа, указывают на бурение непроницаемых пород, главным образом, глин и мергелей.

6.2.2.9. В зоне нормального пластового давления через правые точки ломаной линии σ_0 , соответствующие чистым глинам, проводят прямую линию (σ_z) , которая представляет собой линию нормального изменения. На рис.6.9 зоне нормального пластового давления соответствует зона А.

6.2.2.10. Зонам повышенных и аномально-высоких пластовых давлений соответствуют отклонения ломаной линии σ_0 от линии нормального изменения σ_z в меньшую сторону (влево). На рис. 6.9 зоне повышенных и аномально-высоких пластовых давлений соответствует зона В.

6.2.2.11. Если на ломаной линии σ_0 отмечаются сдвиги, вызванные геологическими или технологическими причинами (складки, стратиграфические несогласия, литологические изменения, надвиги, неправильный режим работы долота, изменение параметров бурового раствора, отбор керна и т.д.) вносится поправка, корректирующая линию нормального изменения (σ_z) . Корректировка проводится по формуле

$$\frac{(\sigma_0)_1}{(\sigma_0)_2} = \frac{(\sigma_z)_1}{(\sigma_z)_2}, \quad (6.64)$$

где $(\sigma_0)_1$, $(\sigma_0)_2$ - истинные значения сигма-каротажа по чистым глинам, снятые с ломаной линии σ_0 , соответственно до и после ее сдвига; $(\sigma_z)_1$, $(\sigma_z)_2$ - значения сигма-каротажа, соответствующие линиям нормального изменения (σ_z) , проведенным соответственно до и после сдвига ломаной линии.

6.2.2.12. Линию нормального изменения (σ_z) после корректировки, связанной со сдвигом ломаной линии σ_0 , проводят параллельно первоначальному направлению линии σ_z .

6.2.2.13. Линия σ_z представляет собой линию нормального уплотнения породы и определяет твердость породы на любой глубине. Линия σ_z выражается уравнением

$$\sigma_z = a \frac{H}{1000} + b, \quad (6.65)$$

где a - наклон прямой линии, обычно считается постоянной величиной равной 0,088; b - значение на оси абсцисс в точке ее пересечения с линией σ_z ; H - глубина, м.

6.2.2.14. Дифференциальное давление определяется по формуле

$$\Delta P = \frac{2(1-S)}{1-(1-S)^2} \cdot \frac{10^6}{10,2t}, \quad (6.66)$$

где t - показатель, зависящий от времени уравновешивания дифференциального давления, рассчитанный по формуле (6.59) или (6.60); S - показатель, который определяется как отношение

$$S = \frac{\sigma_z}{\sigma_t}, \quad (6.67)$$

где σ_z - значение сигма-каротажа, снятое с исходной линии направления σ_z или рассчитанное по формуле (6.65); σ_t - значение сигма-каротажа для исследуемой точки разреза, рассчитанное по формуле (6.58).

6.2.2.15. Пластовое давление на исследуемой глубине определяется по формуле (6.56).

6.2.2.16. Пример расчета пластового давления.

Исходные данные:

Глубина исследуемой точки разреза $H=2155$ м

Диаметр долота $D=0,3937$ м

Частота вращения долота $n=2,83$ об/с

Песевая нагрузка на долото $W=68670$ Н

Механическая скорость проходки $R=0,00068$ м/с

Плотность промывочной жидкости $\sigma_{\text{ж}}=1580$ кг/м³

Начальный градиент пластового давления $N=10100$ Па/м

Значение (b) в точке пересечения оси абсцисс с линией σ_z $b=0,40$

Расчетные показатели:

Текущее значение сигма-каротажа

$$\sigma_t = \frac{(102 \cdot 10^{-6} \cdot 68670)^{0,5} \cdot (60 \cdot 2,83)^{0,25}}{39,37 \cdot 0,3937 \cdot (3600 \cdot 0,00068)^{0,25}} = 0,48$$

Промежуточное значение сигма-каротажа

$$\sigma_t' = 0,48 + 0,028 \left(7 - \frac{2155}{1000} \right) = 0,61$$

$$\text{Показатель } t \text{ (при } \sigma_t' < 1) \quad t = \frac{3,25}{640 \cdot 0,61} = 0,0083$$

Дифференциальное давление, соответствующее разрезу с нормальным пластовым давлением

$$\Delta P_t = (9,81 \cdot 1580 - 10100) \cdot 2155 = 11,64 \cdot 10^6 \text{ Па}$$

$$\text{Показатель } S_t = \frac{I + \sqrt{I + 0,0083^2 (10,2 \cdot 10^{-6} \cdot 11,64 \cdot 10^6)^2}}{0,0083 (10,2 \cdot 10^{-6} \cdot 11,64 \cdot 10^6)} = 0,57$$

Значение σ_z для исследуемой точки разреза

$$\sigma_z = 0,0088 \frac{2155}{1000} + 0,40 = 0,59$$

Показатель S

$$S = \frac{0,59}{0,61} = 0,97$$

Дифференциальное давление на глубине 2155 м

$$\Delta P = \frac{2(1-0,97)}{1-(1-0,97)^2} \cdot \frac{10^6}{10,2 \times 0,0083} = 0,71 \cdot 10^6 \text{ Па}$$

Пластовое давление на глубине 2155 м

$$P_{\text{пл}} = 9,81 \times 1580 \times 2155 - 0,71 \cdot 10^6 = (33,40 - 0,71) \cdot 10^6 = 32,69 \cdot 10^6 \text{ Па}$$

Градиент пластового давления

$$\Gamma = \frac{32,69 \cdot 10^6}{2155} = 15,17 \cdot 10^3 \text{ Па/м}$$

6.2.3. Особенности определения АВДД при турбинном и реактивно-турбинном бурении

6.2.3.1. При турбинном и реактивно-турбинном бурении для определения АВДД по методам, базирующимся на использовании технологических данных бурения (п.п. 6.2.1 и 6.2.2) частота вращения долота определяется по формуле:

$$\eta_t = 2 A_n (Q_n - \frac{0,226 m W D}{A_m g \delta_{\text{пл}} Q_n}), \quad (6.68)$$

где η_t - частота вращения долота (вала турбобура), об/с; Q_n - подача буровых насосов при текущем режиме работы турбобура, $\text{м}^3/\text{с}$;

A_n - коэффициент скорости вращения вала турбобура, который рассчитывается по формуле

$$A_n = \frac{n^1}{Q_n}, \quad (6.69)$$

здесь n^1 - частота вращения вала турбобура при максимальной мощности, об/с; Q_n^1 - подача буровых насосов, при которой зарегистрирована максимальная мощность турбобура, $\text{м}^3/\text{с}$; m - коэффициент изношенности долота ($0,1 \div 0,3$); W - осевая нагрузка на долото, Н; D - диаметр долота, м; g - ускорение свободного падения, равное $9,80665 \text{ м/с}^2$; $\delta_{\text{пл}}$ - плотность промывочной жидкости, кг/м^3 ;

A_m - коэффициент момента турбобура, который рассчитывается по формуле

$$A_m = \frac{M^1}{g \delta_{\text{пл}} (Q_n^1)^2}, \quad (6.70)$$

здесь M^1 - вращающий момент на валу турбобура при максимальной мощности, Н·м.

6.2.3.2. Пример расчета скорости вращения долота при турбинном и реактивно-турбинном бурении.

Исходные данные:

турбобура - Т12МЗБ-9

техническая характеристика турбобура Т12МЗБ-9":

- частота вращения турбобура при максимальной мощности, об/с (n^1)	12,87
- вращающий момент на валу турбобура при максимальной мощности, Н·м (M^1)	3561
- производительность насосов, при которой зарегистрирована максимальная мощность, $\text{м}^3/\text{с}$ (Q_n^1)	0,055
диаметр долота, м (D)	0,269
коэффициент изношенности долота (m)	0,1
осевая нагрузка на долото, Н (W)	156960
плотность промывочной жидкости, кг/м^3 ($\delta_{\text{пл}}$)	1200
подача буровых насосов при текущем режиме работы турбобура, $\text{м}^3/\text{с}$ (Q_n)	0,0448

Определяется коэффициент скорости вращения вала турбобура, который рассчитывается по формуле (6.69)

$$A_n = \frac{12,87}{0,055} = 234,0.$$

Определяется коэффициент момента турбобура, который рассчитывается по формуле (6.70)

$$A_m = \frac{3561}{9,81 \times 1200 \times 0,055^2} = 100,0$$

По формуле (6.68) рассчитывается значение частоты вращения долота

$$\eta_t = 2 \times 234,0 (0,0448 - \frac{0,226 \times 0,1 \times 156960 \times 0,269}{100,0 \times 9,81 \times 1200 \times 0,0448}) = 12,50 \text{ об/с.}$$

6.2.3.3. При реактивно-турбинном бурении механическая скорость проходки на долото определяется по формуле

$$R = \alpha R_{\text{РТБ}}, \quad (6.71)$$

где R - механическая скорость проходки, приходящаяся на одно долото реактивно-турбинного бура (РТБ), м/с ; $R_{\text{РТБ}}$ - механическая скорость проходки, зарегистрированная при бурении РТБ, м/с ; α - коэффициент переработки долота, который определяется по формуле

$$\alpha = \frac{D_c^2}{TD^2}, \quad (6.72)$$

D_c - диаметр ствола скважины при бурении РТБ, м; D - диаметр

долот, входящих в комплект РТБ, м; f - количество долот в комплекте РТБ, шт. (обычно $f = 2$).

Осьевая нагрузка, приходящаяся на одно долото РТБ определяется по формуле

$$W = \frac{W_1}{2}, \quad (6.73)$$

W_1 - осевая нагрузка, зарегистрированная при бурении РТБ, Н

Подача буровых насосов, приходящаяся на один турбобур РТБ (Q''_H), определяется по формуле

$$Q''_H = \frac{Q_H}{2}, \quad (6.74)$$

где Q_H - подача буровых насосов при бурении РТБ, м³/с.

6.2.3.4. Для определения АВД по методу "нормализованной скорости проходки" (п.6.2.1) значения d -экспоненты рассчитываются по формулам:

при турбинном бурении

$$d_T = \frac{\log \frac{R}{60n_T}}{\log \frac{0.102W}{10^7D}}, \quad (6.75)$$

где R - механическая скорость проходки, м/с; n_T - частота вращения долота (вала турбобура), которая рассчитывается по формуле (6.68), об/с; W - осевая нагрузка на долото, Н; D - диаметр долота, м;

при реактивно-турбинном бурении

$$d_{PTB} = \frac{\log \frac{d_{PTB}}{60n_T}}{\log \frac{0.102W_1}{2 \times 10^7 D}}, \quad (6.76)$$

где R_{PTB} - механическая скорость проходки, зарегистрированная при бурении РТБ, м/с; d - коэффициент переработки долота, который рассчитывается по формуле (6.72); n_T - частота вращения долота (вала турбобура), которая рассчитывается по формуле (6.68), об/с; W_1 - осевая нагрузка, зарегистрированная при бурении РТБ, Н;

D - диаметр долота, м.

6.2.3.5. Для упрощенного расчета значений d -экспоненты частота вращения долота (n_T) в формулах (6.75 и 6.76) заменяется на подачу буровых насосов (Q_H). Таким образом:

при турбинном бурении

$$d_T = \frac{\log \frac{R}{6 \times 10^4 Q_H}}{\log \frac{0.102W}{10^7 D}}, \quad (6.77)$$

при реактивно-турбинном бурении:

$$d_{PTB} = \frac{\log \frac{d_{PTB}}{3 \times 10^4 Q_H}}{\log \frac{0.102W_1}{2 \times 10^7 D}}, \quad (6.78)$$

Q_H - подача буровых насосов, м³/с.

6.2.3.6. Для определения АВД по методу сигма-каротажа значения σ_t рассчитываются по формулам:

при турбинном бурении

$$\sigma_t = \frac{(102 \times 10^{-6} \times W)^{0.5} \times (60n_T)^{0.25}}{39.37 \times D \times (3600 R)^{0.25}}, \quad (6.79)$$

σ_t - текущее значение сигма-каротажа; W - осевая нагрузка долото, Н; n_T - частота вращения долота (вала турбобура), которая рассчитывается по формуле (6.70), об/с; D - диаметр долота, м; R - механическая скорость проходки, м/с;

при реактивно-турбинном бурении

$$\sigma_t = \frac{(51 \times 10^{-6} \times W_1)^{0.5} \times (60n_T)^{0.25}}{39.37 \times D \times (3600 d R_{PTB})^{0.25}}, \quad (6.80)$$

W_1 - осевая нагрузка, зарегистрированная при бурении РТБ, Н; d - коэффициент переработки долота, который рассчитывается по формуле (6.72); R_{PTB} - механическая скорость проходки, зарегистрированная при бурении РТБ, м/с.

6.2.3.7. Для упрощенного расчета значений сигма-каротажа частота вращения долота (n_T) в формулах (6.79 и 6.80) заменяется на подачу буровых насосов (Q_H). Таким образом:

при турбинном бурении

$$\sigma_t = \frac{(102 \times 10^{-6} W)^{0.5} \times (6 \times 10^4 \times Q_H)^{0.25}}{39.37 \times D \times (3600 R)^{0.25}}; \quad (6.81)$$

при реактивно-турбинном бурении

$$\sigma_t = \frac{(51 \times 10^{-6} W_1)^{0.5} \times (3 \times 10^4 \times Q_H)^{0.25}}{39.37 \times D \times (3600 d R_{PTB})^{0.25}}. \quad (6.82)$$

6.2.3.8. При чередовании турбинного, реактивно-турбинного роторного способа бурения значения d -экспоненты и σ -каротажа интерпретируются раздельно.

6.3. Порядок определения АВД по шламу

6.3.1. По всему разрезу, вскрываемому скважиной, через 5-м проходки в зоне с нормальным пластовым давлением и через

I м проходки в зоне с повышенным и аномально-высоким пластовым давлением отбирается 0,5 кг шлама.

6.3.2. Отобранный шлам с учетом скорости восходящего потока промывочной жидкости и скорости оседания частиц шлама в промывочной жидкости привязывается к глубине разреза.*

6.3.3. При подготовке шлама к определительским работам его частички промываются водой для удаления промывочной жидкости и высушиваются на воздухе для удаления влаги с поверхности.

6.3.4. Проводится сортировка шлама с отбором частиц глинистой породы и отбраковкой шлама из вышележащих отложений необсаженной части разреза.

6.3.5. Для отсортированных частиц шлама глинистой породы при помощи торзионных весов типа "ТВ" (или при помощи прибора любой другой конструкции) определяется плотность, и по формуле

$$K_p = \frac{G_1 - G_0}{g \delta_\phi V}, \quad (6.83)$$

где K_p - коэффициент пористости, доли единицы; G_1 - вес частиц шлама во влажном состоянии, Н; G_0 - вес частиц шлама в высшенном состоянии, Н; $g \delta_\phi$ - удельный вес порового флюида, насыщающего частицы шлама, Н/м³; δ_ϕ - плотность порового флюида, насыщающего частицы шлама, кг/м³; V - объем исследуемых частиц шлама, м³.

6.3.6. Для каждой глубины проводится несколько замеров плотности и расчетов пористости частиц шлама и с целью повышения точности рассчитываются их средние значения.

6.3.7. Строится график зависимости плотности и пористости глинистых пород от глубины: по оси абсцисс, представленной в ло-

рифическом масштабе, приводят значения плотности и пористости; по оси ординат, представленной в линейном масштабе, приводят значения глубины. Эти построения проводятся аналогично графику, приведенному на рис. 5.21.

6.3.8. Зонам повышенных и аномально-высоких пластовых давлений соответствуют увеличение пористости и уменьшение плотности (см. рис. 5.21).

6.3.9. Определяется пластовое давление, которое рассчитывается по формуле эквивалентных глубин (4.2).

* Подробная привязка шлама к глубине разреза изложена в руководящем документе РД-39-4-710-82 "Комплексная технология определения и прогнозирования поровых, пластовых давлений и зон АБД по геолого-геофизическим данным при бурении скважин глубиной 7000 м", утвержденная Миннефтепромом СССР 10.05.82 г.

** Пористость и плотность для оперативной оценки пластового давления непосредственно на буровой можно определять приборами: СПВ-2 конструкции Раменского отделения ВНИГеофизики, ПШ-2 (ПШ-2М) конструкции ВНИИБТ, плотномером ВНИИГГ.

ПРИЛОЖЕНИЕ

Оценка случайных погрешностей величин пластового давления, определенных по данным геофизических исследований в скважинах

Методы определения пластовых давлений с выделением зон АВД по данным ГИС основаны на исследовании парных связей между глубиной залегания исследуемых глинистых пластов и соответствующим им геофизическим параметрам. При этом в каждом i -ом исследуемом пласте проводится сопоставление при фиксированном значении аргумента (X) двух значений функции (Y): первое - фактическое значение геофизического параметра (Y_i) устанавливается по материалам ГИС, второе - прогнозное значение геофизического параметра (\tilde{Y}_i) определяется по линии нормального уплотнения глин, свойственной интервалу с нормальным пластовым давлением.

Учитывая, что связь между Y и X носит случайный характер, для определения точности величины пластового давления используется среднеквадратичная ошибка (СКО), основой для которой служит статистически обоснованная линия нормального уплотнения глин.

В зоне нормального уплотнения глин (нормального пластового давления) связь параметров Y и X в полулогарифмическом (реже линейном) масштабе достаточно надежно представлена уравнением линейной регрессии вида $Y = f(X)$, параметры которых целесообразно оценивать по методу наименьших квадратов. В этой зоне по значениям Y_i и X_i определяются величины коэффициента регрессии (B), свободного члена (A), основной ошибки уравнения регрессии ($\sigma_{y/x}$), коэффициент корреляции $Z_{x/y}$, ошибка условных средних ($\sigma_{\tilde{Y}_i}$) для отдельных пластов, пределы электрополяции полученного уравнения по его аргументу. В каждом случае результатом вычислений является уравнение регрессии $Y = f(X)$ и уравнения верхней и нижней доверительных границ.

Выделение зон АВД проводится исходя из следующих условий:

- при $\tilde{Y}_i - \sigma_{y/x} t_{p,k} \leq Y_i \leq \tilde{Y}_i + \sigma_{y/x} t_{p,k}$,

где $t_{p,k}$ - значение критерия Стьюдента для доверительной вероятности p и k степеней свободы, исследуемый интервал характеризуется нормальным пластовым давлением;

- при $Y_i < \tilde{Y}_i - \sigma_{y/x} t_{p,k}$ или
при $Y_i > \tilde{Y}_i + \sigma_{y/x} t_{p,k}$

зависимости от используемого геофизического параметра) исследуемый интервал характеризуется АВД.

Величина пластового давления, представляющая собой функцию скольких случайных аргументов вида

$$Y = f(X_1, X_2, \dots, X_n), \quad (1)$$

характеризуется среднеквадратичным отклонением

$$\sigma_y = \sqrt{D_y}, \quad (2)$$

где D_y - дисперсия, которая определяется по формуле

$$D_y = \sum_{i=1}^n \left(\frac{\partial Y}{\partial X_i} \right)^2 \sigma_i^2 + 2 \sum_{i,j} \left(\frac{\partial Y}{\partial X_i} \right) \left(\frac{\partial Y}{\partial X_j} \right) z_{ij} \sigma_i \sigma_j, \quad (3)$$

где X_i и X_j - соответственно i -ый и j -ый аргументы функции Y ; σ_i и σ_j - среднеквадратичные отклонения аргументов X_i и X_j ; z_{ij} - коэффициент корреляции между аргументами X_i и X_j .

Пример оценки случайных погрешностей величины пластового давления, определенного по методу "кривых нормально уплотненных глин", по материалам одной из скважин Прикуринской низменности.

Исходные данные:

глубина исследуемого пласта, м (H_a)	2000
едневзвешенное значение угла наклона кривой скважины, град (β)	10
едневзвешенная плотность горной породы, кг/м ³ ($\rho_{t,p}$)	2240
едневзвешенная плотность пластовой воды, кг/м ³ (ρ_w)	1050
интервал рассматриваемых глубин в м, при $H_1=700$ м, $H_2=970$ м (ΔH)	270
температурный коэффициент, 1/°C (α)	0,022
единий геотермический градиент, °C/м (Γ_t)	0,0149
ельное электрическое сопротивление глинистых пластов на исследуемой глубине:	
- фактическое значение, ом·м (ρ_a)	3,2
- с линии нормального уплотнения глин, ом·м (ρ_w)	5,92

Удельное электрическое сопротивление глинистых пластов (ом·м):

- на глубине H_1 (ρ_1) 3,30
- на глубине H_2 (ρ_2) 3,60

Погрешности определения параметров:

$$\begin{aligned} \bar{\sigma}_{H_a} &= 2,0 \text{ м}; \bar{\sigma}_{\beta} = 0,33^\circ; \bar{\sigma}_{\delta_{r,p}} = 91,8 \text{ кг/м}^3; \bar{\sigma}_{\delta_{n,p}} = 49,4 \text{ кг/м}^3; \\ \bar{\sigma}_d &= 0,0025 \text{ 1/}^\circ\text{C}; \bar{\sigma}_{\Gamma_t} = 0,0001 \text{ град/м}; \bar{\sigma}_{\rho_a} = 0,41 \text{ ом·м}; \\ \bar{\sigma}_{\rho_n} &= 0,65 \text{ ом·м}; \bar{\sigma}_{\rho_1} = 0,058 \text{ ом·м}; \bar{\sigma}_{\rho_2} = 0,105 \text{ ом·м}. \end{aligned}$$

Уравнение регрессии $\lg \rho$ по H , вычисленное по II парным значениям этих параметров, в интервале с нормальным пластовым давлением 200–1000 м имеет следующий вид

$$\lg \rho = 0,3503 + 0,0002 H,$$

с основной ошибкой $\bar{\sigma}_{\lg \rho / H} = 0,0230$.

Коэффициенты корреляции $\gamma_{H, \bar{\sigma}_{r,p}} = \gamma_{H, \bar{\rho}_n} = \gamma_{\bar{\sigma}_{r,p}, \bar{\rho}_n} = 0,97$.

Расчет пластового давления приводится по формуле

$$P_{pl} = g \bar{\sigma}_{n,p} H_a \cos \bar{\beta} + \frac{g (\bar{\sigma}_{r,p} - \bar{\sigma}_{n,p}) \Delta H \cos \bar{\beta}}{2,3 \lg \rho_2 / \rho_1 + \alpha \Gamma_t \Delta H \cos \bar{\beta}} 2,3 \lg \frac{\rho_n}{\rho_a},$$

по которой, подставляя вышеприведенные значения, получим

$$P_{pl} = 31,86 \text{ МПа.}$$

Учитывая, что для зоны нормального уплотнения глин (нормального пластового давления) существует достаточно тесная парная корреляционная связь между глубиной, удельным электрическим сопротивлением глин, плотностью глин, а также, что величина интервала рассматриваемых глубин для каждого конкретного расчета постоянна ($\Delta H = const$), т.е. ошибка его оценки $\bar{\sigma}_{\Delta H} = 0$, формула депрессии для метода "кривых нормально уплотненных глин" имеет следующий вид

$$D_p = (g \bar{\sigma}_{n,p} \cos \bar{\beta} \bar{\sigma}_{H_a})^2 + (g \cos \bar{\beta})^2 \left(H_a - \frac{2,3 \lg \rho_n / \rho_a \Delta H}{2,3 \lg \rho_2 / \rho_1 + \alpha \Gamma_t \Delta H \cos \bar{\beta}} \right)^2 \bar{\sigma}_{\delta_{n,p}}^2 +$$

$$+ \left(\frac{2,3 g \Delta H \cos \bar{\beta}}{2,3 \lg \rho_2 / \rho_1 + \alpha \Gamma_t \Delta H \cos \bar{\beta}} \right)^2 \left\{ \left[\left(\bar{\sigma}_{\delta_{r,p}} \lg \frac{\rho_n}{\rho_a} \right)^2 + \left(\bar{\sigma}_{r,p} - \bar{\sigma}_{n,p} \right)^2 \left(\frac{\bar{\sigma}_{\rho_n}^2}{\rho_n^2} + \frac{\bar{\sigma}_{\rho_2}^2}{\rho_2^2} \right) \right] + \right.$$

$$\left. \frac{\bar{\sigma}_{\rho_n}^2 \bar{\sigma}_{H_a} (\bar{\sigma}_{r,p} - \bar{\sigma}_{n,p}) g \cos \bar{\beta}}{2,3 \lg \rho_2 / \rho_1 + \alpha \Gamma_t \Delta H \cos \bar{\beta}} \right\} \left[(\Delta H \cos \bar{\beta})^2 (\Gamma_t^2 \bar{\sigma}_x^2 + \alpha^2 \bar{\sigma}_{\Gamma_t}^2) + (2,3 \lg e)^2 \times \right.$$

$$\left. \left[\frac{\bar{\sigma}_{\rho_n}^2}{\rho_n^2} + \frac{\bar{\sigma}_{\rho_2}^2}{\rho_2^2} \right] \right] + \left[\frac{-4,69 \lg \rho_n / \rho_a (\bar{\sigma}_{r,p} - \bar{\sigma}_{n,p}) \Delta H \lg \rho_2 / \rho_1}{(2,3 \lg \rho_2 / \rho_1 + \alpha \Gamma_t \Delta H \cos \bar{\beta})^2} - H_a \bar{\sigma}_{n,p} \right]^2 \times$$

$$(g \sin \bar{\beta} \bar{\sigma}_{\beta})^2 - \frac{5,29 g^2 \Delta H \cos^2 \bar{\beta}}{2,3 \lg \rho_2 / \rho_1 + \alpha \Gamma_t \Delta H \cos \bar{\beta}} (Z_{H, \bar{\sigma}_{r,p}} \bar{\sigma}_{H_a} \bar{\sigma}_{\rho_n} + Z_{H, \bar{\sigma}_{r,p}} \bar{\sigma}_{H_a} \bar{\sigma}_{\delta_{r,p}} +$$

$$\left. \frac{2,3 \lg \rho_n / \rho_a (\bar{\sigma}_{r,p} - \bar{\sigma}_{n,p}) \Delta H \lg e}{\rho_n} \right) Z_{\delta_{r,p}, \bar{\sigma}_{\rho_n}} \bar{\sigma}_{\delta_{r,p}} \bar{\sigma}_{\rho_n},$$

о которой, подставляя вышеприведенные значения, получим

$$D_p = 22,75 \text{ МПа.}$$

Тогда СКО пластового давления составляет

$$\bar{\sigma}_p = \sqrt{D_p} = \sqrt{22,75} = 4,77 \text{ МПа.}$$

Доверительный интервал, вычисленный для 10% двухстороннего уровня значимости и 9 степеней свободы ($t = 2,26$), составляет

$$t \bar{\sigma}_p = 2,26 \times 4,77 = 10,78 \text{ МПа.}$$

ЛИТЕРАТУРА

1. Авчян Г.М. О возможности оценки величины давления, воздействующего на горную породу // Докл. АН СССР. 1966. Т.170, № 2. С.399-401.
2. Александров Б.Л. Определение и прогнозирование аномально-высоких пластовых давлений геофизическими методами. М.: 1973. 80 с. (Обзор/НИИОЭНГ. Сер. Нефтегазовая геология и геофизика).
3. Аникиев К.А. Прогноз сверхвысоких пластовых давлений и совершенствование глубокого бурения на нефть и газ. Л.: Недра, 1971. С.58.
4. АСУ-Нефтегазразведка. Принципы и результаты разработки/Под редакцией М.Д.Белонина и Д.В.Подольского. Л.: Недра, 1977. С.199.
5. Ахияров В.Х. Разработка методики применения данных каротажа для выделения нефтегазонасыщенных отложений в полимитковом разрезе (на примере месторождений Западной Сибири). Автореферат дис. на соиск. уч.ст.канд.г.-м.наук. М.: 1979. С.5-15.
6. Былевский Г.А. Значение аномально-высоких пластовых давлений в солянокупольных бассейнах при поисках залежей нефти и газа (на примере Прикаспийской впадины). Автореферат дис. на соиск. уч.ст.канд.г.-м.наук. М.: 1978. 25 с.
7. Буряковский Л.А., Джеваншир Р.Д. Способ прогнозирования начального пластового давления в исследуемой скважине. А.с.СССР № 779575. Б.И., 1980, № 42.
8. Буряковский Л.А., Джеваншир Р.Д., Алияров Р.Д. Аксономатическое построение классификации геофлюидальных давлений // Известия АН Азер.ССР. Серия наук о Земле. 1984, № 4. С.19-24.
9. Буряковский Л.А., Джеваншир Р.Д., Алияров Р.Д. Временное методическое руководство к изучению геофлюидальных давлений по данным промысловой геофизики и бурения и их использованию при разведке и разработке месторождений нефти и газа. Баку: ЭЛМ, 1986. 96 с.
10. Буряковский Л.А., Джеваншир Р.Д., Алияров Р.Д. Проблема изучения аномально-высоких геофлюидальных давлений в связи с поисками, разведкой и разработкой месторождений нефти и газа // Известия АН Азерб.ССР. Серия наук о Земле. 1983. № 1. С.119-127.
- II. Вахитов М.А., Цилорик Г.Н. Аномально-высокие пластовые давления Таджикской депрессии и методы их выявления. Душанбе: 1981. 45с. (Обзорная информация Тадж.респ.института НТИ).
12. Вентцель Е.С. Теория вероятностей. М.: Наука, 1969. 576 с.
13. Вопросы применения сейсморазведки для прогноза нефтенасыщенности, литологий, аномально-высоких пластовых давлений и пористости горных пород. М.: 1976. С.1-60, 57-62. (Обзор/НИИОЭНГ. Сер. Нефтегазовая геология и геофизика).
14. Временная инструкция по определению пластового давления в скважинах по данным о гидродинамическом взаимодействии пластов с промывочной жидкостью /В.И.Славин, Д.Ф.Клейносов, В.В.Евердин, И.А.Аббасов. Л.: НИГРИ, 1984. 14 с.
15. Временное методическое руководство по количественной оценке и прогнозированию пластовых давлений по кернам. Красноярск: НИИКРнефть, 1974. 38 с.
16. Дахнов В.Н. Интерпретация результатов геофизических исследований разрезов скважин. М.: Гостоптехиздат, 1955. С.432.
17. Добринин В.М. Деформации и изменения физических свойств коллекторов нефти и газа. М.: Недра, 1970. 239 с.
18. Добринин В.М., Лимбергер Д.А. Определение аномально-высоких пластовых давлений по электрометрическим данным // Нефтяное хозяйство. 1971. № 10. С.12-16.
19. Добринин В.М., Серебряков В.А. Методы прогнозирования аномально-высоких пластовых давлений. М.: Недра, 1978. 232 с.
20. Добринин В.М., Серебряков В.А., Сребродольский А.Д. Определение аномально-высоких поровых давлений в глинистых породах методом компрессионной кривой // Геология нефти и газа. 1982. № 5. С.25-28.
21. Единые технические правила ведения работ при строительстве скважин на нефтяных, газовых и газоконденсатных месторождениях. М., 1983. 66 с.
22. Керимов К.М., Ибрагимов С.М. Методика определения пластового давления в коллекторах по величине фильтрационного потенциала. Баку, 1984 (Информ.листок АзНИИМТИ, № 84-010).
23. Керимов К.М., Пильчин А.Н. Устройство для измерения давления и температуры в скважине. А.с. № 953195. БИ, 1982, № 31.
24. Керимов К.М., Пильчин А.Н., Ибрагимов С.М. Влияние термодинамических факторов на аномально-высокие поровые давления осадочных отложений // Азербайджанское нефтяное хозяйство. 1980. № 2. С.6-9.

25. Комплексная технология определения и прогнозирования поровых, пластовых давлений и зон АНД по геолого-геофизическим данным при бурении скважин глубиной до 7000 м. Грозный, 1982. 130 с. (РД 39-4-710-82).
26. Кучерук Е.В., Шендерей Л.П. Современные представления о природе аномально-высоких пластовых давлений. Итоги науки и техники. Серия месторождения горючих полезных ископаемых, т.6. М.: ВНИТИ, 1975. 165 с.
27. Магара К. Уплотнение пород и миграция флюидов. Применение геологии нефти. Пер. с англ. М.: Недра, 1982. С.19-22.
28. Матус Б.А. Газопроявления в скважинах - надежный источник обширной геологической информации. // Методы прогнозирования АНД и вопросы совершенствования технологии бурения скважин. Сборник научных трудов. Л.: НИГРИ, 1983. С.138-154.
29. Матус Б.А. Способ прогнозирования пластового давления. А.с. СССР № 926262. Б.И., 1982, № 17.
30. Методика и результаты выявления зон аномальных давлений по сейсмическим скоростям в Предкавказье и Азербайджане. /Б.Лабковские, А.Абрамова, Ф.Шарипов и др./ Сборник докладов второго научного семинара стран-членов СЭВ по нефтяной геофизике. М., 1982. С.272-283.
31. Методические рекомендации по исследованию глин в шламе экспресс-методами в процессе бурения для оценки и прогноза аномально-высоких пластовых и поровых давлений. Л., 1977. 35 с.
32. Мехтиев Ш.Ф., Керимов К.М., Пильчин А.Н. Роль термических факторов в формировании и сохранении АНД в осадочном покрове Куриńskiej впадины // Азербайджанское нефтяное хозяйство. 1982. № 3. С.1-5.
33. Мирзаджанзаде А.Х., Ковалев А.Г., Зайцев Д.В. Особенности эксплуатации месторождений аномальных нефтей. М.: Недра, 1972. 198 с.
34. Мительман Б.И. Справочник по гидравлическим расчетам и бурению. М.: Гостоптехиздат, 1963. 253 с.
35. Определение аномально-высоких пластовых давлений по данным бурения в Азербайджане. /В.И.Славин, В.Е.Аронсон, И.А.Аббасов, Д.К.Ибрагимов/. Геология нефти и газа, 1980, № 9. С. 25-30.
36. Пильчин А.Н. Геотермический режим земной коры Куринской впадины и его влияние на распределение в ней давлений. Автографат дис. на соиск. уч.ст. канд.г.-м.наук. Тбилиси, 1983. 16 с.
37. Применение технологических методов оценки пластовых давлений для повышения эффективности поиска и разведки залежей нефти и газа. Экспресс-информация. Сер. Геология, методы поисков и разведки месторождений нефти и газа. И.: ВИЗМС, 1980, вып.10, С.1-12.
38. Прогнозирование аномально-высоких пластовых давлений при поисках нефти и газа в юго-западной Туркмении. М.: НИИЭНГ, 1978. С.45.
39. Путкарадзе Л.А. Определение рациональных пределов экстраполяции линии нормального уплотнения при оценке давлений в зонах АНД. Деп. в ВНИТИ 16 июня 1978, № 2019-78.
40. Путкарадзе Л.А. Случайные погрешности величин поровых давлений, определенных по результатам геофизических исследований скважин. // Комплексная интерпретация результатов каротажа в разрезах с коллекторами сложного строения. Сборник научных трудов. Баку: Азерб.отд. НИИГеофизика, 1980. 3-16.
41. Рабинович Е.З. Гидравлика. М.: Недра, 1980. 278 с.
42. Рахимов А.К. Вскрытие пластов и крепление скважин в скважинах аномально-высоких пластовых давлений (на примере Средней Азии). Ташкент: Фан, 1980. 146 с.
43. Симонов В.И. Исследование причин возникновения осложнений и разработка мероприятий по их предотвращению при бурении глубоких разведочных скважин в зонах аномально-высоких пластовых давлений. Автореферат дис. на соиск. уч.ст. канд. технич. наук. Тюмень: Тюменский индустриальный институт им. Ленинского комсомола, 1984. 20 с.
44. Ситников М.Ф., Волик А.Л., Кухсов А.К. Результаты исследования деформации образцов пород при вторичном уплотнении. РНТС сер. Бурение, 1971, вып.9. С.33-36.
45. Славин В.И. Особенности напряженного состояния осадочных пород и их влияние на совершенствование методов изучения геологического разреза. Проблемы методики поиска, разведки и съемки нефтяных и газовых месторождений Якутской АССР. Тезисы докладов научно-практической информации. Якутск: ЯО СО АН СССР, 1983, С.16-19.
46. Славин В.И., Аронсон В.Е., Клейносов Д.Ф. Количественный прогноз пластовых давлений по технологическим данным бурения // Методика поисков и разведки месторождений нефти и газа в Якутии. Якутск, 1981; С.146-148.

47. Славин В.И., Клейносов Ю.Ф. К методике интерпретации технологических данных бурения при определении пластовых давлений в целях снижения репрессии на пласт. РНС Сер.Бурение, 1981, вып.II. С.35-36.
48. Славин В.И., Клейносов Ю.Ф., Мухин В.В. Способ интерпретации геофизических, петрофизических, технологических параметров при определении пластовых (поровых) давлений в скважинах - способ "какущихся" эффективных напряжений // Методы прогнозирования АБД и вопросы совершенствования технологии бурения скважины. Сборник научных трудов. Л.: НИГРИ, 1983. С.116-124.
49. Славин В.И., Матус Б.А. Способ определения пластового давления. А.с. СССР № 118 3670. Б.И., 1985, № 37.
50. Славин В.И., Шевердяев В.В., Клейносов Ю.Ф. Определение пластового давления по "нормализованной механической скорости проходки" при турбинном способе бурения скважин. РНС Сер.Бурение, 1982, вып.7. С.13-15.
51. Славин В.И., Шевердяев В.В., Матус Б.А. Определение аномально-высоких пластовых давлений по технологическим данным бурения // Нефтяное хозяйство, 1985, № 5. С.35-38.
52. Славин В.И., Химич В.Ф. Определение аномально-высоких пластовых (поровых) давлений по данным ГИС в Лено-Вилмской НГО. Проблемы методики, поиска, разведки и освоения нефтяных и газовых месторождений ЯА ССР. Тезисы докладов научно-практической конференции. Якутск, 1983, ч.2. С.19-23.
53. Способ определения пластового давления /Л.А.Буриковский, И.С.Джафаров, Р.Д.Джеваншир и др. А.с. СССР № 945401. Б.И., 1982, № 27.
54. Способ определения пластового давления коллекторов / В.Е.Аронсон, Ю.Ф.Клейносов, Е.С.Ромм, В.И.Славин. А.с. СССР № 832081. Б.И., 1981, № 19.
55. Черемсинов О.А. Определение пластовых давлений при бурении скважин. Экспресс-информация. Сер.Геология, бурение и разработка газовых месторождений. М.: НИИГазпром, 1978, вып. I4. С.14-16.
56. Фертль У.Х. Аномальные пластовые давления. М.: Недра, 1980. 398 с.
57. Шевердяев В.В. Особенности определения пластового давления по "нормализованной механической скорости проходки" при ис-
ользовании реактивно-турбинного бурения. Экспресс-информация. Бурение. М.: ВНИИОЗНГ, 1986, вып.5. С.1-4.
58. Шевцов В.Д. Регулирование давления в бурящихся скважинах. М.: Недра, 1984. 191 с.
59. Элияшевский И.В., Сторонский М.И., Орсуляк Л.М. Типовые задачи и расчеты в бурении. М.: Недра, 1982. 503 с.
60. Bellotti P., Gerard R.E. Instantaneous log indicates porosity and pore pressure. 6- World Oil., 1976, N 10, p. 90-94.
61. Foster J.B., Whalen H.E. Estimation of formation pressures from electrical surveys-offshore Louisiana.-Journ. of Petrol. Technology, 1966, v.18, N 2, p. 165-171.
62. Goldsmich R.G. It's simple: drilling rates predict mud weight ded.-World Oil, v. 181, N 6, pp. 100-102, 104, 108.
63. Jourden J.R., Shirley O.J. Application of drilling performance data to overpressure detection.-Journ. of Petroleum Technology, 1966, v. 18, N 11, p. 1387-1394.
64. Terzaghi K. Principles of Soil Mechanics.-Engineering News-record, 1925, v. 95, N 27, p. 742-1016.
65. Zamora M. Slide-rule correlation aids 2 "d" exponent rule.- Oil u gas. J. 1972, v. 70, N 187, pp. 68-71.

МЕТОДИЧЕСКИЕ УКАЗАНИЯ
ПО ПРОГНОЗУ И ОЦЕНКЕ АНОМАЛЬНО-ВЫСОКИХ
ПЛАСТОВЫХ ДАВЛЕНИЙ (АВПД)

М - 21253 Подписано в печать 9.12.87 Формат 60x90 1/16
Уч.-изд.л. 11 Тираж 800 экз. Заказ 271 Цена 1р.85к.

191104, Ленинград, Литейный, 39
Картолитография ВНИГРИ